

АЗӘРБАЙЧАН ССР ЕЛМЛӘРАКАДЕМИЯСЫ  
АКАДЕМИЯ НАУК АЗЕРБАЙДЖАНСКОЙ ССР

# МӘРУЗӘЛӘР ДОКЛАДЫ

том XXXIII чилд

1977 • 12

МҮЭЛЛИФЛӘР ҮЧҮН ГАЈДАЛАР

1. «Азәрбајҹан ССР Елмләр Академијасыны Мә'рүзәләр»ндә нәзәри вә тәчрүби эһәмијјәтэ малик елми-тәдгигатларын тамамланыш вә һәлә дәрч едиlmәmiiш иетичеләри һаггында гыс мә'лumatlar чап олуунур.

«Мә'рүзәләр»дә механики сурәтдә бир нечә ајры-ајры мә'лumatlar шәklinә салыныш ири һәчмил мәгаләләр, јени faktiki мә'лumatlarda mәhruм мубаһисе характеристли мәгаләләр, мүөjәни иетичә вә үмумиләshedirмәләrsiz көмәкчи тәчрүбәләrin тасвириндән ibarәt мәгаләләr, геjri-принципиал, тәсвири вә ичмал характеристли ишләр, төвсүjедәn методи принципије иши олмамаи сырф методик мәгаләләr, һабелә битки вә hejvaniлarын систематикасина даир (елм үчүн хүсуси эhәmiјjätэ малик тапытыларын тәсвири истисна олмагла) мәгаләләr дәрч едиlmir.

«Мә'рүзәләr»dә дәрч олуун мәгаләләr нәmin мә'лumatlarын даһа кениш шәkildә башга ишрлардә чап едиlmäsi учун мүэллиfin һүгүгүнүн әлинидән алмыр.

2. «Мә'рүзәләr»nin редаксијасына дахил олан мәгаләләr jaһныз ихтисас үзәр бир иәfər академики тәгдиматындан сонара редаксија hej'eti тәrәfinidәn нәzәrdәn кечирилir. Ыэр бир академик илдә 5 әдәдән сонара олмамаг шәrtiila мәгаләләr тәгдим едә биләr.

Азәрбајҹан ССР Елмләr Академијасыны мүхbir үзвәrini мәгаләlәri тәgdi-matcىz гәбул олуунur.

Редаксија академикләrdәn xäniш еdir ki, мәгаләlәri тәgдim еdärkәn онларын мүэллиfләrdәn аlyныmasы тарихини, һабелә мәgalәnин jөrlәshdiриләcәjи bөlmәnин adыны көstәrsinilәr.

3. «Мә'рүзәlәr»dә бир мүэллиf илдә 3 мәgalә dәrч etdirә bilәr.

4. «Мә'рүзәlәr»dә шәkillәr dә daхil оlмагla, мүэллиf vәrәgәnин dөrдә birinidәn artыg оlmajaраг, яzзы макинасында jazylмыш 6-7 cәnifә nәchminidә (10000 чан iшarәsü) мәgalәlәr dәrч eдилиr.

5. Вутун мәgalәlәrin инклиниc дилиндә xұласәси оlмалыdyr; бундан башга, Azәr-  
baican дилиндә xұласа әlavә eдиlmәlidir. Russ дилиндә xұласәси оlмалыdyr.

ишинин jерине jетирилди елми idarәnin adы vә lмәlidir.  
әdgigat ишләrinин иetichelәrinин dәrч оlummasы  
iчazәsi оlмалыdyr.

l оlмагla) vәrәgini bir үzүндә iki xәtt ara bu-  
lmalı vә iki nүxә tәgдim eдиlmәlidir. Dустур-  
bөjük hәrfләrin алтындан, кичикләrin исә үз-  
lмәlidir; junaн әлифбасы hәrfләrinin gyrmызы

bijjat cәnifөnин ахырында chыхш шәklinde de-  
familiyasiна kөrә) mәgalәnин sonunda mәtiidәki  
siyahы үzәr verilmәlidir. Эdәbiyjatыn siyahыны  
dir:

jасы vә inisialы, kitabыn бүтөv adы, chil-  
dәlәr үчүn: мүэллиfin fамиlijасы vә inisialы  
adы, child, buraxыlysh, iшш оlundugu

i fамиlijасы vә inisialы, mәgalәnин adы,  
, cәnifә kөstәriлmәlidir.

vә elmi idarәlәrdә saхlanan disserTasiya-

fin fамиlijасы, mәgalәnин adы vә шәklin  
ыш шәkilaltы sөzләr aýrycha vәrәgdә tә-

siya оlumush ommiilnik tәsnifat үzәr мә-  
tiv журнала үчүn реferat әlavә etmәli-

ateralлardа vә mәgalәnин mәtiinidә b-  
l verilmәlidirler.

i иetichelәr jaһныz зәruri һallardar-

ilidikdә онларын dәrchedilmә ardyчыл,

a оlaraq, мүэллиfләr kөndәriлmir. Kor-

iетбәs сөñvәrini дүzeltmәk olar.

mәgalәnин 15 nүxә aýrycha ottiskinи верir

# МӘ'РҮЗӘЛӘР ДОКЛАДЫ

ТОМ XXXIII ЧИЛД

12



$$(\{\text{Vect}(X_i)\}_{i \in I}, \{(p_i^l)^*\} : \text{Vect}(X_i) \rightarrow \text{Vect}(X_{i'})|_{i < i'})$$

категорий векторных расслоений.

**Определение 1.** Категория  $\text{Vect}(X) = \lim \text{Vect}(X_i)$  называется категорией векторных расслоений над обратным спектром  $X$ .

Категория  $\text{Vect}(\Sigma(S))$  называется категорией векторных расслоений над булевой алгеброй с замыканием  $S$  [1, 2].

**Теорема 1.** Правило, сопоставляющее каждой булевой алгебре с замыканием  $S$  категорию  $\text{Vect}(S)$  векторных расслоений над булевой алгеброй  $S$  и каждому полному непрерывному гомоморфизму  $h : S \rightarrow S'$  булевых алгебр с замыканием индуцированный морфизм  $h^{***} : \text{Vect}(S) \rightarrow \text{Vect}(S')$ , где  $h^* : \Sigma(S') \rightarrow \Sigma(S)$  индуцированный морфизм обратных спектров,  $h^{***}$  — морфизм пределов, индуцированный морфизмом  $h^{**}$  прямых спектров категорий векторных расслоений, есть ковариантный функтор из категории булевых алгебр с замыканием и их полных непрерывных гомоморфизмов в категорию категорий векторных расслоений над булевыми алгебрами.

Функтор  $f^* : \text{Vect}(\gamma) \rightarrow \text{Vect}(X)$  индуцированного расслоения сохраняет тензорные произведения и суммы Уитни векторных расслоений:  $f^*(p \otimes q) = f^*(p) \otimes f^*(q)$ ,  $f^*(p \oplus q) = f^*(p) \oplus f^*(q)$  для любых векторных расслоений  $p : E \rightarrow \gamma$ ,  $q : F \rightarrow \gamma$ . Так что, для каждого непрерывного отображения  $f : X \rightarrow \gamma$  индуцированный ковариантный функтор  $f^* : \text{Vect}(\gamma) \rightarrow \text{Vect}(X)$  есть морфизм полукольца.

Таким образом, векторные расслоения  $\text{Vect}(X)$  над обратным спектром  $X$  относительно операций  $\otimes$  и  $\oplus$  составляют полукольцо. В частности,  $\otimes$  полукольцом является  $\text{Vect}(S)$  категория векторных расслоений над булевой алгеброй с замыканием  $S$ .

**Определение 2.** Кольцо  $K[X] = K(\text{Vect}(X))$ , являющееся дополнением полукольца  $\text{Vect}(X)$  векторных расслоений над обратным спектром  $X$ , называется кольцом Гротендика обратного спектра  $X$ . Кольцо  $K(S) = K[\Sigma(S)]$  называется кольцом Гротендика булевой алгебры с замыканием  $S$ .

**Теорема 2.** Правило, сопоставляющее каждой булевой алгебре с замыканием  $S$  кольцо  $K(S)$  Гротендика алгебры  $S$  и каждому полному непрерывному гомоморфизму  $h : S \rightarrow S'$  булевых алгебр гомоморфизм  $K(h) : K(S) \rightarrow K(S')$  кольцо Гротендика, индуцированный морфизмом  $h^{***} : \text{Vect}(S) \rightarrow \text{Vect}(S')$  полукольцо, есть ковариантный функтор из категории булевых алгебр и их непрерывных полных гомоморфизмов в категорию колец Гротендика.

Пусть  $X = (\{X_i\}_{i \in I}, \{p_i^l\}_{i < i'})$  — обратный спектр топологических пространств,  $K(X_i)$  — кольцо Гротендика, являющееся дополнением  $\text{Vect}(X_i)$  компоненты прямого спектра категорий векторных расслоений

$$(\{\text{Vect}(X_i)\}_{i \in I}, \{(p_i^l)^*\} : \text{Vect}(X_i) \rightarrow \text{Vect}(X_{i'})|_{i < i'}).$$

**Теорема 3.**  $K(X) = (\{K(X_i)\}_{i \in I}, \{K((p_i^l)^*) : K(X_i) \rightarrow K(X_{i'})\}_{i < i'})$  есть прямой спектр колец. Предел  $\lim K(X)$  изоморчен кольцу

Гротендика  $K[X]$  обратного спектра  $X$ . Следовательно, предел прямого спектра  $(\{K(\lambda)\}_{\lambda \in \Sigma(S)}, \{K((p_\lambda^l)^*) : K(\lambda) \rightarrow K(\mu)\}_{\lambda < \mu \in \Sigma(S)})$  колец  $\lim K(\lambda)$  изоморчен кольцу Гротендика булевой алгебры  $K(S)$ .

Пусть  $CW$  категория клеточных комплексов,  $\text{Invspec}(CW)$  — категория обратных спектров клеточных комплексов.

**Определение 3.** Булева алгебра с замыканием  $S$  вместе с

изоморфизмом  $\times : S \xrightarrow{\cong} \lim 2^\times$  булевой алгебры  $S$  в предел булеана обратного спектра клеточных комплексов  $X \in \text{Invspec}(CW)$  называется клеточной булевой алгеброй и обозначается символом  $(S, \times, X)$ .

Морфизм клеточной булевой алгебры  $(S, \times, X)$  в клеточную булеву алгебру  $(S', \times', X')$  есть пара  $(h, f)$ , образованная из полного непрерывного гомоморфизма  $h : S \rightarrow S'$  и морфизма  $f : X' \rightarrow X$  таких, что коммутативна следующая диаграмма

$$\begin{array}{ccc} S & \xrightarrow{\times} & \lim 2^\times \\ h \downarrow & & \downarrow f^* \\ S' & \xrightarrow{\times'} & \lim 2'^\times \end{array}, \quad \times \cdot h = f^* \cdot \times$$

Если для булевой алгебры с замыканием  $S$  найдется обратный спектр  $X \in \text{Invspec}(CW)$  клеточных комплексов и изоморфизм  $\times : S \xrightarrow{\cong} \lim 2^\times$ , то говорят, что булева алгебра  $S$  с замыканием допускает клеточную структуру.

Очевидно, что класс всех клеточных булевых алгебр и их морфизмов, относительно естественно определенной композиции образует категорию. Каждому обратному спектру клеточных комплексов  $X \in \text{Invspec}(CW)$  может быть сопоставлена клеточная булева алгебра  $\lim 2^\times$ . Это соответствие является контравариантным функтором из категории  $\text{Invspec}(CW)$  в категорию клеточных булевых алгебр  $\text{Bool}(CW)$ .

Естественно, вводится категория клеточных булевых алгебр с отмеченным элементом. Объектами этой категории являются тройки  $(S, a, \times)$ , образованные из булевой алгебры  $S$ , изоморфизма  $\times : S \xrightarrow{\cong} \lim 2^\times$  и из элемента  $a \in S$ .

Каждому обратному спектру  $(X, \gamma) \in \text{Invspec}(CW)$  пар клеточных комплексов канонически сопоставляется клеточная булева алгебра с отмеченным элементом  $(\lim 2^\times, [\gamma])$ , где  $[\gamma] \stackrel{\text{def}}{=} [\gamma_i]_{i \in I}$ ,  $[\gamma_i]$  класс эквивалентности  $\lambda_i \subset \lim 2^\times$ , содержащее  $\gamma_i$ .

Кольцо Гротендика для клеточных булевых алгебр  $(S, \times, X)$  определяется формулой  $K[S, \times, X] \stackrel{\text{def}}{=} K[X]$ .

На категории клеточных булевых алгебр с отмеченным элементом  $(S, a, \times)$  определим приведенный  $\tilde{K}$ -функтор. Пусть  $X \in \text{Invspec}(CW_0)$  — обратный спектр клеточных комплексов с отмеченными точками  $X = ((X_i, x_{0i})_{i \in I}, \{p_i^l\} : (X_i, x_{0i}) \rightarrow (X_{i'}, x_{0i'})|_{i < i'})$  и  $(id_1, \text{Im}b)$  морфизм обратного спектра  $\{x_{0i}\}_{i \in I}$  в обратный спектр  $X = (X_i)_{i \in I}$ , такой, что  $\text{Im}b = \{\text{Im}b_i\}_{i \in I}$ ,  $\text{Im}b_i(x_{0i}) = x_{0i}$ . Этот морфизм индуцирует морфизм  $(id_1, K(\text{Im}b^*))$  прямого спектра  $\{K(X_i)\}_{i \in I}$  в прямой спектр  $\{K(x_{0i})\}_{i \in I}$ , причем все кольца  $K(x_{0i})$  изоморфны кольцу  $Z$  целых чисел.

Заметим, что категория  $\text{Dirspec}(I, \text{Ring})$  прямых спектров колец над фиксированным множеством индексов  $I$ , являющееся подкатегорией категории  $\text{Dirspec}(\text{Ring})$  прямых спектров колец, есть абелева категория. В силу этого существует ядро морфизма  $K(\text{Im}b^*)$  прямых спектров, обозначим это ядро через  $\tilde{K}(\lambda) = \text{Ker}K(\text{Im}b^*)$ .

**Определение 4.** Приведенным кольцом Гротендика клеточной булевой алгебры  $(\times, S, a)$ ,  $a = \{[x_{0i}]\}$  называется предел  $\lim \tilde{K}(\lambda)$  прямых

мого спектра  $\tilde{K}(X)$  и обозначается  $\tilde{K}[\mathbf{x}, S, a]$ .

В прямом спектре  $\tilde{K}(X) = \{\tilde{K}(X_i)\}_{i \in I}$  кольцо  $\tilde{K}(X_i)$  для любого  $i$  является приведенным кольцом над  $X_i$ . Таким образом, приведенное кольцо Гротендика  $\tilde{K}[\mathbf{x}; S, a]$  является пределом прямого спектра  $\text{Им } \tilde{K}(X)$  приведенных колец векторных расслоений  $\text{Vect}(X_i)$  над  $X_i$ .

Теорема 4. Кольцо Гротендика  $K[S, \mathbf{x}, X]$  клеточной булевой алгебры  $(S, \mathbf{x}, X)$  изоморфно прямой сумме приведенного кольца  $\tilde{K}[\mathbf{x}, S, a]$  данной булевой алгебры и кольца целых чисел  $Z: K[S, \mathbf{x}, X] \xrightarrow{\sim} \tilde{K}[\mathbf{x}, S, a] \otimes Z$ .

Бифунктор  $\gamma^x: \text{Гор} \times \text{Гор} \rightarrow \text{Ens}$ , контравариантный по  $X$  и ковариантный по  $\gamma$ , индуцирует бифунктор  $C(X; \gamma): \text{Inv Гор} \times \text{Гор} \rightarrow \text{Dir Ens}$ . На гомотопических классах бифунктор  $C(X; \gamma)$  в свою очередь индуцирует бифунктор  $[X; \gamma]: \text{Inv Гор} \times \text{Гор} \rightarrow \text{Dir Ens}$ .

Таким образом, для любого обратного спектра  $X = \{X_i\}_{i \in I}$  связанных конечных клеточных комплексов  $\{[X_i; B]\}_{i \in I}$  является прямым спектром групп, причем для любого  $i$  группа  $[X_i; B]$  изоморфна группе  $\tilde{K}(X_i)$  прямого спектра  $\{\tilde{K}(X_i)\}_{i \in I}$ .

Теорема 5. На категории клеточных булевых алгебр морфизмы функторов  $\Theta: \lim_{\leftarrow}[-; B] \rightarrow \tilde{K}[-]$  и  $\Theta: \lim_{\leftarrow}[-; B \times Z] \rightarrow K[-]$  являются изоморфизмами этих функторов, рассматриваемых как функторы со значениями в категории абелевых групп.

Функтор надстройки  $S$  обратному спектру клеточных комплексов с отмеченными точками  $X = \{(X_i, x_{0i})\}_{i \in I}$  сопоставляет обратный спектр  $SX = \{SX_i\}_{i \in I}$  надстроек. Клеточную булеву алгебру, соответствующую обратному спектру  $SX$  надстроек, обозначим  $(S, \mathbf{x}, SX)$ .

Определение 5. Для любого целого числа  $n \geq 0$  и любой клеточной булевой алгебры  $(S, \mathbf{x}, X)$  положим  $\tilde{K}^{-n}[S, \mathbf{x}, X] = \tilde{K}[S, \mathbf{x}, S^n X]$ . Аналогично, для любой клеточной булевой алгебры с отмеченным элементом  $(\mathbf{x}; S, [\gamma])$  положим  $K^{-n}[\mathbf{x}; S, [\gamma]] = K[S, \mathbf{x}, S^n X \gamma]$  и  $K^{-n}[S; \mathbf{x}, X] = \tilde{K}[S, \mathbf{x}, S^n X^+]$ .

Рассмотрим прямые спектры колец  $\{K^{-(n+2)}(X_i, \gamma_i)\}_{i \in I}$  и  $\{K^{-n} \times (X_i, \gamma_i)\}_{i \in I}$ . Как известно, для любого  $i$  имеет место изоморфизм Ботта  $\beta: K^{-(n+2)}(X_i, \gamma_i) \xrightarrow{\sim} K^{-n}(X_i, \gamma_i)$ , поэтому изоморфны пределы этих прямых спектров  $K^{-(n+2)}[\mathbf{x}; S, [\gamma]] \xrightarrow{\sim} K^{-n}[\mathbf{x}; S, [\gamma]]$ . Этот изоморфизм назовем изоморфизмом Ботта и обозначим  $\beta$ .

Для любой компоненты  $(X_i, \gamma_i)$  обратного спектра пар клеточных комплексов  $(X, \gamma) = \{(X_i, \gamma_i)\}_{i \in I}$  имеем точную последовательность  $K_r(X_i, \gamma_i) = \dots \rightarrow \tilde{K}^{-1}(X_i, \gamma_i) \rightarrow K^{-1}(X_i) \rightarrow K^{-1}(\gamma_i) \rightarrow K^0(X_i, \gamma_i) \rightarrow K^0(X_i) \rightarrow K^0(\gamma_i) \rightarrow K^1(X_i, \gamma_i) \rightarrow \dots$ . Таким образом  $\{K_r(X_i, \gamma_i)\}_{i \in I}$  есть прямой спектр точных последовательностей, предел которого также точен [7].

Теорема 6. Для любой клеточной булевой алгебры с отмеченным элементом  $(\mathbf{x}; S, [\gamma])$  имеют место точные последовательности

a)  $\dots \rightarrow K^{-1}[\mathbf{x}; S, [\gamma]] \rightarrow K^{-1}[S, \mathbf{x}, X] \rightarrow K^{-1}[S, \mathbf{x}, \gamma] \rightarrow K^0[\mathbf{x}; S, [\gamma]] \rightarrow K^0[S, \mathbf{x}, X] \rightarrow K^0[S, \mathbf{x}, \gamma] \rightarrow \dots$

б)  $\dots \rightarrow \tilde{K}^{-1}[\mathbf{x}; S, [\gamma]] \rightarrow \tilde{K}^{-1}[S, \mathbf{x}, X] \rightarrow \tilde{K}^{-1}[S, \mathbf{x}, \gamma] \rightarrow \tilde{K}^0[\mathbf{x}; S, [\gamma]] \rightarrow \tilde{K}^0[S, \mathbf{x}, X] \rightarrow \tilde{K}^0[S, \mathbf{x}, \gamma] \rightarrow \dots$

#### Литература

1. Бунятов М. Р. Когомологии Колмогорова абстрактных булевых алгебр с замыканием. *ДАН СССР*, т. 224, № 1, 1975.
2. Бунятов М. Р. Равномерные булевые алгебры. *ДАН СССР*, т. 224, № 2, 1975.
3. Атья М. Лекции по  $K$ -теории. Изд-во «Мир», М., 1967.
4. Атья М., Хирцебрух Ф. Векторные расслоения и

однородные пространства. Сб. «Математика», 6:2, 1962, 3—38.

5. Ботт Р.  $K$ -теория. Сб. «Математика», 11:2, 1967, 32—57.

6. Хьюзмурлер Д. Расслоенные пространства. Изд-во «Мир», М., 1970.

7. Стилрод Н., Эйленберг С. Основания алгебраической топологии. Физматгиз, 1958.

8. Бухштабер В. М., Миценко А. С.  $K$ -теория на категории бесконечных комплексов. *Изв. АН СССР*, т. 32, № 3, 1968.

АГУ им. С. М. Кирова

Поступило 30. VI 1977

М. Р. Бунятов, С. А. Бајрамов

#### ГАПАНАМА ЭМЭЛИЈАТЛЫ БУЛ ЧЭБРЛЭРИ КАТЕГОРИЈАСЫНДА $K$ -НЭЗЭРИЈАСИ

Мэгалэдэ гапанма эмэлијатлы Бул чэблэрүү үчүн векториал тэбэгэлэшмэлэр дахил едилр вэ бунуун эсасында Бул чэблэрүү категоријасында  $K$ -функтор тэжин едилр. Гапанма эмэлијатлы Бул чэблэрүү үчүн классик  $K$ -нэзэријэснин дэгиг коноомологи ардычыллыглары вэ дөврүүк наагында Р. Ботт теореми исбат едилр.

М. R. Bunyatov, S. A. Bayramov

#### K-THEORY ON CATEGORY OF CLOSURE BOOLEAN ALGEBRAS

In this article vectorial bundles over closure Boolean algebras and  $K$ -theory on categories of closure Boolean algebras were introduced and investigated.

Г. Г. АБДУЛЛАЕВА, Б. И. МУСАЕВ

РЕГУЛЯРИЗАЦИЯ ОСОБОГО ИНТЕГРАЛА ПО РАЗОМКНУТОМУ КОНТУРУ

(Представлено академиком АН Азербайджанской ССР А. И. Гусейновым)

Обозначим через  $M_{\mu_1, \mu_2}^{\alpha_1, \alpha_2}$  множество функций  $f(x) \in C(-1, 1)$ , допускающих представление  $f(x) = \varphi_1(x)(x+1)^{-\alpha_1} + \varphi_2(x)(1-x)^{-\alpha_2}$ , где  $\alpha_1, \alpha_2 > 0$ ,  $\varphi_1 \in H_{\mu_1}$ ,  $\varphi_2 \in H_{\mu_2}$ ,  $\varphi_1(-1) = \varphi_2(1) = 0$ . Здесь через  $H_\mu$  обозначается множество функций, определенных на  $[-1, 1]$  и удовлетворяющих условию Гельдера с показателем  $\mu \in [0, 1]$ .  $M_{\mu_1, \mu_2}^{\alpha_1, \alpha_2}$  при  $0 < \alpha_k - \mu_k < 1$ ,  $0 < \mu_k < 1$  ( $k=1, 2$ ) называются пространствами Н. И. Мусхелишвили и обозначаются через  $\tilde{M}_{\mu_1, \mu_2}^{\alpha_1, \alpha_2}$  [4].

Обозначим через  $H_{\mu_1, \mu_2}^{(-1)} (H_{\mu_1, \mu_2}^{(1)})$  множество  $f(x) \in C_{(-1, 1)} (f(x) \in C_{(-1, 1)})$ , для которых существует  $\varphi_1(x) \in H_{\mu_1}$  ( $\varphi_2(x) \in H_{\mu_2}$ ), что  $f(x) = \varphi_1(x)(x+1)^{-\alpha_1} + \varphi_2(x)(1-x)^{-\alpha_2}$ ,  $\varphi_1(-1) = 0$  ( $\varphi_2(1) = 0$ ),  $\alpha_1 > 0$  ( $\alpha_2 > 0$ ). Очевидно,  $H_{\mu_1, \mu_2}^{(-1)} = H_{\mu_1, \mu_2}^{(1)} + H_{\mu_1, \mu_2}^{(1)}$ . В норме  $\|f(x)\| = \|f(x)(1+x)^{\alpha_1}\|_{H_{\mu_1}}$  ( $\|f(x)\| = \|f(x)(1-x)^{\alpha_2}\|_{H_{\mu_2}}$ ) пространство  $H_{\mu_1, \mu_2}^{(-1)} (H_{\mu_1, \mu_2}^{(1)})$  — банаево пространство. Следовательно,  $M_{\mu_1, \mu_2}^{\alpha_1, \alpha_2}$  является банаевым пространством. Пусть  $f(x) \in \tilde{M}_{\mu_1, \mu_2}^{\alpha_1, \alpha_2}$ . Рассмотрим особый интеграл

$$\tilde{f}(x) = \int_{-1}^1 \frac{f(t)}{t-x} dt = \tilde{f}_1(x) + \tilde{f}_2(x) \quad (4)$$

Из результатов [1, 4] следует, что если плотность  $f(x)$  интеграла (1) принадлежит пространству  $\tilde{M}_{\mu_1, \mu_2}^{\alpha_1, \alpha_2}$ , то и образ  $\tilde{f}(x)$  интеграла (1) также принадлежит пространству  $\tilde{M}_{\mu_1, \mu_2}^{\alpha_1, \alpha_2}$ . Далее, для функции  $\tilde{f}_1(x) \in C_{(-1, 1)}$ ,  $\tilde{f}_2(x) \in C_{(-1, 1)}$ , имеет место представление  $\tilde{f}_1(x) = \varphi_1(x)(x+1)^{-\alpha_1}$ ,  $\tilde{f}_2(x) = \varphi_2(x)(1-x)^{-\alpha_2}$ .

где

$$\varphi_1(x) = (x+1)^{\alpha_1} \int_{-1}^1 \frac{\varphi_1(t)(t+1)^{-\alpha_1} - \varphi_1(1)2^{-\alpha_1}}{t-x} dt +$$

$$+ (x+1)^{\alpha_1} [\varphi_1(1)2^{-\alpha_1} + \varphi_2(-1)2^{-\alpha_2}] \ln(x+1)^{-1} \equiv R_1 \varphi_1,$$

$$\varphi_2(x) = (1-x)^{\alpha_2} \int_{-1}^1 \frac{\varphi_2(t)(1-t)^{-\alpha_2} - \varphi_2(-1)2^{-\alpha_2}}{t-x} dt +$$

$$+ (1-x)^{-\alpha_2} [\varphi_1(1)2^{-\alpha_1} + \varphi_2(-1)2^{-\alpha_2}] \ln(1-x)^{-1} \equiv R_2 \varphi_2,$$

причем  $\varphi_k(x) \in H_{\mu_k}$  ( $K=1, 2$ ),  $\varphi_1(-1) = \varphi_2(1) = 0$ .

Для того, чтобы вычислить значения интеграла (1) при любом  $x \in (-1, 1)$ , достаточно вычислить значения функций  $\tilde{\varphi}_1(x)$  и  $\tilde{\varphi}_2(x)$  в этой точке.

В пространстве  $C_{(-1, 1)}$  операторы  $R_1$  и  $R_2$  неограничены, и потому, если ставится задача вычисления значения операторов  $R_1$  и  $R_2$ , для которых  $\varphi_1(x)$  и  $\varphi_2(x)$  задаются приближенно в метрике пространства непрерывных функций, то эта задача является некорректной.

Нами рассматривается возможность применения метода регуляризации в смысле А. Н. Тихонова [2] к этой задаче. Аналогичная задача для особого интеграла по замкнутой кривой решена в [5].

Пусть

$$\varphi_k^{\delta k}(x) \in C_{(-1, 1)}, \|\varphi_k - \varphi_k^{\delta k}\|_{C_{(-1, 1)}} \leq \delta_k,$$

$$\delta_k > 0 (k=1, 2); \varphi_1^{\delta k}(x)(1+x)^{-\alpha_1}, \varphi_2^{\delta k}(x)(1-x)^{-\alpha_2} \in L[-1, 1].$$

Обозначим через  $F_\mu$  ( $0 < \mu < 1$ ) класс функций  $\omega(x)$ , определенных на  $(0, 2)$  и обладающих следующими свойствами:  $\omega(x)$  положительна, не убывает,  $\lim_{x \rightarrow 0^+} \omega(x) = 0$  и при некотором  $\alpha \in (\mu, \mu+1)$   $\int_0^\infty \frac{\omega(x)}{x^\alpha} dx < +\infty$ .

$$\text{Для функции } \varphi(x) \in H_\mu \text{ введем } H(\varphi, \mu) = \sup_{\substack{x_1 \neq x_2 \\ x_1, x_2 \in [-1, 1]}} \frac{|\varphi(x_1) - \varphi(x_2)|}{|x_1 - x_2|^\mu}.$$

Пусть  $|\varphi_1^{\delta k}(x) - \varphi_1^{\delta k}(-1)| \leq \omega_1(x+1)$ ,  $x \in [-1, 1]$ , где  $\omega_1(x) \in F_{\mu_1}$ ,  $\alpha_1 \in (\mu_1, \mu_1+1)$ . Учитывая, что  $\varphi_1(-1) = \varphi_1^{\delta k}(-1) = 0$ , имеем  $|\varphi(x) - \varphi_1^{\delta k}(x)| \leq H(\varphi_1, \mu_1) (x+1)^{\mu_1} + \omega_1(x+1)$ .

Через  $\Phi(0, a]$  обозначим множество положительных неубывающих функций  $\omega(\delta)$ , определенных на  $(0, a]$  таких, что  $\omega(\delta)/\delta$  невозрастающая и  $\omega(\delta) \rightarrow 0$  при  $\delta \rightarrow 0$ .

Определение 1. [3] Две функции  $f$  и  $g$  класса  $\Phi(0, a]$  называются существенно равными ( $f \equiv g$ ), если они совпадают в точках непрерывности и в точке  $a$ .

Определение 2. [3] Пусть  $\omega \in \Phi(0, a]$ . Произвольную функцию  $\omega^*$  назовем обобщенной обратной функцией  $\omega$ , если  $\omega^*(\xi) \equiv \sup_{\substack{\alpha \\ \alpha < \xi}} \frac{\alpha/\omega(\alpha)}{\xi - \alpha} \leq \xi$ .

Лемма [3]. Если  $f \in \Phi(0, a]$ ,  $g \in \Phi(0, b]$  и  $f: (0, a] \rightarrow (0, b]$ ,  $g: (0, b] \rightarrow (0, a]$  взаимно обобщенные обратные, то  $f_*(g^*(\alpha)) \leq \alpha \leq f^*(g_*(\alpha))$ ,  $g_*(f^*(\alpha)) \leq \alpha \leq g^*(f_*(\alpha))$ , где для  $\omega \in \Phi(0, a]$  приняты обозначения  $\varphi_*(\alpha) = \sup_{\substack{\xi < \alpha \\ \xi > a}} \varphi(\xi) = \psi(\alpha-0)$ ,  $\alpha \in (0, a]$ ,  $\varphi^*(\alpha) = \inf_{\substack{\xi < \alpha \\ \xi > a}} \varphi(\xi) = \psi(\alpha+0)$ ,  $\alpha \in (0, a]$ ;  $\varphi^*(\alpha) = \varphi(\alpha)$ .

**Следствие.** Для любой обобщенной обратной  $\varphi(\alpha) = \sup_{\xi} \{ \xi | \varphi(\xi) \leq \alpha \}$ ,  $\varphi_*(\alpha) = \inf_{\xi} \{ \xi | \varphi(\xi) \geq \alpha \}$ ;  $\varphi$ ,  $\varphi_*$  соответственно понимаются как  $(\varphi)^*$  и  $(\varphi)_*$ .

Обозначим  $g_{\delta_1}(\tau) = \min \{ \delta_1, H(\varphi_1, \mu_1) \tau^{\mu_1} + \omega_1(\tau) \}$ ,  $\tau \in [0, 2]$ . По свойству обобщенной обратной

$$\sup_{\tau} \{ \tau \in [0, 2] | g_{\delta_1}(\tau) \leq \delta_1 \} = g_*(\delta_1).$$

При изложенных условиях имеет место

**Теорема 1.** Пусть  $\varphi_1(x) \in H_{\mu_1}$ ,  $\varphi_1(-1) = 0$ ,  $0 < \alpha_1 - \mu_1 < 1$ ,  $\varphi_1^{(1)}(-1) = 0$ ,  $|\varphi_1^{(1)}(x) - \varphi_1^{(1)}(-1)| \leq \omega_1(x+1)$ ,  $x \in [-1, 1]$ , где  $\omega_1 \in F_{\mu_1}$ . Тогда при любом  $\varepsilon \in (0, 1/2]$  верны оценки

$$\|\varphi_1(x) - \tilde{\varphi}_1^{(1)}(x)\|_{C[-1, 1]} \leq D_1 \left[ [\varepsilon^{\mu_1} + (g_*(\delta_1))^{\mu_1} + (g(\delta_1))^{1+\mu_1-\alpha_1}] H(\varphi_1, \mu_1) \right.$$

$$\left. + \int_0^{\varepsilon} \frac{\omega_1(\tau)}{\tau} d\tau + \|\varphi_1\|_C^{\mu_1} + \delta_1 \ln^{1/\varepsilon} + \delta_1 + \right.$$

$+ \|\varphi_2 - \varphi_2^{(1)}\|_C$ , если  $\alpha_1 < 1$ ;

$$\|\tilde{\varphi}_1(x) - \tilde{\varphi}_1^{(1)}(x)\|_{C[-1, 1]} \leq D_2 \left[ [\varepsilon^{\mu_1} + (g_*(\delta_1))^{\mu_1}] H(\varphi_1, \mu_1) + \right.$$

$$\left. + \int_0^{\varepsilon} \frac{\omega_1(\tau)}{\tau} d\tau + \delta_1 \ln (\max(1, 1/2 g_*(\delta_1))) + \|\varphi_1\|_C^{\mu_1} + \right.$$

$+ \delta_1 \ln^{1/\varepsilon} + \delta_1 + \|\varphi_2 - \varphi_2^{(1)}\|_C$ , если  $\alpha_1 = 1$ ;

$$\|\varphi_1(x) - \tilde{\varphi}_1^{(1)}(x)\|_{C[-1, 1]} \leq D_3 \left[ [\varepsilon^{\mu_1} + (g_*(\delta_1))^{1+\mu_1-\alpha_1}] H(\varphi_1, \mu_1) + \right.$$

$$\left. + \|\varphi_1\|_C^{\mu_1} + \delta_1 \ln^{1/\varepsilon} + \delta_1 (g_*(\delta_1))^{1-\alpha_1} + \int_0^{\varepsilon} \frac{\omega_1(\tau)}{\tau^{\alpha_1}} d\tau + \right.$$

$$\left. + \left( g_*^{(1)} \right)^{\alpha_1-1} \int_0^{\varepsilon} \frac{\omega_1(\tau)}{\tau^{\alpha_1}} d\tau + \delta_1 + \|\varphi_2 - \varphi_2^{(1)}\|_C \right], \text{ если } \alpha_1 > 1$$

где постоянные  $D_1$ ,  $D_2$ ,  $D_3$  зависят лишь от чисел  $\alpha_1$ ,  $\mu_1$ .  
Обозначим

$$S_{H_{\mu_1}, r_1} = \{ \varphi_1 \in H_{\mu_1} | \|\varphi_1\|_{\mu_1} \leq r_1 \}.$$

Рассмотрим функцию

$$E_1(\varepsilon) = r_1 \varepsilon^{\mu_1} + \delta_1 \ln^{1/\varepsilon}, \quad \varepsilon \in (0, 1/2].$$

Очевидно, что  $E_1(\varepsilon)$  монотонно возрастает на отрезке  $[\min(1/2, (\delta_1/r_1)^{1/\mu_1}), 1/2]$  и монотонно убывает на  $(0, \min(1/2(\delta_1/r_1)^{1/\mu_1}))$ . Поэтому

$$\lim_{\varepsilon \rightarrow 0} E_1(\varepsilon) = r_1 \varepsilon^{\mu_1} + \delta_1 \ln^{1/\varepsilon},$$

где

$$\varepsilon_{\delta_1} = \min \{ 1/2, (\delta_1/r_1)^{1/\mu_1} \}.$$

**Теорема 2.** В условиях теоремы 1

$$\|\varphi_1(x) - \tilde{\varphi}_1^{(1)}(x)\|_{C[-1, 1]} \leq D'_1 \left[ r_1 \left[ (g_*(\delta_1))^{\mu_1} + (g_*(\delta_1))^{1+\mu_1-\alpha_1} \right] + \right.$$

$$\left. + \int_0^{\varepsilon} \frac{\omega_1(\tau)}{\tau} d\tau + \delta_1 + \|\varphi_2 - \varphi_2^{(1)}\|_C + \varepsilon_{\delta_1}^{\mu_1} + \delta_1 \ln^{1/\varepsilon_{\delta_1}} \right], \text{ если } \alpha_1 < 1;$$

$$\|\varphi_1(x) - \tilde{\varphi}_1^{(1)}(x)\|_{C[-1, 1]} \leq D'_2 \left[ r_1 \left( g_*(\delta_1) \right)^{\mu_1} + \int_0^{\varepsilon} \frac{\omega_1(\tau)}{\tau} d\tau + \delta_1 \ln (\max(1, \right.$$

$$\left. 1/2 g(\delta))) + \delta_1 + \|\varphi_2 - \varphi_2^{(1)}\|_C + \varepsilon_{\delta_1}^{\mu_1} + \delta_1 \ln^{1/\varepsilon_{\delta_1}} \right], \text{ если } \alpha_1 = 1;$$

$$\|\varphi_1(x) - \tilde{\varphi}_1^{(1)}(x)\|_{C[-1, 1]} \leq D'_3 \left[ r_1 \left( \tilde{g}_*(\delta_1) \right)^{1+\mu_1-\alpha_1} + \delta_1 \left( g_*(\delta_1) \right)^{1-\alpha_1} + \right.$$

$$\left. + \int_0^{\varepsilon} \frac{\omega_1(\tau)}{\tau^{\alpha_1}} d\tau + \left( g_*(\delta_1) \right)^{\alpha_1-1} \int_0^{\varepsilon} \frac{\omega_1(\tau)}{\tau^{\alpha_1}} d\tau + \delta_1 + \|\varphi_2 - \varphi_2^{(1)}\|_C + \right.$$

$$\left. + \varepsilon_{\delta_1}^{\mu_1} + \delta_1 \ln^{1/\varepsilon_{\delta_1}} \right], \text{ если } \alpha_1 > 1;$$

где постоянные  $D'_1$ ,  $D'_2$ ,  $D'_3$  не зависят лишь от  $r_1 \delta_1$ .

Из приведенных оценок следует, что

$$\|\tilde{\varphi}_1(x) - \tilde{\varphi}_1^{(1)}(x)\|_{C[-1, 1]} \rightarrow 0$$

при  $\delta_1 \rightarrow 0$ ,  $\delta_2 \rightarrow 0$ .

Двойственным образом доказывается аналог теоремы 2, откуда

следует, что  $\|\tilde{\varphi}_2(x) - \tilde{\varphi}_2^{(1)}(x)\|_{C[-1, 1]} \rightarrow 0$

при  $\delta_1 \rightarrow 0$ ,  $\delta_2 \rightarrow 0$ .

В заключение выражаем благодарность А. А. Бабаеву и В. В. Салаеву за постановку задачи и внимание к работе.

#### Литература

- Мусхелишвили Н. И. Сингулярные интегральные уравнения. Физматгиз, 1968.
- Тихонов А. Н. О решении некорректно поставленных задач и методе регуляризации. «ДАН СССР», 1963; 151, № 3, 501–504.
- Бабаев А. А., Салаев В. В.

Одномерный сингулярий оператор с непрерывной плотностью по замкнутой кривой  
ДАН СССР\*, 1973, 209, № 6, 1257—1260. 4. Салаев В. В. Сингулярий оператор  
Коши по разомкнутой кривой. Теорема Н. И. Мусхелишвили. "Уч. зап." ВУЗов  
Азерб. ССР, серия физ.-матем. наук", № 1, 1976, 45—52. 5. Абдуллаева Г. Г.  
О регуляризации по А. Н. Тихонову особого интеграла Коши. Жур. ВМ и МФ,  
1976, № 1, 237—224.

АГУ им. С. М. Кирова,  
Институт кибернетики

Поступило 24.III 1977

АЗЭРБАЙЧАН ССР ЕЛМЛЭР АКАДЕМИЯСЫНЫН МЭРҮЗЭЛЭРИ  
ДОКЛАДЫ АКАДЕМИИ НАУК АЗЕРБАЙДЖАНСКОЙ ССР

ТОМ XXXIII ЧИЛД

№ 12

1977

УДК 539.374 + 539.377

МАТЕМАТИКА

Г. Г. Абдуллаева, Б. И. Мусаев

## АЧЫГ КОНТУР ҮЗРЭ ХҮСУСИ ИНТЕГРАЛЫН РЕГУЛЯРЛАШДЫРЫЛМАСЫ

Мэгалэдэ А. Н. Тихоновун регулярлашдырма үсүүндийн истифадэ едэрек, ачыг контур үзрэ хүсуси интегралын тэгриби несабланмасы верилмишдир.

G. G. Abdullaeva, B. I. Musaev

## REGULARIZATION BY A. N. TIKHONOV OF SINGULAR INTEGRAL ALONG THE OPEN CONTOUR

It is solved the problem of calculation of singular integral by A. N. Tikhonov's regularization method when the density is approximately set in the space of continuous functions.

К. С. АХВЕРДИЕВ

## НЕЛИНЕЙНЫЕ ЭФФЕКТЫ ВОЗДЕЙСТВИЯ ВЯЗКО-ПЛАСТИЧНОЙ СМАЗКИ НА ШИП ПОДШИПНИКА СКОЛЬЖЕНИЯ

(Представлено академиком АН Азербайджанской ССР Н. И. Ибрагимовым)

Рассматривается плоская нелинейная задача о неустановившемся движении вязко-пластичной смазки между круговыми шипом и подшипником. Движение смазки определяется произвольно заданным движением шипа. Задача сводится к интегрированию полной системы нелинейных нестационарных уравнений Генки—Ильюшина. Для движения шипа с достаточно большой угловой скоростью собственного вращения, когда отсутствует ядро, течения [2], построено асимптотическое решение задачи при малых значениях корня из среднего относительного зазора. Найдено гидродинамическое воздействие смазки на шип. Установлено, что в отличие от случая вязкой жидкости для сильно пластичных сред проекция подъемной силы на линию центров расчет по модулю пропорционально квадрату предельного напряжения. Проекция на нормаль к линии центров и момент сопротивления вращения шипа растут пропорционально этому напряжению.

1. Рассмотрим плоскую задачу о неустановившемся движении вязко-пластичной несжимаемой жидкости, заполняющей все пространство между неподвижным подшипником радиуса  $r_0$  и шипом радиуса  $r_1$ . Считаем движение шипа известным:  $\Omega(t')$  — угловая скорость его собственного вращения,  $e(t')$  — эксцентриситет,  $\varphi(t')$  — угол поворота линии центров от начального положения. При  $t'=0$  поле скоростей жидкости определяется движением шипа под действием постоянной  $d\varphi(0)/dt'=0$  нагрузки. В полярной системе координат  $(r, \theta')$  с полюсом в центре подшипника и осью, совпадающей с начальным положением линии центров, задача определения поля скоростей  $\bar{v} \{v_r, v_\theta\}$ , гидродинамического давления и воздействия  $\bar{R}' = \{R'_x, R'_y\}$  и  $L'$  смазки на шип сводится к интегрированию уравнений Генки—Ильюшина [1].

$$\frac{\partial \bar{v}}{\partial t'} + (\bar{v} \cdot \nabla) \bar{v} + \frac{1}{\rho} \nabla p' = \left( (v + \frac{\varepsilon_0}{\rho h_1}) \nabla^2 \bar{v} - \frac{2\varepsilon_0 T}{\rho h_1^2} \nabla h_1, \nabla \cdot \bar{v} = 0. \right)$$

$$h_1 = \sqrt{\left( \frac{\partial v_\theta}{\partial r} - \frac{v_\theta}{r} + \frac{1}{r} \frac{\partial v_r}{\partial \theta'} \right)^2 + 4 \left( \frac{\partial v_r}{\partial r} \right)^2}; \quad (1,1)$$

при следующих предельных условиях

$$\bar{v} = \bar{v}^0(r, \theta') \text{ при } t'=0, \quad \bar{v}=0 \text{ при } r=r_0$$

$$v_r = \frac{de}{dt'} \cos(\theta' - \varphi) + \left( \frac{d\varphi}{dt'} - \Omega' \right) e \sin(\theta' - \varphi), \quad (1.2)$$

$$v_\theta = \Omega' r - \frac{de}{dt'} \sin(\theta' - \varphi) + \left( \frac{d\varphi}{dt'} - \Omega' \right) e \cos(\theta' - \varphi),$$

$$\text{при } r=e \cos(\theta' - \varphi) + \sqrt{r_1^2 + e^2 \sin^2(\theta' - \varphi)}.$$

2. Пусть

$$\sigma = r_0 - r_1, \quad \lambda = \sqrt{\sigma/r_1}, \quad H(\theta, t) = \eta \cos \theta + \sqrt{\lambda^2 - \eta^2 \sin^2 \theta} - \frac{1}{\lambda^2},$$

$$\eta(t) = \frac{e}{r_1^2}, \quad \omega(t) = \frac{\lambda^3 r_1^2}{\nu} \frac{d\varphi}{dt'}, \quad \Omega(t) = \frac{\lambda^3 r_1^2}{\nu} \Omega; \quad \theta = \theta' - \varphi(t'),$$

$$\xi(t) = \frac{\lambda r_1}{\nu} \frac{de}{dt'}, \quad x = \frac{1 - (r - r_1)/(r_1 \lambda^2)}{1 - H(\theta, t)}, \quad t = \frac{\eta t'}{r_1^2 \lambda^4},$$

$$h(\theta) = 1 - \eta_0 \cos \theta, \quad u, \quad (x, \theta, t) = \frac{2\lambda z_1}{\nu} v_r,$$

$$v(x, \theta, t) = \frac{\lambda^3 r_1}{\nu} v_\theta - \frac{r}{r_1} \omega(t), \quad p(x, \theta, t) = \frac{\lambda^2 \lambda^2}{\nu \gamma^2} p'.$$

$$\text{Тогда } \frac{d\varphi}{dt} = \dot{\varphi} = \lambda \omega, \quad \dot{\eta} = \lambda \xi, \quad \eta(t) = \eta_0 + \lambda \eta_1(t), \quad (2.2)$$

где  $\dot{\eta}_1 = \xi$ , а  $\eta_0$  — начальное значение относительного эксцентриситета.

Спроектируем (1.1) на полярные оси и перейдем в полученных уравнениях и предельных условиях (1.2) к безразмерным переменным (2.1) с учетом (2.2). В полученные соотношения подставим

$$u = \sum_{k=0}^{N_1} \lambda^k u_k + o(\lambda^{N_1}), \quad v = \sum_{k=0}^{N_2} \lambda^k v_k + o(\lambda^{N_2}), \quad p = \sum_{k=0}^{N_3} \lambda^k p_k + o(\lambda^{N_3}) \quad (2.3)$$

и результат подстановки разложим в формальные ряды по  $\lambda$ .

Сравним коэффициенты при одинаковых степенях  $\lambda$ :

$$\frac{\partial p_k}{\partial x} = q_k(x, \theta, t), \quad \frac{\partial v_k}{\partial t} - \frac{1}{h^2} \frac{\partial^2 v_k}{\partial x^2} + \frac{\partial p_k}{\partial \theta} = \varphi_k(x, \theta, t) \quad (2.4)$$

$$\frac{\partial v_k}{\partial \theta} - \frac{x \eta_0 \sin \theta \partial v_k}{h} - \frac{1}{h} \frac{\partial u_k}{\partial x} = \psi_k(x, \theta, t) \quad (2.5)$$

$$v_k = v_k^0(x, \theta) \text{ при } t=0; \quad u_k = 0, \quad v_k = c_k(t) \text{ при } x=0; \quad (2.6)$$

$$u_k = B_k(\theta, t), \quad v_k = a_k(\theta, t) \text{ при } x=1.$$

Здесь

$$k=0: \quad q_0 = \psi_0 = 0, \quad \varphi_0 = \omega - \sigma, \quad \sigma = -\frac{2\lambda^2 \tau_0 r_1^2}{\rho v^2} \operatorname{sgn} \frac{\partial v_0}{\partial x},$$

$$a_0 = \Omega - \omega, \quad B_0 = \xi \cos \theta - \eta_0 (\Omega - \omega) \sin \theta, \quad c_0 = -\omega;$$

$$k=1: \quad q_1 = 0, \quad \psi_1 = \frac{\eta_1}{\eta_0 h} \left( \frac{\partial v_0}{\partial \theta} - \frac{\partial u_0}{\partial x} \right), \quad a_1 = c_1 = 0, \quad B_1 = -\eta_1 (\Omega - \omega) \sin \theta,$$

$$\varphi_1 = \frac{2\eta_1 \cos \theta}{h^3} \frac{\partial v_0}{\partial x} - v_0 \frac{\partial v_0}{\partial \theta} + \frac{1}{h} (x v_0 \eta_0 \sin \theta + u_0 - \xi x \cos \theta) \frac{\partial v_0}{\partial x};$$

$$k=2: \quad q_2 = \frac{\sigma \chi_1}{\left( \frac{\partial v_0}{\partial x} \right)^3}, \quad \psi_2 = \frac{\eta_1}{h^2} \left( x \frac{\partial v_1}{\partial x} \right) \sin \theta + \frac{\partial u_1}{\partial x} \cos \theta + \frac{1}{h} \frac{\partial}{\partial x} [(1-xh) u_0] + \frac{2\eta_1^2 \cos^2 \theta - h \eta_0^2 \sin^2 \theta}{2h^2} \frac{\partial v_0}{\partial \theta} + x \left( \frac{\mu_0^2}{h} + \frac{\eta_1^2}{h^2} \right) \frac{\partial v_0}{\partial x} \sin \theta \cos \theta. \quad (2.7)$$

$$a_2 = -\xi \sin \theta, \quad B_2 = 0, \quad c_2 = -\omega, \quad \varphi_2 = \frac{2\eta_1 \cos \theta}{h^3} \frac{\partial^2 v^1}{\partial \theta^2} - \frac{\partial(v_1 v_0)}{\partial \theta} +$$

$$+ \frac{x \eta_0 \sin \theta}{h} \frac{\partial(v_0 v_1)}{\partial x} + \left( \frac{\partial p_0}{\partial \theta} - \omega \right) (1-xh) + \frac{u_0 - \xi x \cos \theta}{h} \frac{\partial v_1}{\partial x} + \frac{u_1}{h} \frac{\partial v_0}{\partial x} +$$

$$+ \frac{3\eta_1^2 \cos^2 \theta - h \eta_0^2 \sin^2 \theta}{h^4} \frac{\partial v_0}{\partial x^2} - \frac{1}{h} \frac{\partial v_0}{\partial x} + \frac{\eta_1}{h^2} (u_0 \cos \theta + x v_0 \eta_1 \sin \theta -$$

$$-\xi x \cos^2 \theta) \frac{\partial v_0}{\partial x} + \frac{\sigma \chi_2}{\left( \frac{\partial v_0}{\partial x} \right)^3} \frac{3\sigma h v_0}{\frac{\partial v_0}{\partial x}},$$

$$\chi_1 = \frac{\partial u_0}{\partial x} \frac{\partial v_0}{\partial x} \frac{\partial^2 v_0}{\partial x^2} - \frac{1}{2} \left( \frac{\partial v_0}{\partial x} \right)^2 \frac{\partial^2 u_0}{\partial x^2} + \left( \frac{\partial v_0}{\partial x} \right)^2 [ \eta_0 \left( \frac{\partial v_0}{\partial x} + \frac{x \frac{\partial^2 v_0}{\partial x^2} \sin \theta - h \frac{\partial^2 v_0}{\partial x \partial \theta}}{2} \right) ]. \quad (2.8)$$

Функция  $\chi_2$  имеет аналогичную конструкцию; явный вид следующих ( $k \geq 3$ )  $q_k$ ,  $\varphi_k$ ,  $a_k$ ,  $b_k$  и  $c_k$  не требуется.

Опуская доказательство, отметим, что при малых возмущениях на движение шипа под действием постоянной или равномерно вращающейся нагрузки в случае, когда начальное значение  $\Omega_0 = \Omega(0)$  безразмерной угловой скорости собственной вращения шипа достаточно велико и начальный относительный эксцентриситет  $0 \leq \eta < 0,30$ , производная  $\partial v_0 / \partial x$  не обращается в нуль,  $\operatorname{sgn}(\partial v_0 / \partial x) = \operatorname{sgn} \Omega_0$  и выражения (2.3) дают асимптотическое решение рассматриваемой задачи при  $\lambda \rightarrow 0$ .

3. Задача (2.4)–(2.6) решается по схеме, предложенной в [3] для случая вязкой жидкости. Решение имеет конструкцию, в которую параметры  $\Omega$ ,  $\omega$ ,  $\xi$ ,  $\eta$ , характеризующие движение шипа, входят либо непосредственно (и, значит, соответствующие члены явно не зависят от времени), либо в свертках с ядрами, которые экспоненциально исчез-

зают со временем. Безразмерное время  $t = \eta t' / \delta^2$  является большим параметром, и мы ограничились рассмотрением таких движений шара, которые являются малыми возмущениями его движения под действием постоянной или равномерно вращающейся нагрузки. Эти обстоятельства дают возможность при выписывании решения задачи (2,4) — (2,6) пренебречь указанными свертками и оставить только те выражения, которые явно от времени не зависят:

$$p_k = X_k(0, t) + \int_0^x q_k(y, 0, t) dy, \quad v_k = \Phi_k(x, 0, t) - \frac{h^2}{2} (x - x^2) \frac{\partial X_k(0, t)}{\partial \theta}, \quad (3,1)$$

$$u_k = \frac{\partial}{\partial \theta} \int_0^x h(\theta) v_k(y, 0, t) dy - x \eta_0 v_k(x, 0, t) \sin \theta - h \int_0^x \psi_k^2(y, 0, t) dy;$$

$$\Phi_k = x a_k(0, t) + (1-x) c_k(t) + 2h^2 \int_0^1 [\varphi_k(y, 0, t) - \int_0^y \frac{\partial q_k(z, 0, t)}{\partial \theta} dz] \times \\ \times \sum_{n=1}^{\infty} \frac{\sin \pi n x \cdot \sin \pi n y}{\pi^2 n^2} dy,$$

$$\frac{\partial X_k}{\partial \theta} = \frac{12 \psi_k(0, t)}{h^2(0)} - \frac{12(1-\eta_0^2)^{3/2}}{\pi(2+\eta_0^2)h^3(0)} \int_0^{2\pi} \frac{\psi_k(\varphi, t)}{h^2(\varphi)} d\varphi,$$

$$\psi_k = \int_0^1 \Phi_k(y, 0, t) dy - \frac{1}{h(0)} \int \left[ B_k(0, t) + \eta_0 a_k(0, t) \sin \theta + h(0) \int_0^1 \psi_k(y, 0, t) dy \right] d\theta.$$

Положим в (3,1)  $k = 0, 1, 2$  и для каждого  $k$  воспользуемся соответствующими формулами из (2,7). Результат введем в (2,3). Тогда при  $0 < \eta_0 < 0,30$  и при достаточно больших  $\Omega_0$ , получим асимптотические формулы для поля скоростей и гидродинамического давления в смазочном слое, справедливые с точностью до  $o(\lambda^2)$ . Нами приводятся некоторые из этих формул, нужные для определения воздействия на шар.

4. Формулы для проекции  $\{B_x, K_y\}$  главного вектора  $\bar{R}'$  сил, действующих со стороны смазки на шар, по форме не отличаются от соответствующих выражений для вязкой жидкости. Формула для главного момента  $L$  относительно центра шара этих сил отличается дополнительным слагаемым, характеризующим пластичность среды

$$R_x = A_s \cos \varphi + A_c \sin \varphi, \quad R_y = -A_c \cos \varphi + A_s \sin \varphi,$$

$$A_s = \int_0^{2\pi} F(0, t) \sin \theta d\theta + o(\lambda^2), \quad A_c = \int_0^{2\pi} F(0, t) \cos \theta d\theta + o(\lambda^2), \quad (4,1)$$

$$F(0, t) = \frac{\partial X_0(0, t)}{\partial \theta} + \lambda \frac{\partial X_1(0, t)}{\partial \theta} + \lambda^2 \left[ \frac{0 \lambda_2(0, t)}{\partial \theta} + \eta_0 \frac{\partial X_0(0, t)}{\partial \theta} \cos \theta - \right]$$

$$= \frac{1}{h} \frac{\partial v_0}{\partial x} \Big|_{x=1};$$

$$L = \frac{\pi \sigma}{\mu} \int_0^{2\pi} \left[ \frac{1}{h} \left( \frac{\partial v_0}{\partial x} + \lambda \frac{\partial v_1}{\partial x} \right) + \frac{\lambda \eta_1 \cos \theta}{h^2} \frac{\partial v_0}{\partial x} \right]_{x=1} d\theta + o(\lambda^2);$$

$$R_x = \frac{\lambda^2 r_1}{\rho v^2} R_x^1, \quad R_y = \frac{\lambda^2 r_1}{\rho v^2}, \quad L = \frac{\lambda^2}{\rho v^2} L'. \quad (4,2)$$

При выписывании входящих в (4,1) выражений для  $\partial X_k(0, t) / \partial \theta$  ( $k=0, 1, 2$ ) и  $v_k(k=0, 1)$  учитываем, что благодаря малости возмущений движений шара при исследовании смещений его центра можно удерживать только первые степени величин  $\xi$  и  $\eta_1$ , характеризующих это смещение. Кроме того, будем пренебречь величиной порядка  $o(\lambda)$  по сравнению с единицей в том смысле, что если какая-либо характеристика движения шара появляется в (4,1) в коэффициенте при  $\lambda^j$ , аналогичную характеристику в следующих приближениях отбрасываем. Последнее, однако, не относится к членам, зависящим только от  $\Omega$  и  $\omega$ : их удерживаем вплоть до коэффициента при  $\lambda^2$  включительно. Это дает возможность провести исследование критического случая резкого уменьшения подъемной силы. Положим в (3,1) ( $k=0$  и  $k=1$ ) с учетом (2,7) полученные результаты введем в (4,1). Тогда после соответствующих вычислений получим такие значения для безразмерных характеристик гидродинамического воздействия смазки на шар.

$$R_x = A_s \cos \varphi + A_c \sin \varphi, \quad R_y = -A_c \cos \varphi + A_s \sin \varphi,$$

$$A_s = \lambda A(\Omega, \omega, \lambda) + \xi A_\xi(\Omega, \omega, \lambda) + \lambda^2 \eta_1 A_n(\Omega, \omega, \lambda),$$

$$A_c = B(\Omega, \omega, \lambda) + \lambda \xi B_\xi(\Omega, \omega, \lambda) + \lambda \eta_1 B_n(\Omega, \omega, \lambda), \quad (4,9)$$

$$L = C(\Omega, \omega, \lambda) + \lambda \xi C_\xi(\Omega, \omega, \lambda) + \lambda \eta_1 C_n(\Omega, \omega, \lambda) + \frac{\pi \sigma}{\lambda^2},$$

$$A(\Omega, \omega, \lambda) = a_2 \Omega^2 + a_3 (\omega - \Omega) \omega + a_{10} \sigma^2 + a_{11} \sigma (\Omega - 2\omega) + o(\lambda^2),$$

$$A_n(\Omega, \omega, \lambda) = a_4 (\Omega - \omega)^2 + a_5 \Omega^2 + a_6 (\omega - \Omega) \omega + a_7 \sigma^2 + a_8 \sigma \Omega + a_9 \sigma (\Omega - 2\omega) + o(\lambda^2),$$

$$B(\Omega, \omega, \lambda) = b_4 \sigma + b_1 (\Omega - 2\omega) + o(\lambda^2), \quad B_\xi(\Omega, \omega, \lambda) = b_5 \sigma + b_3 (\Omega - 2\omega) + o(\lambda^2),$$

$$B_n(\Omega, \omega, \lambda) = b_6 \sigma + b_2 (\Omega - 2\omega) + o(\lambda^2), \quad A_\xi(\Omega, \omega, \lambda) = a_1 + o(\lambda^2),$$

$$c(\Omega, \omega, \lambda) = c_5 \sigma + c_1 \Omega + c_2 \omega + o(\lambda^2), \quad c_n(\Omega, \omega, \lambda) = c_6 \sigma + c_3 \Omega + c_4 \omega + o(\lambda^2);$$

$$a_1 = -\frac{12\pi}{(1-\eta_0^2)^{3/2}}, \quad b_1 = -\frac{12\pi \eta_0}{(2+\eta_0^2)\sqrt{1-\eta_0^2}}, \quad c_1 = -\frac{4\pi(1+2\eta_0^2)}{(2+\eta_0^2)\sqrt{1-\eta_0^2}},$$

$$a_2 = \frac{2\pi[(14+44\eta_0^2+5\eta_0^4) \sqrt{1-\eta_0^2} - (14+23\eta_0^2+8\eta_0^4)]}{35\eta_0(2+\eta_0^2)^2},$$

$$b_2 = -\frac{12\pi(2-\eta_0^2+2\eta_0^2)}{(2+\eta_0^2)(1-\eta_0^2)^{3/2}}, \quad c_2 = \frac{12\pi \eta_0^2}{(2+\eta_0^2)\sqrt{1-\eta_0^2}},$$

$$a_2 = \frac{12\pi\eta_0 [(20+\eta_0^2)\sqrt{1-\eta_0^2} - 3(2+\eta_0^2)]}{35(2+\eta_0^2)^2},$$

$$b_3 = \frac{6\pi[(2+\eta_0^2)(14-11\eta_0^2)\sqrt{1-\eta_0^2} - 28 - 28\eta_0^2 + \eta_0^4 + \eta_0^6]}{35\eta_0^2(2+\eta_0^2)\sqrt{1-\eta_0^2}},$$

$$c_3 = -\frac{8\pi\eta_0(7+7\eta_0^2+4\eta_0^4)}{(2+\eta_0^2)^2(1-\eta_0^2)^{3/2}},$$

$$a_4 = \frac{3\pi[8+40\eta_0^2-176\eta_0^4+175\eta_0^6-22\eta_0^8+2\eta_0^{10}]}{35\eta_0^2(2+\eta_0^2)^3(1-\eta_0^2)^{3/2}} -$$

$$-\frac{(4+10\eta_0^2-2\eta_0^4)(2+\eta_0^2)(1-\eta_0^2)^{3/2}}{35\eta_0^2(2+\eta_0^2)^3(1-\eta_0^2)^{3/2}},$$

$$b_4 = \frac{6\pi\eta_0}{2+\eta_0^2}, \quad c_4 = \frac{12\pi\eta_0(8+8\eta_0^2+5\eta_0^4)}{(2+\eta_0^2)^2(1-\eta_0^2)^{3/2}},$$

$$a_5 = \frac{\pi[10(2+\eta_0^2)(1-\eta_0^2)^{3/2}-20+13\eta_0^2+10\eta_0^4+6\eta_0^6]}{35\eta_0^2(2+\eta_0^2)(1-\eta_0^2)^{3/2}},$$

$$b_5 = \frac{3\pi(1-\eta_0^2)[8+5\eta_0^2-4(2+\eta_0^2)\sqrt{1-\eta_0^2}]}{35\eta_0^2(2+\eta_0^2)^2}, \quad c_5 = -\frac{2\pi(1-\eta_0^2)}{2+\eta_0^2},$$

$$a_6 = \frac{12\pi[(2+\eta_0^2)(1-\eta_0^2)^{3/2}-2+2\eta_0^2+\eta_0^4+2\eta_0^6]}{35\eta_0^2(2+\eta_0^2)(1-\eta_0^2)^{3/2}},$$

$$b_6 = \frac{6\pi(2-\eta_0^2)}{(2+\eta_0^2)^2}, \quad c_6 = \frac{12\pi\eta_0}{(2+\eta_0^2)^2},$$

$$a_7 = \frac{2\pi(1-\eta_0^2)^{3/2}(8+19\eta_0^2+3\eta_0^4)}{35(2+\eta_0^2)^2},$$

$$a_8 = \frac{\pi(1-\eta_0^2)}{20(2+\eta_0^2)},$$

$$a_9 = \frac{\pi(1-\eta_0^2)[4(2+\eta_0^2)(2+11\eta_0^2+2\eta_0^4)\sqrt{1-\eta_0^2} - 16]}{140\eta_0^2(2+\eta_0^2)^2} +$$

$$+\frac{-252\eta_0^2+888\eta_0^4+73\eta_0^6}{140\eta_0^2(2+\eta_0^2)^2},$$

$$a_{10} = \frac{3\pi\eta_0(1-\eta_0^2)^{3/2}}{70(2+\eta_0^2)^2},$$

$$a_{11} = -\frac{\pi(1-\eta_0^2)[(2+\eta_0^2)\sqrt{1-\eta_0^2}-2+17\eta_0^2]}{35\eta_0(2+\eta_0^2)^2}$$

Из этих формул следует, что если  $b_4\sigma+b_1(\Omega-2\omega)=0$ , т. е. если

$\Omega-2\omega=\frac{1}{2}\sigma\sqrt{1-\eta_0^2}$ , то происходит резкое уменьшение подъемной силы. Если  $\xi=\eta_1=0$ , то в этом критическом случае проекция подъемной силы на линии центров имеет порядок о  $\lambda$  и по прежнему выражается формулами (4,9), а проекция на перпендикуляр к этой линии имеет порядок о  $(\lambda^2)$  и выражается в виде:

$$\begin{aligned} B_y = B(\Omega, \omega, \lambda) &\Big|_{\Omega-2\omega=\frac{1}{2}\sigma\sqrt{1-\eta_0^2}} = \frac{24\pi\omega\eta_0}{(2+\eta_0^2)\sqrt{1-\eta_0^2}} + \\ &+ \frac{\pi\sigma[8(1-\eta_0^2)^{3/2}-8+2\eta_0^2-3\eta_0^4]}{4\eta_0(2+\eta_0^2)} + \\ &+ \frac{\pi\sigma\Omega^2[240(1-\eta_0^2)^3-(240-2005\eta_0^2-309\eta_0^4+19\eta_0^6)]}{50400\eta_0(2\eta_0+\eta_0^2)} + o(5^2). \end{aligned}$$

5. В качестве примера рассмотрим случай движения шипа под действием постоянной нагрузки, когда

$$\xi=\eta_1=\omega=\varphi=0 \quad \Omega=\text{const.}$$

Формулы (4,9) после перехода к размерным переменным (4,2) дают

$$R'_x = \rho r_1^3 \Omega'^2 (a_2 + 2a_{11}\xi' + 4a_{10}\xi'^2) + o\left(\frac{\delta}{r_1}\right),$$

$$R'_y = \frac{12\pi\mu r_1^3 \eta_0 \Omega'(-\xi'\sqrt{1-\eta_0^2})}{\delta^2(2+\eta_0^2)\sqrt{1-\eta_0^2}} + o\left(\frac{r_1}{\delta}\right),$$

$$L' = -\frac{4\pi\mu r_1^3 \Omega' [1+2\eta_0^2 + \xi'(1-\eta_0^2)^{3/2}]}{\delta(2+\eta_0^2)\sqrt{1-\eta_0^2}} + \frac{2\pi\tau_0 r_0^2 \lambda^5}{\rho v^2} \operatorname{sgn}\Omega + o(1).$$

$$\xi' = \frac{\sigma}{\Omega} = \frac{\tau_0 \lambda^4}{\mu/\Omega'}.$$

Таким образом, слабопластичные смазки уменьшают подъемную силу и увеличивают момент сопротивления вращению шипа. Для сильно пластичных сред проекция подъемной силы на линию центров растет по модулю пропорционально квадрату предельного напряжения сдвига. Проекция на нормаль к линии центров и момент сопротивления вращению шипа растут прямо пропорционально этому напряжению.

#### Литература

1. Огibalov P. M., Mирзаджанзаде А. Х. Нестационарные движения вязко-пластичных сред. Изд-во МГУ, 1970.
2. Заволженский М. В. Об устойчивости движения шипа в подшипнике. Изв. вузов. Математика, № 6, 109, Казань, 1971.
3. Wada Sanae, Hayashi Hirotsugu, Haga Kenji. Behavior of a Bingham Solid in hydrodynamic lubrication. Part 1. General theory. Bull. JSME, 1973, № 16, № 92, 422-423.

К. С. Ахвердиев

## ӨЗЛҮЛУ-ПЛАСТИК МАЈЕНИН ШИНӘ ГЕЈРИ-ХӘТТИ ТӘ'СИРИНИН ЕФЕКТИ

Мәгаләдә даирәви шинин вә подшипниккүн арасында өзлүлү-пластик мајенин гәрәрлашмамыш һәрәкәттинин гејри-хәтти мүстәви мәсәләсінә бахылыр. Мајенин һәрәкәти шинниң ихтијары верилмий һәрәкәти илә тә'жин олуңур.

Мәсәләнин һәлли гејри-хәтти гәрәрлашмамыш Генки—Илјушинни там системәнниләринин интегралланымасына кәтирилүр вә асимптотик һәлли гуруулур.

K. S. Akhverdiyev

## NON-LINEAR EFFECT OF THE INFLUENCE OF THE VISCOS-PLASTIC LUBRICANT ON THE SLIDING BEARING PIN

The plain non-linear problem on non-stabilized motion of the viscous-plastic lubricant between the circular pin and the bearing is being described. The lubricant motion is determined arbitrarily by the given motion of the pin. The problem is reduced to the integration of the complete system of the non-stationary Ghenke-Ilysh equations.

The asymptotic solution of the problem has been done.

АЗЭРБАЙЧАН ССР ЕЛМЛӘР АКАДЕМИЈАСЫНЫЙ МӘРҮЗӘЛӘРИ

ДОКЛАДЫ АКАДЕМИИ НАУК АЗЕРБАЙДЖАНСКОЙ ССР

ТОМ XXXIII ЧИЛД

№ 12

1977

УДК 621. 315. 592

ФИЗИКА ПОЛУПРОВОДНИКОВ

Г. И. АБУТАЛЫБОВ, Т. Г. КАСУМОВ, Д. Т. ГУСЕЙНОВ, Р. Х. НАНИ

## ЭКСИТОННОЕ ПОГЛОЩЕНИЕ В МОНОКРИСТАЛЛАХ AgGaSe<sub>2</sub>

(Представлено академиком АН Азербайджанской ССР Г. Б. Абдуллаевым)

В последние годы заметно возрос интерес к исследованиям оптических свойств монокристаллов тройных соединений групп A<sup>I</sup> B<sup>III</sup> C<sub>2</sub><sup>VI</sup>, куда входит AgGaSe<sub>2</sub>. Монокристаллы AgGaSe<sub>2</sub> кристаллизуются со структурой халькоперита (симметрия 42m—D<sub>2d</sub><sup>2</sup>). Оптические свойства монокристаллов AgGaSe<sub>2</sub> изучены недостаточно. Данные о спектре поглощения AgGaSe<sub>2</sub> имеются в литературе только до коэффициента поглощения 100 см<sup>-1</sup>, при температуре 77°K [1]. В последних работах по оптическим свойствам AgGaSe<sub>2</sub> о ширине запрещенной зоны обнаруживают расхождения.

В настоящей работе приводятся результаты исследований оптических свойств монокристаллов AgGaSe<sub>2</sub> вблизи края поглощения.

### МЕТОДИКА ЭКСПЕРИМЕНТА

Исследования спектров поглощения кристалла AgGaSe<sub>2</sub> в области 1,72—1,86 эв проводились на решеточном монохроматоре SPM-2 методом продвижения кристалла "в пучок—из пучка" с последующими вычислениями по

$$T = \frac{(1-R)^2 e^{-ad}}{1 - R^2 e^{-2ad}}$$

стационарным и методом λ-модуляции.

Модулятор был изготовлен из пьезоэлемента и подкреплялся на основании монохроматора после входной щели. Коэффициент поглощения в области прямых переходов достигает значений больше 10<sup>3</sup> см<sup>-1</sup>. Поэтому измерения проводились на тонких образцах (толщина 8—10 мкм), представляющих монокристаллические плоскопараллельные пластинки AgGaSe<sub>2</sub>. Тонкие образцы получены с помощью полировки на батисте с алмазной пастой (1 и 0,5 мкм). Крепление образца осуществлялось у одного его края так, чтобы исключить появление напряжений. Температура образцов измерялась с помощью термопары. Исследованные кристаллы AgGaSe<sub>2</sub> были выращены методом Бридгмена—Стокбергера. Совершенство монокристаллов проверялось путем снятия лауэграмм.

## РЕЗУЛЬТАТЫ ЭКСПЕРИМЕНТА И ИХ ОБСУЖДЕНИЕ

На рис. 1 приводится ход коэффициента поглощения монокристаллов  $\text{AgGaSe}_2$  в области  $1,72 - 1,86 \text{ эв}$ , снятой при температуре 300

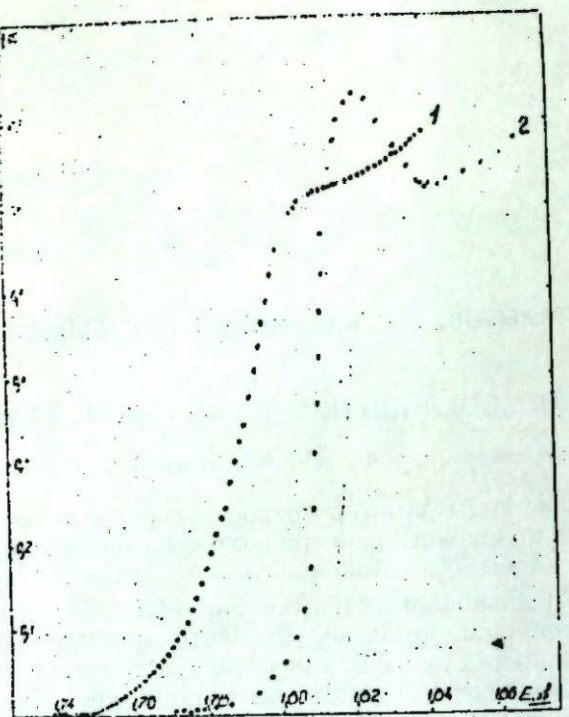


Рис. 1. Спектр поглощения монокристаллов:  
1—○—○—300; 2—●—●—90°К

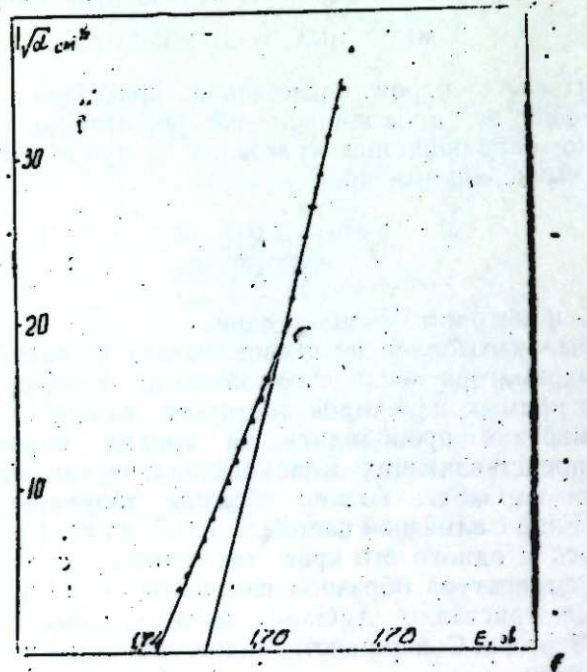


Рис. 2. Зависимость  $\alpha^4=f(E)$  вблизи края поглощения.

и  $90^\circ \text{ К}$ . Как видно из рисунка, коэффициент поглощения в исследованном диапазоне вначале возрастает довольно медленно и около  $1,78 \text{ эв}$  достигает значений  $150 \text{ см}^{-1}$ . О подобном ходе коэффициента поглощения отмечено в работе [3]. Резкого подъема коэффициента поглощения в исследованном диапазоне не наблюдается. Такой ход коэффициента поглощения, по-видимому, характерен для случая, когда край поглощения кристалла обусловлен непрямыми переходами. В связи с этим анализ поглощения  $\text{AgGaSe}_2$  в этой области проводился по зависимости  $\alpha^4=f(h\nu)$  (рис. 2). При этом можно наблюдать два линейных участка: один—соответствующий междузонному поглощению с поглощением фонона, а другой—переходу с испусканием фонона. Такой ход коэффициента позволяет: во-первых, сделать вывод о том, что край обусловлен непрямыми переходами, во-вторых, определить ширину запрещенной зоны  $E_a$  и величину фонона, участвующего в переходе.

На основании анализов определена ширина запрещенной зоны (непрямой), равная  $1,749 \text{ эв}$ . Энергии фононов, определенные графически, имеют величину порядка  $0,007 \text{ эв}$ .

Как видно из рис. 1, коэффициент поглощения при энергии равной примерно  $1,78 \text{ эв}$ , начинает резко возрастать.

Чтобы определить энергию прямых разрешенных переходов при  $K=0$  анализ поглощения  $\text{AgGaSe}_2$  проводился по зависимости  $\alpha^2=f(h\nu)$  (рис. 3). Как видно из рисунка, ширину запрещенной зоны для прямых разрешенных переходов из валентной зоны в зону проводимости можно принять равной  $1,784 \pm 0,002 \text{ эв}$ .

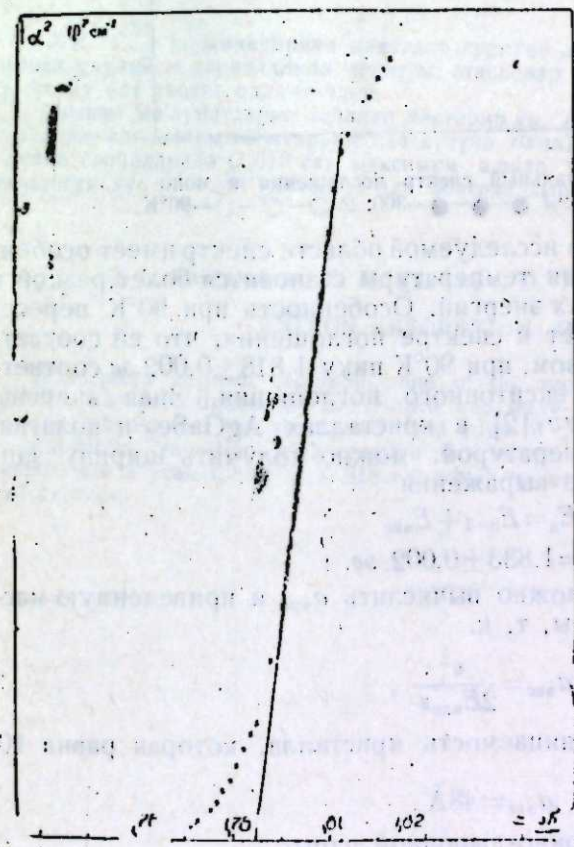


Рис. 3. Зависимость  $\alpha^2=f(E)$ . Показано, что максимум поглощения при  $1,818 \text{ эв}$  совпадает с оценкой, полученной в [2, 3]. Чтобы более точно определить место особенностей нами были исследованы дифференциальные

спектры поглощения методом  $\lambda$ -модуляции. На рис. 4 приводится дифференциальный спектр поглощения монокристалла  $\text{AgGaSe}_2$  при 300 и

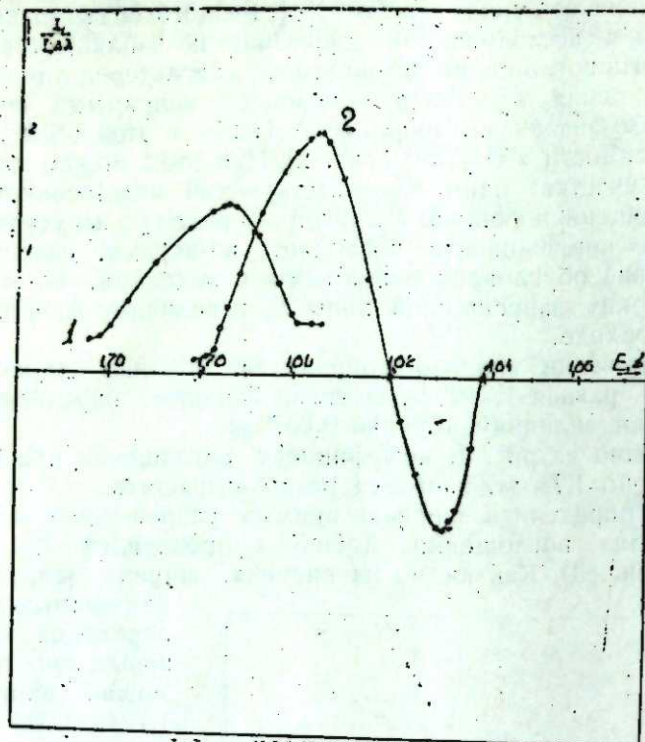


Рис. 4. Дифференциальный спектр поглощения в монокристаллах  $\text{AgGaSe}_2$ : 1 ●—●—●—300; 2 ○—○—○—90°К.

90°К. Из рисунка видно, что в исследуемой области спектр имеет особенность, которая при понижении температуры становится более резкой и смещается в сторону больших энергий. Особенность при 90°К пересекать нулевую линию, означает в спектре поглощения, что ей соответствует максимум. Таким образом, при 90°К пику  $1.818 \pm 0.002$  эв соответствует основное состояние экситонного поглощения. Зная энергию связи экситонов  $E_{\text{экс}} = 15 \text{ mev}$  [2] в кристаллах  $\text{AgGaSe}_2$  и полагая, что  $E_{\text{экс}}$  не меняется с температурой, можно получить ширину запрещенной зоны при 90°К из выражения

$$E_{\Delta} = E_{n=1} + E_{\text{экс}}$$

$$E_{\Delta} = 1.833 \pm 0.002 \text{ эв.}$$

Используя эти данные, можно вычислить  $a_{\text{экс}}$  и приведенную массу электронно-дырочной пары, т. к.

$$a_{\text{экс}} = \frac{e^2}{2E_{\text{экс}}\epsilon},$$

где  $\epsilon$  — диэлектрическая проницаемость кристалла, которая равна 10, тогда

$$a_{\text{экс}} = 48 \text{ \AA},$$

а приведенная масса электронно-дырочной пары

$$\mu = \frac{\epsilon}{a_{\text{экс}}} 5.29 \cdot 10^{-9} m_0,$$

где  $m_0$  — масса свободного электрона.

Из найденных значений  $a_{\text{экс}} = 48 \text{ \AA}$  и  $\epsilon = 10$ , получим  $\mu = 0.21 m_0$ . Определена полуширина линии как разность между наибольшими значениями (по абсолютной величине) положительной и отрицательной производных. Полушрина линии основной экситонной линии оказалась 27 mev.

### Литература

1. Tell B. and Shay J. L., Kasper H. M. Phys. Rev. B, vol 6, № 8, 1972.
2. Tell B. and Kasper H. M. Phys. Rev. v. 4, № 12, 1971.
3. Bhar G. C. and Smith R. C. Phys. Stat. Sol. (a) 13, 157, 1972.
4. Smith R. C. Journal de Physique, n. 9, T. 36, 1975.

Институт физики

Поступило 31. V 1977

Н. И. Абуталыбов, Т. Г. Гасымов, Ч. Т. Гусейнов, Р. Н. Нани  
АГГАСЕ<sub>2</sub> МОНОКРИСТАЛЫНДА ЭКСИТОН УДУЛМАСЫ

$\text{A}^{\text{I}}\text{B}^{\text{III}}\text{C}_2^{\text{VI}}$  йарымкечиричи маддәләр группасы дахил олан  $\text{AgGaSe}_2$  монокристаллынын удулмасы сәрһәддинде спектри стасионар вә далга узуулугунун модулјасиасы үсүлү илә тәдгиг едилмишdir.

Алынан мә'луматларын тәһлили көстәрик ки,  $\text{AgGaSe}_2$  монокристаллынын удулма сәрһәдди фононларынын иштиракы илә дүзүн олмајан кечидләрлә шәртләнир. 90°К-дә удулма сәрһәддинде ( $1.818$  эв) максимум ашкар едилмишdir. Фәрз едилир ки, бу максимум дүз экситон удулмасы илә элагәдардыр.

G. I. Abutalibov, T. K. Kasumov, D. T. Guseinov, R. Kh. Nani  
EXITON ABSORPTION IN  $\text{AgGaSe}_2$

Absorption edge of  $\text{AgGaSe}_2$ , one of the representative of  $\text{A}^{\text{I}}\text{B}^{\text{III}}\text{C}_2^{\text{VI}}$  semiconductors, was investigated by usual optic and wave-length modulation technique.

It is shown that the absorption band edge of  $\text{AgGaSe}_2$  single crystals is formed by non-direct transition with creation or absorption of phonons. At liquid nitrogen temperature a peak found at 1.818 ev, which is probably caused by absorption of direct excitation.

спектры поглощения методом  $\lambda$ -модуляции. На рис. 4 приводится дифференциальный спектр поглощения монокристалла  $\text{AgGaSe}_2$  при 300 и

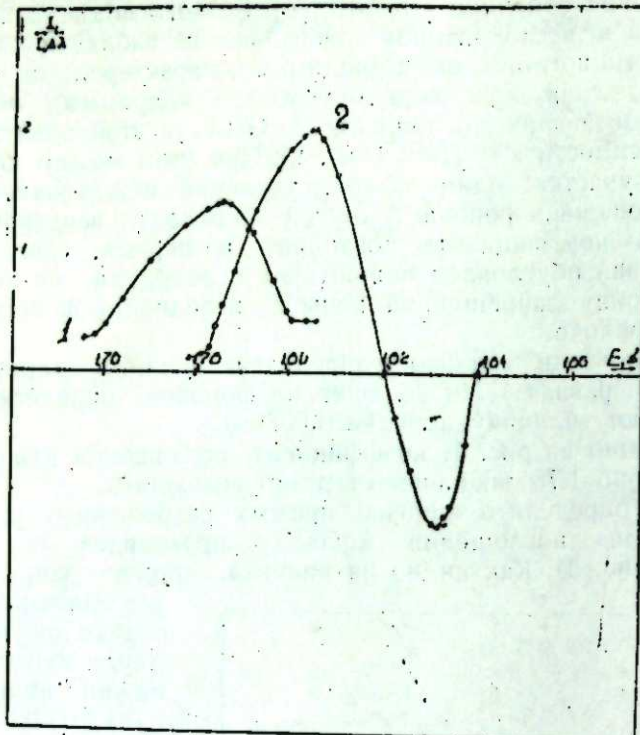


Рис. 4. Дифференциальный спектр поглощения в монокристаллах  $\text{AgGaSe}_2$ : 1 ●—●—●—300; 2 ○—○—○—90°К.

90°К. Из рисунка видно, что в исследуемой области спектр имеет особенность, которая при понижении температуры становится более резкой и смещается в сторону больших энергий. Особенность при 90°К пересекает нулевую линию, означает в спектре поглощения, что ей соответствует максимум. Таким образом, при 90°К пику  $1,818 \pm 0,002$  эв соответствует основное состояние экситонного поглощения. Зная энергию связи экситонов  $E_{\text{экс}} = 15 \text{ mev}$  [2] в кристаллах  $\text{AgGaSe}_2$  и полагая, что  $E_{\text{экс}}$  не меняется с температурой, можно получить ширину запрещенной зоны при 90°К из выражения

$$E_{\lambda} = E_{n=1} + E_{\text{экс}}$$

$$E_{\lambda} = 1,833 \pm 0,002 \text{ эв.}$$

Используя эти данные, можно вычислить  $a_{\text{экс}}$  и приведенную массу электронно-дырочной пары, т. к.

$$a_{\text{экс}} = \frac{e^2}{2E_{\text{экс}}\epsilon},$$

где  $\epsilon$  — диэлектрическая проницаемость кристалла, которая равна 10, тогда

$$a_{\text{экс}} = 48 \text{ \AA},$$

а приведенная масса электронно-дырочной пары

$$\mu = \frac{e}{a_{\text{экс}}} 5,29 \cdot 10^{-9} m_0,$$

где  $m_0$  — масса свободного электрона.

Из найденных значений  $a_{\text{экс}} = 48 \text{ \AA}$  и  $\epsilon = 10$ , получим  $\mu = 0,21 m_0$ . Определена полуширина линии как разность между наибольшими значениями (по абсолютной величине) положительной и отрицательной производных. Полушрина линии основной экситонной линии оказалась 27 mev.

## Литература

1. Tell B. and Shay J. L., Kasper H. M. Phys. Rev. B, vol 6, № 8, 1972.
2. Tell B. and Kasper H. M. Phys. Rev. v. 4, № 12, 1971.
3. Bhar G. C. and Smith R. C. Phys. Stat. Sol. (a) 13, 157, 1972.
4. Smith R. C. Journal de Physique, n. 9, T. 36, 1975.

Институт физики

Поступило 31. V 1977

h. И. Абутаильов, Т. Г. Гасымов, Ч. Т. Һүсейнов, Р. Һ. Нани  
 $\text{AgGaSe}_2$  МОНОКРИСТАЛЫНДА ЭКСИТОН УДУЛМАСЫ

$\text{A}^{I\text{II}}\text{B}^{III}\text{C}_2^{VI}$  йарымкечиринчи маддәләр группана дахил олан  $\text{Ag Ga Se}_2$  монокристаллынын удулмасы сәрһәддиндә спектри стансиянар вә далга узуулугунын модулациясы үсүлү илә тәлгиг едилмишdir.

Алышан мә'лumatларын тәйлили көстәрир ки,  $\text{AgGaSe}_2$  монокристаллынын удулма сәрһәдди фононларынын иштиракы илә дүзүнэ олмајан кечидләрлә шәртләнir. 90°К-дә удулма сәрһәддиндә (1,818 эв) максимум ашкар едилмишdir. Фәрз едилир ки, бу максимум дүз экситон удулмасы илә әлагәдәрдәрдүр.

G. I. Abutalibov, T. K. Kasumov, D. T. Guseinov, R. Kh. Nani  
EXITON ABSORPTION IN  $\text{AgGaSe}_2$

Absorption edge of  $\text{AgGaSe}_2$ , one of the representative of  $\text{A}^{I\text{II}}\text{B}^{III}\text{C}_2^{VI}$  semiconductors, was investigated by usual optic and wave-length modulation technique.

It is shown that the absorption band edge of  $\text{AgGaSe}_2$  single crystals is formed by non-direct transition with creation or absorption of phonons. At liquid nitrogen temperature a peak found at 1. 818 ev, which is probably caused by absorption of direct excitation.

УДК 621.315.592

ФИЗИКА

Чл.-корр. АН Азерб. ССР М. И. АЛИЕВ, А. З. ДАИБОВ, И. А. ИСМАИЛОВ

### О ВЛИЯНИИ СМЕШАННОГО МЕХАНИЗМА РАССЕЯНИЯ НА ОТРИЦАТЕЛЬНОЕ МАГНИТОСОПРОТИВЛЕНИЕ В $n$ -InSb

Отрицательное магнитосопротивление (ОМС) в  $n$ -InSb исследовалось в работах [1—4]. В. А. Ильин и Е. З. Шапиро [1] провели исследование ОМС при температуре 30°К, когда имеет место рассеяние на ионизированных примесях [5], и экспериментально подтвердили теоретическую работу Л. С. Дубинской [6]; в которой автор предсказал положение максимума ОМС при значении параметра  $\beta = 3 \div 5$  ( $\beta = \frac{\hbar\Omega}{k_0 T}$ ,  $\Omega$  — циклотронная частота). Максимум ОМС должен достигать больших величин, вплоть до значения 0,9. В случае рассеяния электронов на акустических фонах [7] максимум ОМС приходится на значение  $\beta = 1$ , а величина максимума ОМС не должна превышать 0,12.

Исходя из этого, по положению максимума ОМС и его величине можно судить о механизме рассеяния электрона в квантующем магнитном поле. Переход от одного механизма к другому по температурной шкале нерезок, т. е. имеются температурные области, в которых независимо друг от друга действуют одновременно два или несколько механизмов рассеяния, т. е. имеет место смешанный механизм. Поэтому представляет интерес изучение ОМС при смешанном механизме рассеяния (ионизированные примеси и фононы). С этой целью объектом исследования был выбран антимонид. индия электронной проводимости, имеющий смешанный механизм рассеяния при температуре 77,4° К [5].

Образец	$n(\text{см}^{-3})$	$\eta = (2\kappa R)^2$	$w(10^5 \text{ см}^2/\text{в сек})$
1	$2,9 \cdot 10^{13}$	1800	2,2
2	$2,3 \cdot 10^{14}$	227	2,4
3	$1,9 \cdot 10^{15}$	2,75	2,7
4	$7,5 \cdot 10^{16}$	7,0	1,6

Образцы выбраны с концентрациями  $10^{13} \div 10^{16} \text{ см}^{-3}$  (см. таблицу). Они были сделаны в виде параллелепипедов с размерами близкими к

$12 \times 1 \times 0,7 \text{ мм}^3$ . Исследования магнитосопротивления проводились в импульсных продольных магнитных полях до 100 кээ.

На рисунке показаны зависимости магнитосопротивления  $\frac{\Delta\rho}{\rho}$  от



Зависимость магнитосопротивления  $\frac{\Delta\rho}{\rho}$  от магнитного поля  $\beta$  в  $n$ -InSb при 77,4° К.

$n, \text{ см}^{-3}$ : 1— $2,9 \cdot 10^{13}$ ; 2— $2,3 \cdot 10^{14}$ ;  
3— $1,9 \cdot 10^{15}$ ; 4— $7,5 \cdot 10^{15}$ ;  
5—теория ( $\eta = 1,12$ )

Зависимостей  $\frac{\Delta\rho}{\rho} = f(\beta)$  значения величины максимума ОМС существенно различаются от теоретических [6] и экспериментальных [1].

Таким образом можно сделать заключение, что при наличии смешанного механизма рассеяния значительно уменьшается величина максимума ОМС, а характер зависимости  $\frac{\Delta\rho}{\rho} = f(\beta)$  не изменяется. Это говорит в пользу того, что в ОМС при смешанном механизме рассеяния на ионизированных примесях вносит существенный вклад, т. е. смешанный механизм рассеяния влияет только на величину максимума ОМС, значительно уменьшая его.

#### Литература

- Ильин В. Л., Шапиро Е. З. ФТП, 7, 393, 1973.
- Magnusson B. Phys. Stat. Sol. (b), 56, 269, 1973.
- Tokumoto M., Yamamoto C., Yoshiro K. J. Phys. Soc. Japan, 36, 914, 1974.
- Mansfield R. E. I. I. S. T. J. Phys. C: Sol. St. Phys., 9, 3781, 1976.
- Kinch M. A. Brit. J. Appl. Phys., 17, 1257, 1966.
- Дубинская Л. С. ФТП, 56, 801, 1969.
- Дубинская Л. С. ФТП, 7, 2821, 1965.
- Цидильковский И. М., Аксельрод М. И., Соколов В. И. ФТП, 7, 316, 1965.

Институт физики

Поступило 24. VI 1977

М. И. Элиев, А. З. Даиров, И. Э. Исмаилов

СЭПИЛМӘНИН ГАРЫШЫГ МЕХАНИЗМИНИН МӘНФИ  
МАГНИТОУГАВИМӘТЭ ТӘ'СИРИ

*n*-InSb-дә 77,4°K температурда мәнфи магнитомұғавимәт тәдгиг едилмішdir. Сэпилмәнин гарышыг механизминин мәнфи магнитомұғавимәттин максимум гијметине тә'сири көстэрілмішdir.

M. I. Aliev, A. Z. Daibov, I. A. Ismailov

ABOUT THE INFLUENCE OF THE MIXED MECHANISM  
OF DISSIPATION ON THE QUANTITY MAXIMUM OF  
THE NEGATIVE MAGNETORESISTIVITY IN *n*-InSb  
AT 77,4°K

The negative magnetoresistivity (NMR) of *n*-InSb has been investigated at 77,4°K. The influence of the mixed mechanism of dissipation on the quantity maximum of the NMR.

АЗӘРБАЙЧАН ССР ЕЛМЛӘР АКАДЕМИЈАСЫНЫН МӘРҮЗӘЛӘРИ  
ДОКЛАДЫ АКАДЕМИИ НАУК АЗЕРБАЙДЖАНСКОЙ ССР

ТОМ XXXIII ЧИЛД

№ 12

1977

УДК 539. 191. 01

МОЛЕКУЛЯРНАЯ СПЕКТРОСКОПИЯ

О. И. КОНДРАТОВ, Т. С. АБИЛОВА, Р. М. АХМЕДОВ, С. И. МЕХТИЕВ

ИК-СПЕКТРЫ И НОРМАЛЬНЫЕ КОЛЕБАНИЯ НЕКОТОРЫХ  
АМИНОНИТРИЛОВ

(Представлено академиком АН Азербайджанской ССР Л. М. Имановым)

Как известно, аминонитрилы являются ценными полупродуктами для синтеза различных органических соединений. В качестве основных продуктов они используются для получения биологически- и физиологически активных веществ, ингибиторов коррозии, красителей, пластических материалов, стимуляторов роста некоторых сельскохозяйственных культур.

Простым и экономически выгодным является синтез  $\beta$ -аминонитрилов на основе кротононитрила и метакрилонитрила. Кроме того, полимеры, полученные из этих синтезированных мономеров, обладают высокой прочностью и термостойкостью. О превращениях кротононитрила и метакрилонитрила в литературе имеются весьма ограниченные сведения.

Продолжая работу в области синтеза аминопроизводных  $\alpha$ ,  $\beta$ -ненасыщенных нитрилов, соавторы данной статьи предложили [1—3] способ синтеза ряда  $\beta$ -аминонитрилов на основе кротононитрила и метакрилонитрила. В частности, ими были синтезированы  $\beta$ -амиnobутиронитрил и  $\beta$ -аминоизобутиронитрил — продукты присоединения аммиака, соответственно, кротононитрилу и метакрилонитрилу, имеющие одинаковые брутто-формулы, но различную структуру. В дальнейшем будем называть их молекулами I и II (см. рис. 1).

Спектральные характеристики соединений, в частности, ИК-спектры являются отражением структурных свойств молекул. Возможно, более детальная интерпретация спектра может быть выполнена на основе существующей теории колебательных спектров [4] при использовании специальных программ для ЭВМ, созданных в последние годы [5]. Полный анализ колебательного спектра предусматривает расчет частот, форм нормальных колебаний, а также интегральных интенсивностей полос поглощения.

В настоящей статье впервые приводятся ИК-спектры новых синтезированных веществ, а также результаты решения первой спектральной задачи. Теоретическая интерпретация спектров исследуемых молекул позволяет объяснить их различия. Исследуемые аминонитрилы не обладают симметрией, и следует ожидать в НК-спектрах появление

Таблица 1

практически всех рассчитываемых нормальных колебаний. Расчеты выполнены при следующих геометрических параметрах: [6]:  $S_{\text{NH}} = 1,011 \text{ \AA}$ ,  $S_{\text{CN}} = 1,074 \text{ \AA}$ ,  $S_{\text{C-N}} = 1,16 \text{ \AA}$ ,  $S_{\text{CH}}(\text{CH}_3) = 1,093 \text{ \AA}$ ,  $S_{\text{CH}} = 1,09 \text{ \AA}$ ,  $S_{\text{CH}}(\text{CH}_2) = 1,095 \text{ \AA}$ ,  $S_{\text{C-C}}(\text{CCN}) = 1,6 \text{ \AA}$ ,  $S_{\text{CC}} = 1,525 \text{ \AA}$ ,  $\angle \text{CNH} = 112^\circ$ ,  $\angle \text{HNH} = 106^\circ$ . Остальные углы считались тетраэдрическими.

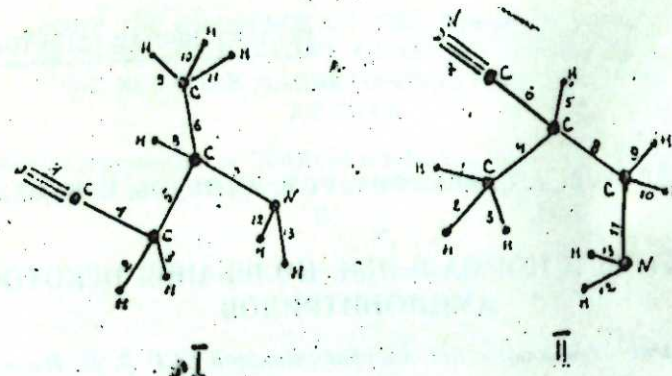


Рис. 1.

В задаче были использованы силовые коэффициенты, уточненные для метиламинов [7, 8], ацетонитрила и изопарафинов [1]. Слабые угловые взаимодействия не учитывались, поскольку последние, являясь "субъективной" характеристикой молекулы, нуждаются в уточнении в каждом отдельном случае. С этим обстоятельством связано небольшое расхождение теоретически вычисленных и экспериментально наблюдаемых частот на ограниченном участке спектра. При расчете учитывались крутильные колебания тяжелых группировок друг относительно друга, влияние которых оказывается на поглощении в наблюдаемой спектральной области.

Как и следовало ожидать, результаты расчетов подтвердили, высокую характеристичность по частоте и форме валентных и некоторых деформационных колебаний аминной, нитрильной, метильной и метиленовой групп (см. табл. 1), общих для I и II молекул. Полосы №№ 1, 2, 9, 13—относятся к аминогруппе, 8—к нитрильной, 5, 7, 11—к метиленовой, 3, 4, 6, 10, 12—к метильной группам. Полоса поглощения, связанная с валентным колебанием  $\text{CH}$ —одиночной связи, равная  $\nu = 2936$ , перекрывается поглощением метиленовой и метильной групп.

Широкие полосы поглощения в низкочастотной области являются наложением большого числа полос, связанных с валентными и крутильными колебаниями углеродных связей. Кроме того, эта область чувствительна к конформационным изменениям, и анализ интенсивности суммарной полосы окажется более полезным при исследовании конформаций. Аналитической областью органических соединений является обычно участок  $800-2000 \text{ см}^{-1}$ . На рис. 2,3 приведены экспериментальные спектры исследуемых аминонитрилов, снятые на ИКС-14 А. Далее, в табл. 2 представлены частоты нормальных колебаний молекул I и II, не являющихся характеристическими. Анализ форм нехарактеристических колебаний указывает на взаимосвязь деформационных колебаний метиленовой, аминной и группы, которая содержит трети-

№	1	2	3	4	5	6	7	8	9	10	11	12	13
$\nu_9$ I	3 376	3 430	2 970		2 930	2 900	2 876	2 245	1 600	1 456	1 419	1 386	650
$\nu_9$ II	3 372	3 430	2 970		2 930	2 900	2 874	2 245	1 600	1 458	—	1 382	650
$\nu_p$	3 373	3 427	2 975	2 973	2 921	2 898	2 877	2 250	1 600	1 458	1 434	1 378	658

чный атом углерода. Различное расположение метиленовой группы в молекулах вызвало небольшое изменение в частотах нормальных колебаний, но более заметным оно оказалось в интенсивностях. Сказанное относится и к характеристическим полосам. Так, например, в

спектре I молекулы мы наблюдаем интенсивную полосу  $1419 \text{ см}^{-1}$  (расчетная  $1434 \text{ см}^{-1}$ ), относящуюся к метиленовой группе, в спектре II молекулы мы ее не наблюдаем. То же самое можно сказать о полосе  $1344 \text{ см}^{-1}$ , интенсивной для I молекулы и слабой, соответствующей ей ( $1357 \text{ см}^{-1}$ )—для II молекулы (по форме колебаний—смешанное.)

Среди полос поглощения, относящихся в большей степени к третичному атому углерода, имеется несколько полос со значениями частот, практически не отличающимися для I и II молекул ( $1280, 1231, 1206, 1114$ ).

Наблюдается отличительная полоса средней интенсивности при  $1137 \text{ см}^{-1}$  (расчетная  $1144 \text{ см}^{-1}$ ), слабая в спектре II молекулы (расчетная  $1079$ ), кроме того полоса  $976 \text{ см}^{-1}$  (равная в спектре II молекулы.

Нормальное колебание с частотой  $1065 \text{ см}^{-1}$  для I молекулы по форме в большей степени зависит от аминогруппы, в частности, и от ее расположения, т. к. в колебании участвует и соседняя с ней метиленовая группа. Расчеты, проведенные для конформации молекулы I, полученной поворотом аминной группы на  $180^\circ$  вокруг C-связи, привели к  $\nu = 1029 \text{ см}^{-1}$ . (По-видимому, наблюдаемая в спектре I молекулы дополнительная полоса относится именно к этой конформации).

Экспериментальные полосы в области  $800-1000 \text{ см}^{-1}$  являются широкими для I и II молекул. Они могут являться результатом наложения отдельных полос, соответствующих различным конформациям этих молекул, полученным вращением на  $120^\circ$  вокруг C-C-связи, не относящейся к метильной группе. Расчеты показали, что частоты могут отличаться в этой области почти на  $20 \text{ см}^{-1}$ . Наиболее низкочастотная полоса в этой области связана с метиленовой группой, и для

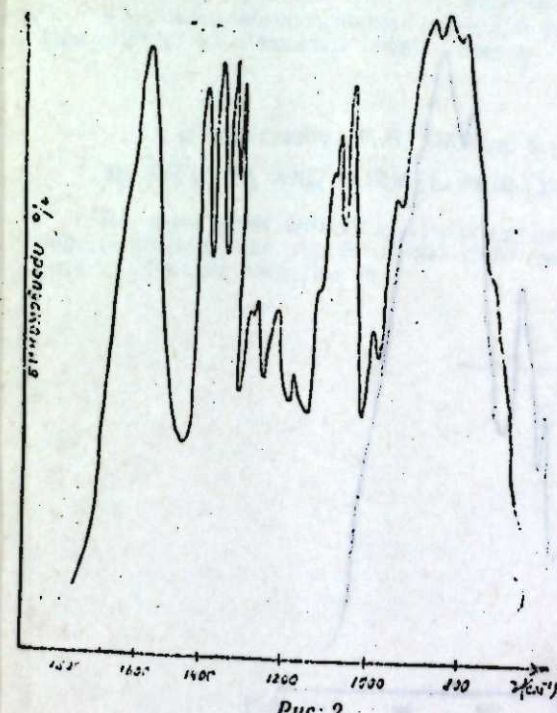


Рис. 2.

расчетная  $962 \text{ см}^{-1}$ ), не наблюдаемая в спектре II молекулы.

Нормальное колебание с частотой  $1065 \text{ см}^{-1}$  для I молекулы по форме в большей степени зависит от аминогруппы, в частности, и от ее расположения, т. к. в колебании участвует и соседняя с ней метиленовая группа. Расчеты, проведенные для конформации молекулы I, полученной поворотом аминной группы на  $180^\circ$  вокруг C-связи, привели к  $\nu = 1029 \text{ см}^{-1}$ . (По-видимому, наблюдаемая в спектре I молекулы дополнительная полоса относится именно к этой конформации).

Экспериментальные полосы в области  $800-1000 \text{ см}^{-1}$  являются широкими для I и II молекул. Они могут являться результатом наложения отдельных полос, соответствующих различным конформациям этих молекул, полученным вращением на  $120^\circ$  вокруг C-C-связи, не относящейся к метильной группе. Расчеты показали, что частоты могут отличаться в этой области почти на  $20 \text{ см}^{-1}$ . Наиболее низкочастотная полоса в этой области связана с метиленовой группой, и для

Таблица 2.

Частоты нормальных колебаний I и II аминонитрилов

№	1	2	3	4	5	6	7	8	9	10	11	12
$\nu_9$ , I	1344	1299	1276	1226	1192	1137	1119	1091	976	901	864	825
$\nu_p$ , I	1346	1312	1280	1231	1206	1144	1114	1065	962	932	815	835
$\nu_9$ , II	1357	1307	1267	1239	1199	1120	1080	1061	1058	923	847	800
$\nu_p$ , II	1348	1292	1282	1250	1209	1121	1084	1079	1074	925	895	803

II молекулы она имеет меньшее по частоте значение (см. табл. 2).

Подводя итоги сказанному, можно прийти к выводу, что частотное проявление спектрального различия I и II молекул незначительное.

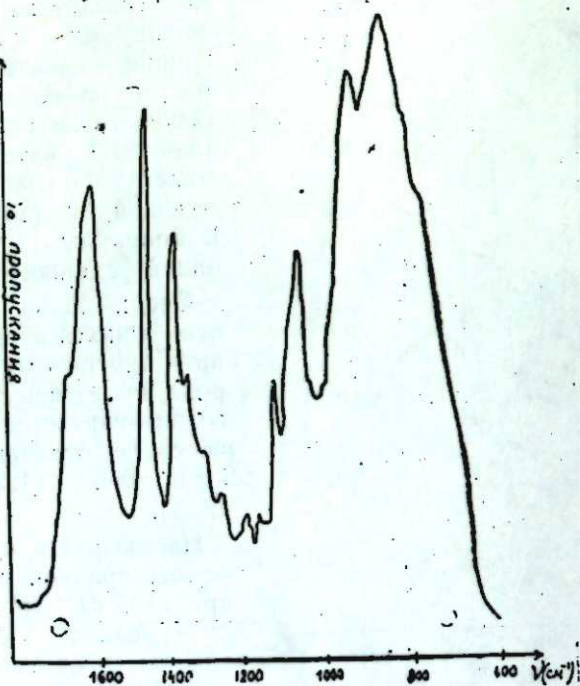


Рис. 3.

но, в то время как интенсивность полос поглощения, как и следовало ожидать, является более чувствительной характеристикой структурных перестроек. Экспериментально-теоретическое исследование интенсивностей должно быть проведено с учетом различных конформаций.

#### Литература

- Мехтиев С. И., Сафаров Ю. Д. Авт. свид. СССР № 327185, Бюлл. изобр., № 5, 1972.
- Мехтиев С. И., Ахмедов Р. М., Сафаров Ю. Д. Азерб. хим. ж., № 5, 1976, стр. 24.
- Ахмедов Р. М., Мехтиев С. И., Сафаров Ю. Д. Тез. докл. республ. конф. «Нефтехимический синтез и нефтепереработка», посвященный памяти акад. Ю. Г. Мамедалиева. Баку, 1976.
- Волькенштейн М. В., Грибов Л. А., Ельяшевич М. А., Степанов Б. И. Колебания молекул. «Наука», М., 1972.
- Дементьев В. А., Смирнов В. И., Грибов Л. А. Журн. прикл. спектроскопии, 20, 694, 1974.
- Lide D. R. Jr., J. Chem. Phys., 27, 350, 1957.

7. Попов Е. М., Желтова Р. И., Коган Л. А. «Оптика и спектроскопия», Краснодар, т. 1119, 1969. 8. Грибов Л. А., Носкова М. П., Крупеникова И. Н. «Оптика и спектроскопия», 36, 801, 1974.

АГУ им. С. М. Кирова

Поступило 26. V 1977

О. И. Кондратов, Т. С. Эбилова, Р. М. Эймадов, С. И. Мехтиев

#### ИГ-СПЕКТРЛЭР ВЭ БИР СЫРА АМИНОНИТРИЛЛЭРИН НОРМАЛ РЭГСЛЭРИ

Мэглэдээ аммоиакын бирлэшмэ мэйсуул олан β-аминоизобутиронитрил протононитрил вэ β-аминоизобутиронитрилий протононитрил вэ метакрилонитриллэ спектрийн 830—2000  $\text{cm}^{-1}$  областында яни бирлэшмэлэриний ИГ-спектрлэри верилир. Бу, ejни брутто-формулалык олан молекулларын структур фэрглэрийн тэ'янн етмэк учун аналитикдир.

Удма золагларынын нормал рэгслэри тезлийнин тэчүрүбү мушаңидэлэрлэ мугаса етмэклэ несабланмасы апарылмышдыр.

O. I. Kondratov, T. S. Abilova, S. I. Mekhtiev, R. M. Akhmedov

#### IR SPECTRA AND NORMAL VIBRATIONS OF SOME AMINONITROLS

The paper deals with IR spectra of the new products—aminobutironitrile and β-aminoisobutironitrile in the region of 800—2000  $\text{cm}^{-1}$ . There have been calculated the frequencies of normal vibration in it.

Т. Г. КЯЗИМОВА, Р. С. БАБАЕВ, А. А. БАЙРАМОВ

## СТЕРЕОХИМИЯ ДИЕНОВОЙ КОНДЕНСАЦИИ АЛЛИЛОВЫХ ЭФИРОВ ХЛОРУКСУСНЫХ КИСЛОТ С ЦИКЛИЧЕСКИМИ ДИЕНАМИ

(Представлено академиком АН Азербайджанской ССР С. Д. Мехтиевым)

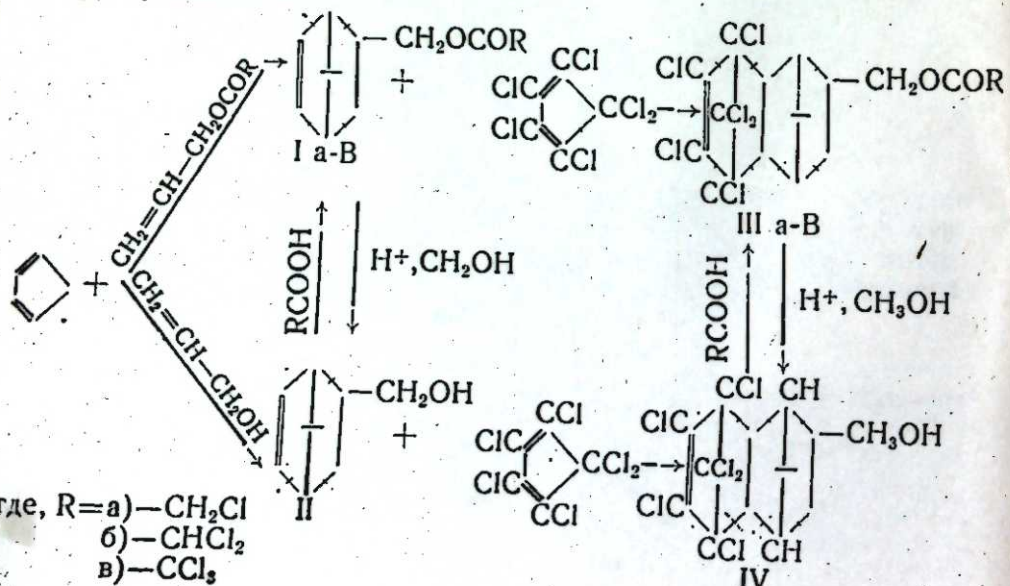
Бициклические соединения, полученные диеновой конденсацией на базе циклопентадиена и гексахлорциклопентадиена приобретают все большую известность, так как многие из полученных аддуктов этого типа обладают биологической активностью. Поэтому и получение указанных соединений представляет несомненный интерес [1].

Непредельные эфиры уксусных кислот в диеновом синтезе широко изучены. Так, из литературы известно, что циклопентадиен легко конденсируется с виниловым эфиром уксусной кислоты, приводя преимущественно образованию одного изомера. Эндо-конфигурация последнего установлена превращением его в  $\alpha$ -норборнеол, имеющего эндо-конфигурацию [2,3].

Однако непредельные эфиры галоидуксусных кислот в литературе почти не изучены. Имеется одна работа, в которой описывается диеновая конденсация указанных соединений с целью изучения инсектицидной активности без установления их пространственной конфигурации [4].

Ранее была изучена диеновая конденсация циклопентадиена с аллиловым эфиром моно-, ди-, и трихлоруксусной кислоты. Пространственная структура полученных аддуктов не была установлена [5].

Настоящая статья является продолжением наших прежних исследований и посвящена установлению пространственной структуры бицикло [2,2,1]-2 гептен-5-(Ia, b, v)—и 1,2,3,4, 11, 11-гексахлортетрацикло-(2,2,1,0)-2 додецен-8(IIIa, b, v)—метиловых эфиров моно-, ди-, трихлоруксусных кислот.



Эндо-структура полученных аддуктов установлена химическими и физическими методами.

Полученные аддукты Ia, b, v кислотным гидролизом переводились в известный бициклический спирт II эндо-конфигурации, который был одновременно получен встречным синтезом—диеновой конденсацией аллилового спирта с циклопентадиеном и дальнейшей его этерификацией соответствующей хлоруксусной кислотой.

Индивидуальность бициклических эфиров Ia, b, v и спирта II подтверждалась ТС и ГЖ-хроматографией. Результаты анализов указывают на получение, в основном, одного изомера, за исключением аддукта Ia, где наблюдается образование в небольшом количестве второго экзо-изомера.

Ia  $\text{C}_{10}\text{H}_{13}\text{O}_2\text{Cl}$   $n_{\text{D}}^{20}$  1,4930,  $d_4^{20}$  1,1723, т. кип.  $95^{\circ}\text{C}/1\text{мм}$ ,  $R_{\text{H}}$  0,66,  $R_{\text{D}}$  0,17

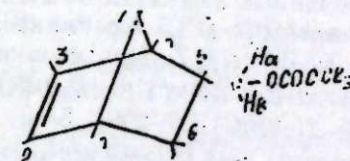
Ib  $\text{C}_{10}\text{H}_{12}\text{O}_2\text{Cl}_2$   $n_{\text{D}}^{20}$  1,5004  $d_4^{20}$  1,2492 т. кип.  $111^{\circ}\text{C}/2\text{мм}$ ,  $R_{\text{f}}$  0,62

IV  $\text{C}_{10}\text{H}_{11}\text{O}_2\text{Cl}_3$   $n_{\text{D}}^{20}$  1,5092  $d_4^{20}$  1, 3242, т. кип.  $107/1\text{мм}$ ,  $R_{\text{f}}$  0,82

II  $\text{C}_8\text{H}_{12}\text{O}$   $n_{\text{D}}^{20}$  1,5002 т. кип.  $67-68/2\text{мм}$ ,  $R_{\text{f}}$  0,61.

В ИК-спектрах синтезированных эфиров Ia, b, v наблюдаются интенсивные полосы карбонильной группы в области  $1750-1770 \text{ см}^{-1}$  полосы C—Cl-связей — в области  $730 \text{ см}^{-1}$  соответственно. Частоты C—O—C-связи проявляются в области  $980-1180 \text{ см}^{-1}$ . Характерные частоты для C=C связи в области  $1610-1650 \text{ см}^{-1}$  не проявляются или проявляются мало интенсивными. Наличие C=C связи подтверждает появление полосы в области  $3070 \text{ см}^{-1}$ , характерные для C—H-связи.

Из анализа ПМР-спектра



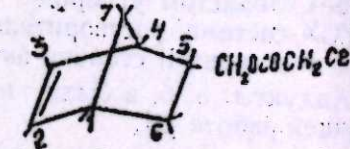
видно, что сигнал поглощения  $\text{H}_6$ -эндо протона наблюдается в области высоких полей с химсдвигом  $\delta=0,53$  м. д. Октетная структура обусловлена спин-спиновым взаимодействием  $(\text{CCB})\text{H}_6$ -эндо протона с тремя соседними протонами со следующими константами:  $J_{\text{H}_6 \text{ эндо} \wedge \text{H}_6 \text{ экзо}} = 11 \text{ Гц}$  (гем-взаимодействие);  $J_{\text{H}_6 \text{ эндо} \wedge \text{H}_5 \text{ эндо}} = 5 \text{ Гц}$  (вицинальное взаимодействие) и  $J_{\text{H}_6 \text{ эндо} \wedge \text{H}_5 \text{ син}} = 2; 5 \text{ Гц}$  (взаимодействие "W"). Сигнал с химсдвигом  $\delta=1,44$  м. д. соответствует  $\text{H}_5$  син-протону, имеющий дублет-дублетную структуру, с CCB  $J_{\text{H}_7 \text{ син} \wedge \text{H}_5 \text{ анти}} = 9, 0 \text{ Гц}$ . Протон  $\text{H}_5$ -экзо с химсдвигом  $\delta=1,82$  м. д. проявлен октетом, где  $J_{\text{H}_5 \text{ экзо} \wedge \text{H}_5 \text{ экзо}} = 9,6 \text{ Гц}$ ,  $J_{\text{H}_5 \text{ экзо} \wedge \text{H}_4} = 4 \text{ Гц}$ ,  $J_{\text{H}_4 \text{ экзо} \wedge \text{H}_5 \text{ эндо}} = 11 \text{ Гц}$ . Мультиплет  $\text{H}_5$  протона наблюдается с центром при 2,5 м. д. Протоны  $\text{H}_1$  и  $\text{H}_4$  химически эквиваленты и проявились общим сигналом с центром при 2,8 м. д. Химически неэквивалентные метиленовые протоны заместителя имеют следующие параметры:

$\delta_{\text{H}_a(\text{H}_b)} = 4,25$  м. д.,  $\delta_{\text{H}_b(\text{H}_a)} = 3,90$  м. д.,  $J_{\text{H}_a \wedge \text{H}_b} = 20 \text{ Гц}$ .

$J_{\text{H}_a \wedge \text{H}_5} = J_{\text{H}_5 \wedge \text{H}_b} = 10 \text{ Гц}$ . Протоны при двойной связи также химически неэквивалентны:  $\delta_{\text{H}_3(\text{H}_2)} = 5,9$  м. д.;  $\delta_{\text{H}_2(\text{H}_3)} = 6,15$  м. д.

$J_{\text{H}_3 \wedge \text{H}_2} = 7,0 \text{ Гц}$ .

Спектр соединения со структурой



отличается только наличием концевой  $\text{CH}_2\text{Cl}$  группы, наблюдаемой узким интенсивным сигнелом при 4 м. д.

Сопоставляя информацию, полученную из спектральных данных с литературными можно сделать вывод о конфигурации молекулярной структуры. Неэквивалентность  $\text{H}_2$  и  $\text{H}_3$  протонов при двойной связи, наличие в мультиплете сигнала  $\text{H}_1$ , син-протона лишь одной константы, соответствующей "W" взаимодействию, наличие константы ССВ по "W" в сигнале  $\text{H}_6$  эндо-протона, величина константы ССВ его с  $\text{H}_3$ -экзо протоном, равная 5 гц—все эти данные однозначно свидетельствуют об эндо-конфигурации аддуктов I.

Аддукты Ia, b, в являются очень реакционноспособными соединениями и легко вступают в диеновый синтез с гексахлорцикlopентадиеном с получением соединений IIIa, b, в. Конфигурация этих аддуктов также установлена физико-химическими методами.

Аддукты IIIa, b, в путем кислотного гидролиза переводились в соответствующий тетрациклический спирт IV, который одновременно был получен встречным синтезом—диеновой конденсацией бициклического спирта II с гексахлорцикlopентадиеном, с дальнейшей этерификацией последнего соответствующей хлоруксусной кислотой.

ТС-хроматография IIIa, b, в указывает на получение одного изомера.

В ИК-спектрах тетрациклических аддуктов имеются характерные частоты для  $\text{C}=\text{C}$ -связи в области  $1600 \text{ cm}^{-1}$  и дополнительные частоты в области  $700$ — $900 \text{ cm}^{-1}$  для  $\text{C}-\text{Cl}$ -связей. Снижение частоты  $\text{C}=\text{C}$  в хлорированных аддуктах объясняется экранирующим влиянием хлорных атомов в  $\text{CCl}_3-\text{CCl}_2$  фрагменте.  $\text{C}_{13}\text{H}_{12}\text{Cl}_6\text{O}$ , IV, т. кип.  $175$ — $177^\circ/\text{1мм}$ ,  $n_D^{20}=1,5495$ ,  $R_f=0,7$ . При стоянии кристаллизуется.

$\text{C}_{13}\text{H}_{12}\text{O}_2\text{Cl}_7$ , IIIa, т. пл.  $70$ — $71^\circ\text{C}$ ,  $R_f=0,48$ . Выход—65,4%  
 $\text{C}_{13}\text{H}_{12}\text{O}_2\text{Cl}_8$ , IIIb, т. кип.  $209$ — $215^\circ\text{C}$ , т. пл.  $49$ — $51^\circ\text{C}$ ,  $R_f=0,65$ .

Выход—60,1%.  
 $\text{C}_{16}\text{H}_{11}\text{O}_2\text{Cl}_9$ , IIIc, т. пл.— $187^\circ/\text{C}$ ,  $R_f=0,63$ . Выход—54,5%.

В соответствии с литературным указанием [6] о доступности для атаки диеном только  $\beta$ -стороны бициклогептенового кольца следует ожидать только эндо-сочленения гексахлорцикlopентадиенового кольца с бициклогептеновым по отношению дихлорметиленового мостика. Последнее обусловлено уплощенностью бициклогептенового кольца в диенофилах, что исключает возможность образования промежуточного комплекса при атаке диена с  $\alpha$ -стороны бициклогептенового кольца.

Результаты ПМР-спектра аддукта IIIc полностью подтверждают сказанное. Из параметров спектра, их спин-спиновых взаимодействий можно сделать вывод об эндо-эндо конфигурации аддуктов.

#### ЭКСПЕРИМЕНТАЛЬНАЯ ЧАСТЬ

ИК-спектры снимались на приборе UR-20. Хроматография проведена на аппарате марки ЛХМ-8МД газоноситель—гелий; скорость—40  $\text{мл}/\text{мин}$ , адсорбент—полиэтиленгликольсукинат—д/х, пропитанный на 5% динохрома, температура колонки— $170^\circ\text{C}$ , длина колонки—3 м. Спектры ЯМР снимали на приборе "Tesla" BS487B, мощностью 80 гц, в четыреххлористом углероде с ГМДС в качестве внутреннего стандарта. ТСХ-система растворителей—гептан-ацетон—20:14, адсорбент—окись алюминия II степени активности, проявитель УФ-свет.

Аддукты a, b, в были получены по методике, указанной в предыдущей работе [5].

Синтез 1, 2, 3, 4, 11, 11-гексахлортетрацикло-(2,2,1,0)-2-додецен-8-метиловых эфиров хлоруксусных кислот IIIa—v. Эквимолекулярная смесь реагирующих компонентов загружалась в ампулу и нагревалась в печи при  $130^\circ\text{C}$  в течение 15 ч. В ампулу добавлялось небольшое количество гидрохинона. По истечении времени реакции ампула вскрывалась и продукты реакции подвергались вакуумной разгонке. Физико-химические константы нами были приведены.

#### Выводы

1. Конденсацией бициклических эфиров Ia—v с гексахлорцикlopentadiеном получены новые тетрациклические аддукты IIIa—v.
2. Для полученных бициклических Ia—v и тетрациклических IIIa—v установлена пространственная конфигурация.

#### Литература

1. Вольфсон Л. Г., Мельников И. Н. и др. ДАН СССР, 105, 1252, 1955.
2. Платэ А. Ф. и др. Изв. АН СССР, ОХН, 219, 1947. З. Alder K. Stein R. App., 52, 201, 1926.
3. Кукаленко С. С., Мельников И. Н. ЖОХ, т. 28, 154, 157, 1958.
4. Гусейнов М. М., Кязимова Т. Г. и др. Азерб. хим. ж., № 3, 39, 19, 3, 6. Прилежаева Е. Н., Азовская В. А., Петухова Н. П. ЖоргХ, вып. т. 4, 1968, 4, стр. 621.

#### СФИНХП

Поступило 28. VI 1977

Т. б. Казымова, Р. С. Бабаев, А. Э. Бајрамов  
ХЛОРСИРКЭ ТУРШУЛАРЫ АЛЛИЛ ЕФИРЛЭРИНИН ТСИКЛИК ДИЕНЛЭРЛЭ  
ДИЕН КОНДЕНСАСИЯСЫНЫН СТЕРЕОКИМЈАСЫ

Хлорсиркэ туршуларынын аллил ефирилэ тсиклонентадиенин конденслешмәсүндән алыныш аддуктларын—бисикилик ефирилэрин фэза туралуши өјәннелүүшүү, кимјөнүн вә физики методларда аддуктларын эндо конфигурасија маалик олмасы тәсдиig едилемшидир. Мүэjjэн олуимушдур ки, аддуктлар диенофиллик габилийттөн мааликдир вә 1,2,3,4,5,5-гексахлортсикlopentadien. 1,3-лә диен конденсасијасына дахил оларaq тетратсиклик бирлешмәләр эмээлэ көтирир. ПМР методу vasitасылә сурутут олуимушдур ки, бу бирлешмәләр эндо-эндо конфигурасија мааликдир.

T. G. Kyazimova, R. S. Babaev, A. A. Bairamov

THE STEREOCHEMISTRY OF DIENE CONDENSATION OF ALLYL ETHERS OF CHLOROACETIC ACIDS WITH CYCLIC DIENES

The space configuration of bicyclo(2,2,1)—heptene 2-methyl-5-ethers of mono-, di-, and trichloroacetic acids was established. The endo-configuration of adducts was confirmed by chemical and physical methods. These adducts namely bicyclic ethers are easily condensed with hexachlorocyclopentadiene to form tetracyclic compounds—1,2,3,4,11-hexachlortetraacyclo-(2,2,1,0)-2-dodecene-8-methyl ethers of chloroacetic acids. The endo-endo-structure was established for these compounds by PMR-spectroscopy methods.

Д. Б. ТАГИЕВ, чл.-корр. АН Азерб. ССР З. Г. ЗУЛЬФУГАРОВ

## ИССЛЕДОВАНИЕ КАТАЛИТИЧЕСКИХ СВОЙСТВ ПРИРОДНОГО КЛИНОПТИЛОЛИТА В ОКИСЛИТЕЛЬНОМ ДЕГИДРИРОВАНИИ УГЛЕВОДОРОДОВ

Природные цеолиты в основном применяются как селективные адсорбенты для осушки и очистки различных газов [1], поскольку благодаря молекулярным размерам входных окон они проявляют определенную избирательность по отношению к различным молекулам. Известны и другие области применения природных цеолитов, однако их каталитические свойства исследованы недостаточно. Это, по-видимому, связано с тем, что природные цеолиты в отличие от их синтетических аналогов содержат в своем составе в виде примесей различные минеральные породы. Несмотря на этот недостаток, природные цеолиты являются интересными объектами в каталитических исследованиях, т. к. они по термостабильности превосходят своих синтетических аналогов [2] и являются более дешевыми и легкодоступными катализаторами.

Нами проводится систематическое исследование каталитических свойств синтетических и природных цеолитов Азербайджана различной структуры в окислительных превращениях углеводородов. В настоящей работе исследовалась каталитическая активность природного клиноптиолита Айдагского месторождения Азербайджанской ССР в окислительном дегидрировании алкилароматических и циклических углеводородов.

### ЭКСПЕРИМЕНТАЛЬНАЯ ЧАСТЬ

Опыты проводили на проточной установке при атмосферном давлении. В кварцевый реактор загружали 12 мл катализатора, в качестве которого использовали природный клиноптиолит, содержащий 76–80 % цеолита и имеющий следующий состав (вес. %):  $\text{SiO}_2$  66,3;  $\text{Al}_2\text{O}_3$  12,0;  $\text{CaO}$  4,2;  $\text{Na}_2\text{O}$  2,7;  $\text{K}_2\text{O}$  1,1;  $\text{MgO}$  0,6;  $\text{Fe}_2\text{O}_3$  1,2;  $\text{CO}_2$  1,0 и  $\text{H}_2\text{O}$  10,9. Сохранность структуры цеолита после использования в каталитических опытах оценивали по данным рентгеноструктурного анализа. Перед опытом катализатор активировали в токе воздуха при 500°C. В качестве исходных веществ использовали этилбензол, изопропилбензол, циклогексан, циклогексен и воздух, являющийся источником кислорода.

Подачу жидкости в реактор дозировали с помощью автоматического устройства, которое поддерживало постоянную скорость пропускания углеводорода.

Окислительное дегидрирование углеводородов проводили в интервале 325–525°C, мольном отношении кислорода к углеводороду, равным 0,5–1,5 и объемной скорости жидкости 0,5  $\text{ч}^{-1}$ . Отбор проб катализатора производили через каждые 30 мин. Продукты реакции анализировали хроматографическим методом.

### ОБСУЖДЕНИЕ РЕЗУЛЬТАТОВ

Исследование превращения этилбензола и изопропилбензола на природном клиноптиолите показало, что в присутствии воздуха основными продуктами реакции являются алкенилароматические углеводороды,  $\text{CO}_2$  и вода. Другие углеводороды (например, бензол, толуол и т. д.) образуются в небольшой степени, что обеспечивает высокую селективность процесса.

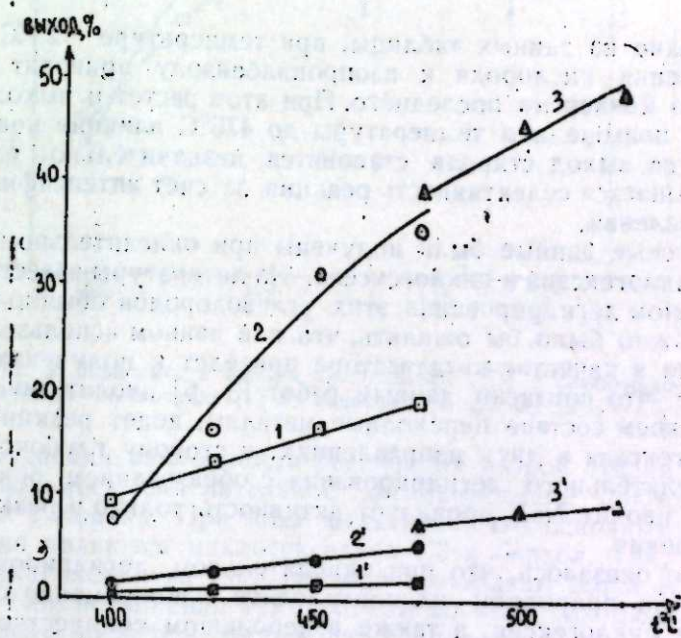


Рис. 1. Зависимость выхода стирола и двуокиси углерода от температуры при  $\text{O}_2$ : этилбензол = 0,5 (1,1'); 1,0 (2,2') и 1,5 (3,3').

На рис. 1 представлены зависимости выходов продуктов реакций окислительного дегидрирования и глубокого окисления этилбензола от температуры. Как видно из рисунка, уже при 400°C наблюдается образование заметных количеств стирола. С повышением температуры выход стирола растет и при 525°C достигает 48,2 % при общей конверсии 60,3 %. Из рисунка также следует, что при низких температурах отношение кислорода к углеводороду мало влияет на выход стирола, однако, при температурах 450–475°C выход стирола почти в два раза возрастает с повышением отношения кислорода к углеводороду от 0,5 до 1,0, а дальнейшее увеличение отношения  $\text{O}_2$ : этилбензол до 1,5 мало изменяет выход как стирола, так и двуокиси углерода. Селективность реакции окислительного дегидрирования этилбензола в исследованных условиях изменяется в интервале 80–93 %.

причем, кроме стирола образуются фактически только двуокись углерода и вода. Даже при 525°C суммарный выход бензола и толуола не превышает 3–5%.

Природный клиноптиолит обладает высокой селективностью также в окислительном дегидрировании изопропилбензола в  $\alpha$ -метилстирол (табл. 1).

#### Окислительное дегидрирование изопропилбензола на природном клиноптиолите

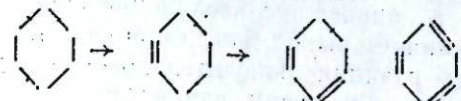
$t^{\circ}\text{C}$	$\text{O}_2:\text{ИПБ}$	Конверсия, %	$\alpha$ -метил стирол, %	$\text{CO}_2$ , %	Селективность, %
425	1,0	15,6	13,2	2,0	85
425	1,5	25,2	21,0	3,8	83
475	1,0	36,1	27,4	6,0	76
475	1,5	39,7	28,0	9,0	70

Как видно из данных таблицы, при температуре 425°C увеличение отношения кислорода к изопропилбензолу приводит к резкому увеличению конверсии последнего. При этом растет и выход  $\alpha$ -метилстирола. С повышением температуры до 475°C влияние концентрации кислорода на выход стирола становится незначительным, однако при этом уменьшается селективность реакции за счет интенсификации глубокого окисления.

Интересные данные были получены при окислительном дегидрировании циклогексана и циклогексена. Из литературы известно, что при окислительном дегидрировании этих углеводородов обычно образуется бензол. Можно было бы ожидать, что и в данном использовании клиноптиолита в качестве катализатора приведет к получению бензола. Тем более, что согласно данным работ [3–6] цеолит типа Y, содержащий в своем составе переходные металлы, ведет реакцию окисления циклогексана в двух направлениях: в сторону глубокого окисления и окислительного дегидрирования с образованием бензола. В то время как цеолит NaY проявляет активность только в реакции глубокого окисления.

Однако оказалось, что при окислительном дегидрировании циклогексана на природном клиноптиолите одновременно с бензolem образуется циклогексен, а также в небольшом количестве циклогексадиен-1,3, причем отношение выходов циклогексена и бензола зависит от температуры реакции. Например, с повышением температуры от 325 до 400°C выход циклогексена растет от 6,8 до 16,1%, а бензола уменьшается от 9,0 до 1,7%, что сказывается на росте селективности образования циклогексена (рис. 2). Дальнейшее повышение температуры до 450°C не приводит к заметному изменению выхода циклогексена. При более повышенных температурах (свыше 475°C) выходы как бензола, так и циклогексена несколько увеличиваются, однако из-за интенсивного протекания побочных процессов реакция становится низкоселективной.

Полученные данные указывают на то, что в отличие от фожазито на клиноптиолите окислительное дегидрирование циклогексана протекает ступенчато по следующей схеме:



Обнаружение указанных соединений в катализате является веским подтверждением в пользу этой схемы. Обращает на себя внимание относительно высокий выход циклогексена, т. е. способность клиноптиолита остановить реакцию на первой стадии указанной схемы, что, по-видимому, связано со структурными особенностями клиноптиолита.

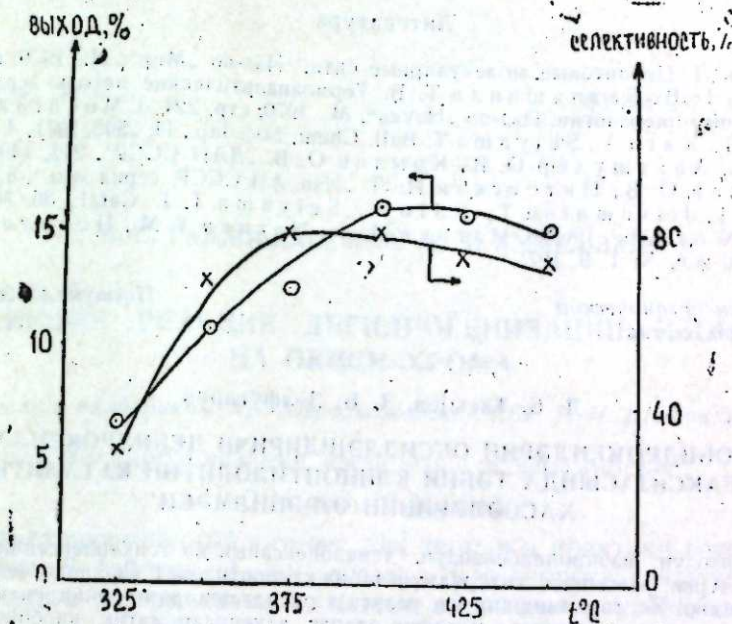


Рис. 2. Зависимость выхода циклогексена (○) и селективности его образования (x) от температуры при  $\text{O}_2:\text{C}_6\text{H}_{12}=1,0$ .

Для выяснения возможности реализации второй стадии указанной схемы проводилось окислительное дегидрирование циклогексена в аналогичных условиях. При этом оказалось, что основными продуктами реакции являются циклогексадиен-1,3 и бензол. Так, при 425°C выходы циклогексадиена-1,3 и бензола составляют 6,6 и 10,0% соответственно. При повышении температуры до 475°C наблюдается рост выхода бензола до 25% и уменьшение количества циклогексадиена-1,3 до 3%. Поэтому при температурах выше 425°C селективность образования циклогексадиена-1,3 меняется в интервале 16–33%, что намного ниже селективности образования циклогексена из циклогексана. Надо отметить, что в идентичных условиях количество бензола, образующегося из циклогексена гораздо больше, чем из циклогексана. По-видимому, из-за высокой реакционной способности циклогексадиена-1,3 третья стадия указанной схемы реакции протекает с большой скоростью и полученный диен быстро превращается в бензол.

Таким образом, результаты настоящего исследования указывают на высокую активность и селективность природного клиноптиолита в реакции окислительного дегидрирования алкилароматических и циклических углеводородов. Особенno ценным свойством клиноптиолита является способность остановить реакцию на любой стадии (например, на стадии получения циклогексена), что позволяет получить реакционноспособные непредельные углеводороды путем прямого катализитического синтеза. Из литературы известны способы получения цикло-

гексена из циклогексана в присутствии окислов азота при высоких температурах [7,8]. Применение же природного клиноптилолита в качестве катализатора позволяет вести процесс при более низких температурах, исключать необходимость использования ядовитых окисляющих агентов и тем не менее достичь высокой селективности образования циклогексена.

#### Литература

- Брек Д. Цеолитовые молекулярные сита. Изд-во "Мир". М., 1976, стр. 11.
- Гвахария Г. В., Батиашвили Т. В. Термоаналитические методы исследования в современной минералогии. Изд-во "Наука", М., 1970, стр. 224.
- Мосчилда J. J., Jitsumatsu T., Като А., Сэйяма Т. Bull. Chem. Soc. Jap., 44, 2595, 1971.
- Цитовская И. Л., Альтшуллер О. В., Крылов О. В. ДАН СССР, 212, 1400, 1973.
- Альтшуллер О. В., Цитовская И. Л. Изв. АН СССР. серия хим., 825, 1974.
- Мосчилда J. J., Jitsumatsu T., Като А., Сэйяма Т. J. Catal., 36, 361, 1975.
- Пат. США № 3,413,366, 1968.
- Нагиев М. Ф., Нагиев Т. М., Поладова Л. М. Азерб. хим. ж., № 1, 9, 1975.

Институт неорганической  
и физической химии

Поступило 28. IV 1977

Д. Б. Тагиев, З. Г. Зулфугаров

#### КАРБОНИДРОКЕНЛЭРИН ОКСИДЛЭШДИРИЧИ ДЕЙДРОКЕНЛЭШМЭ РЕАКСИЯСЫНДА ТЭБИЙ КЛИНОПТИЛОЛИТИН КАТАЛИТИК ХАССЭЛЭРИНИН ӨЈРЭНИЛМЭСИ

Етилбензолун, изопропилбензолун, тсиклохексанын вэ тсиклохексенин нава ишираакы илэ Ајдаг ятагындан көтүрүлмүш тэбий клинотилолит үзэриндэ чеврилмэлэри өјрэнимшишдир. Көстэрлимишдир ки, реаксија оксидлэшдирчи дейдирокенлэшмэ истигамэтэндэ кедир вэ иэтчээдэ мӯвағиг олараг алкенипараматик карбонидрокенлэр вэ тсиклохексенэ тсиклохексадиен алныры. Мэглэдэ реаксија температуруну вэ окискенин карбонидрокенэ олан иисбэтийн катализаторуи активилижна вэ селективлижна тэсир и өјрэнимшишдир.

D. B. Tagiyev, Z. G. Zulfugarov

#### THE INVESTIGATION OF THE CATALYTIC PROPERTIES OF THE NATURAL CLINOPTILOLITE IN OXIDATIVE DEHYDROGENATION HYDROCARBONS

The conversion of ethylbenzene, isopropylbenzene, cyclohexane and cyclohexene as natural zeolite as clinoptilolite from the Aidag was investigated. It was shown that the main direction of the conversion of ethylbenzene and isopropylbenzene was the oxidative dehydrogenation with forming styrene and  $\alpha$ -methylstyrene. But the cyclohexene was formed as the result of oxidative dehydrogenation of cyclohexane.

АЗЭРБАЙЧАН ССР ЕЛМЛЭР АКАДЕМИЯСЫНЫН МЭРҮЗЭЛЭРИ  
ДОКЛАДЫ АКАДЕМИИ НАУК АЗЕРБАЙДЖАНСКОЙ ССР  
ТОМ XXXIII ЧИЛД № 12

1977

УДК 66. 094. 187.3

#### ФИЗИЧЕСКАЯ ХИМИЯ

В. С. ГАДЖИ-КАСУМОВ, М. Д. АХМЕД-ЗАДЕ

#### О МЕХАНИЗМЕ РЕАКЦИИ ДЕГИДРОГЕНИЗАЦИИ ИЗОПЕНТАНА НА ОКИСИ ХРОМА

(Представлено академиком АН Азербайджанской ССР Т. Н. Шахтахтинским)

Реакция дегидрогенизации изопентана в изоамилены



представляет несомненный интерес для теории и практики гетерогенного катализа. В работах [1–3] показано, что скорость реакции (1) на окиси хрома в безградиентной системе описывается уравнением:

$$\omega = k \frac{P_{i\text{-C}_5\text{H}_{10}}}{P_{t\text{-C}_5\text{H}_{12}}} \quad (2)$$

В настоящем сообщении приведены результаты комплексного изучения механизма реакции (1) с применением кинетического и изотопных методов.

#### ЭКСПЕРИМЕНТАЛЬНАЯ ЧАСТЬ

Опыты проводили в безградиентном реакторе с поршневым турбулизатором [4] на предварительно восстановленном водородом окиснохромовом катализаторе. При изучении реакции  $n$ - $\sigma$ -конверсии водорода концентрация  $n$ -водорода определялась методом теплопроводности. Степень превращения в реакции (1) рассчитывали хроматографически. Анализ продуктов реакции изотопного обмена водорода в изопентане и изоамиленах с дейтерием выполняли на масс-спектрометре МХ-1303. Дейтериозопентан получен препаративным путем, содержание основного вещества  $\sim 90.5\%$ . Все опыты повторяли на воспроизводимость, постоянство активности катализатора строго контролировали.

#### РЕЗУЛЬТАТЫ ОПЫТОВ И ИХ ОБСУЖДЕНИЕ

Для выяснения роли десорбции водорода в суммарном процессе скорость реакции (1) сравнивалась со скоростью реакции  $n$ - $\sigma$ -конверсии водорода



на том же катализаторе в идентичных условиях. Реакция (3) была изучена в температурном интервале 350–600°C и скорости потока

водорода (в пересчете на реакционноспособную  $\pi$ -модификацию  $1', 2 \text{ л/ч}$ , что значительно превышает скорость выделения водорода в реакции (I). Степень превращения в реакции (3) вплоть до температуры  $400^\circ\text{C}$  составляла 100%, а количество прореагировавших молекул водорода —  $3,01^{23}$  в 1 ч.

Дегидрогенизации при этом подвергается не более  $1,02 \cdot 10^{22}$  молекул изопентана/ч [2,3]. Следовательно, стадия десорбции водорода не может являться лимитирующей в реакции (I). Специальными опытами показано также, что адсорбция водорода в условиях протекания реакции дегидрогенизации незначительна.

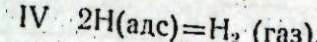
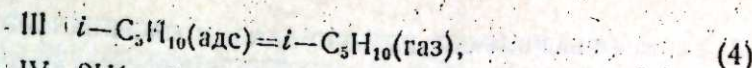
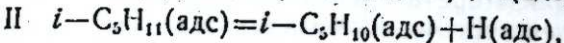
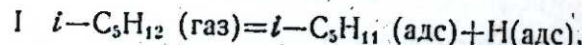
В опытах по изучению реакций изотопного обмена водорода в изопентане и изоамиленах с дейтерием при  $250$ — $575^\circ\text{C}$  мольное соотношение углеводорода в дейтерии, который одновременно является и газоносителем, варьировали от 1:4 до 1:9. Изоамилены начинают обмениваться с дейтерием уже при  $250^\circ\text{C}$  и скорость их обмена существенно превышает аналогичную величину для изопентана, т. е. олефинальный углеводород в данном случае десорбируется с поверхности быстрее, чем исходный парафин. Так, например, при  $520^\circ\text{C}$  степень изотопного обмена изопентана оказывается равной 15%, в то время как уже при  $400^\circ\text{C}$  степень изотопного обмена изомиленов достигает 50%. Степень изотопного обмена изопентана снижается при введении изоамиленов в реакционную зону, что согласуется с кинетическими данными [1—3]. Распределение продуктов изотопного обмена изопентана является типичным для окисных катализаторов (преобладает простой обмен).

Величины кинетических изотопных эффектов (КИЭФ) в реакции (I) при замене изопентана на дейтероизопентан рассчитывали из соотношения соответствующих констант скоростей для соединений с легким и тяжелым изотопами в температурном интервале  $510$ — $530^\circ\text{C}$ . Найденные нами значения КИЭФ = 1,6—1,7 указывают на разрыв в медленной стадии процесса связей C—H.

Для реакции дегидрогенизации изобутана в изобутилен на этом же катализаторе, описываемой уравнением 1-го порядка, ранее [5] была предложена стадийная схема реализации процесса в области малых заполнений поверхности при лимитирующей стадии — диссоциативной адсорбции исходного углеводорода (с одновременным отщеплением обоих водородных атомов). Принятию подобной медленной стадии в реакции дегидрогенизации изопентана в изоамилены отвечало бы тогда кинетическое уравнение в области больших заполнений поверхности [6]. Однако такое резкое изменение величин заполнений поверхности при замене изобутана на изопентан, по нашему мнению, значительно менее вероятно, чем возможность более плавного перехода реакции (I) в область средних заполнений.

Отметим, что механизм реакции дегидрогенизации изобутана на окси хрома включает, по мнению Хаппела с сотр. [7], стадию диссоциативной адсорбции парафина с образованием и быстрым последующим разложением полугидрированных форм. Стадией, лимитирующей скорость реакции, является хемосорбция молекул изобутана. Последнее предложение справедливо только в том случае, если величина КИЭФ близка к 1.

Исходя из изложенного, механизм реакции (I) можно представить схемой:



При протекании процесса в области средних заполнений равномерно-неоднородной поверхности катализатора и одинаковом изменении теплот образования всех поверхностных соединений при переходе от одного участка поверхности к другому [6] скорость реакции (I) описывается следующим уравнением (если лимитирующей является 1-ая стадия):

$$\omega = \kappa \frac{P_{i-\text{C}_5\text{H}_{11}}}{(a_1 P_{i-\text{C}_5\text{H}_{11}} + a_2 P_{i-\text{C}_5\text{H}_{10}} + a_3 P_{\text{H}_2})^2} \quad (5)$$

Уравнение (5) согласуется с уравнением (2) (при)

$$a_1 P_{i-\text{C}_5\text{H}_{11}} + a_3 P_{\text{H}_2} \ll a_2 P_{i-\text{C}_5\text{H}_{10}} \text{ и } \alpha = 0,5.$$

Схема (4) вполне приемлема также для интерпретации закономерностей, полученных нами ранее для реакции дегидрогенизации изобутана [5].

#### Литература

- Ахмед-заде М. Д., Гаджи-Касумов В. С. Кинетические закономерности реакции дегидрогенизации изопентана в изоамилены. Мат-лы научной конф. аспирантов АН Азерб. ССР. Изд-во "Элм". Баку, 1973, стр. 51. 2. Ахмед-заде М. Д. Канд. дисс. Кинетика дегидрогенизации изобутана и изопентана на алюмохромовом катализаторе. Баку, ИТПХТ. 1975. 3. Гаджи-Касумов В. С., Дадашев Б. А., Ахмед-заде М. Д. О торможении изоамиленов на скорость реакции дегидрогенизации изопентана. "Вопросы нефтехимии", вып. VII. Изд-во "Элм". Баку, 1976, стр. 27. 4. Тимошенко В. И., Буянов Р. А., Прошин О. И. Безградиентный реактор для изучения кинетики процессов на катализаторах, быстро изменяющих активность. "Кинетика и катализ", 1969, т. 10, № 3, 681. 5. Гаджи-Касумов В. С., Дадашев Б. А., Ахмед-заде М. Д. О кинетике дегидрогенизации изобутана на алюмохромокалиевом катализаторе в безградиентной системе. "Процессы с участием молекулярного водорода". Изд-во ИК СООН СССР. Новосибирск, 1973, стр. 125. 6. Киперман С. Л. Введение в кинетику гетерогенных катализитических реакций. Изд-во "Наука" М., 1964. 7. Наррелл, Камхолс К., Уэлш Д., Страплан. V. Kinetics of the Isobutane—Isobutene—Hydrogen System Using Tracers. Ind. Eng. Fundam., vol. 12, № 3, 1973, 263.

ИИХП и м. Ю. Г. Мамедалиева

В. С. Ыачыгасымов, М. Д. Эймәдзәде

#### ХРОМ-ОКСИДИ ҮЗӘРИНДӘ ИЗОПЕНТАНЫН ДЕНИДРОКЕНЛӘШМӘ РЕАКСИЯСЫНЫН МЕХАНИЗМИ

Кинетик ва изотоп үсулларынын тәтбиғи илә хром-оксиди катализатору үзәриндә изопентанын изоамилендерә денидрокенләшмә реаксијасынын мұхтәлиф мәрінәләринин сүр'әтләринин мұнасаныбыти өзөнни мишишdir. Лимит мәрінәлә олан ярымнайдынлайтын мәрінәләшмәнин формалынын эмәлә көмәсін просеси сәттүн орта долма областында кедир.

V. S. Gadzhi-Kasumov, M. D. Akhmed-zade  
ON MECHANISM OF ISOPENTANE DEHYDROGENATION REACTION  
OVER CHROMIUM OXIDE

There have been estimated the relations of separate steps rates of dehydrogenation of isopentane to isoamylenes over chromium oxide catalyst using kinetic and isotope techniques.

The process proceeds in the region of medium surface filling at rate-controlling step—the formation of half-hydrogenated species.

УДК 553.982 : 51.011.57

ГЕОЛОГИЯ НЕФТИ И ГАЗА

Л. А. БУРЯКОВСКИЙ

**ТЕОРЕТИЧЕСКАЯ МОДЕЛЬ РАСПРЕДЕЛЕНИЯ ЗАПАСОВ  
УГЛЕВОДОРОДОВ В НЕДРАХ**

(Представлено академиком АН Азербайджанской ССР А. А. Якубовым)

Известно, что распределение залежей нефти и газа по величине запасов описывается правоасимметричными логнормальными кривыми.

Является ли логнормальный закон распределения запасов углеводородов в недрах теоретически обусловленным или он есть результат лишь эмпирического обобщения? Возможно ли создание теоретической априорной модели, совпадающей с эмпирическими апостериорными данными? С нашей точки зрения, такая задача представляет значительный интерес и может дать теоретическое обоснование практическим выводам о прогнозировании залежей нефти и газа.

Воспользуемся в качестве теоретической модели так называемой моделью пропорциональных эффектов или моделью органического роста.

Допустим, что скорость аккумуляции углеводородов в залежи, т. е. скорость роста залежи, пропорциональна величине объема данной залежи  $V$  в момент времени  $t$ . Тогда, приращение объема залежи  $dV$  будет равно:

$$dV = kVdt, \quad (1)$$

где  $k$  — коэффициент пропорциональности.

После разделения переменных и интегрирования, получаем

$$\ln V - \ln C = kt.$$

Положим, что в момент времени  $t=0$   $C=V_0$ , откуда

$$\ln \frac{x}{V_0} = kt$$

или

$$V = V_0 e^{kt} \quad (2)$$

Как видно, объем залежи распределен по логнормальному закону, тогда как время имеет нормальное распределение.

К логнормальному закону распределения объемов залежей углеводородов можно подойти и по-иному.

Допустим, что разность объемов в последовательные моменты времени  $t_i$  и  $t_{i-1}$ , равных соответственно  $V_i$  и  $V_{i-1}$ , пропорциональна объему в предыдущий момент  $t_{i-1}$ , т. е. величине  $V_{i-1}$ . Тогда

$$V_i - V_{i-1} = k_i V_{i-1}, \quad (3)$$

где  $k_i (i=1, 2, \dots, n)$  — независимые случайные коэффициенты пропорциональности.

Суммируя отдельные последовательные объемы в моменты времени  $t_i (i=1, 2, \dots, n)$ , получим

$$\sum_{i=1}^n \frac{V_i - V_{i-1}}{V_{i-1}} = \sum_{i=1}^n k_i$$

Если приращения объемов достаточно малы, а моментов времени взято много ( $n \rightarrow \infty$ ), то

$$\sum_{i=1}^n \frac{V_i - V_{i-1}}{V_{i-1}} \rightarrow \int_{V_0}^{V_n} \frac{dV}{V} = \ln V_n - \ln V_0$$

Отсюда

$$\ln \frac{V_n}{V_0} = \sum_{i=1}^n k_i$$

или

$$V_n = V_0 e^{\sum k_i}, \quad (4)$$

т. е. мы приходим к логнормальной модели распределения объемов залежей. Эта же модель может быть представлена как модель умножения, поскольку в силу (3)  $V_i = (1+k_i)V_{i-1}$ , откуда

$$V_n = V_0 \prod_{i=1}^n (1+k_i).$$

Полученной модели можно дать следующую интерпретацию. Пусть  $V_0$  — «первоначальный» объем залежи (или скопления углеводородов), подчиняющийся какому-то начальному закону распределения с плотностью  $g(V)$ , причем  $V_0$  близко к константе, т. е. объемы первоначальных углеводородных скоплений близки между собою в различных геологических условиях. Пусть  $k_i$  — величины воздействия различных природных факторов на первоначальный объем в моменты времени  $t_i (i=1, 2, \dots, n)$ . Формально воздействие состоит в том, что первоначальный объем получает случайный множитель  $k > 1$ , поскольку происходит рост залежи. Разумно допустить, что случайные воздействия, реализованные в виде множителей  $k_i$ , не зависят друг от друга и от уже достигнутого объема залежи.

В случае разрушения залежи, т. е. уменьшения ее объема, коэффициенты  $k_i < 1$ , что не нарушая логнормальности распределения  $V_n$ , обращает процесс роста в процесс разрушения.

Как видно, процесс роста или разрушения залежей углеводородов в последовательные моменты времени удовлетворяет условиям теории цепей Маркова.

Разумно наложить на рассмотренную модель ограничение, обусловленное тем, что объемы залежей не могут увеличиваться беспрепятственно, как следует из выражения (2), а ограничиваются геометрическими размерами ловушек. Если предельный объем ловушки обозначить через константу  $B$ , то модель пропорциональных эффектов (1) преобразуется к виду

$$dV = kV(B-V)dt, \quad (5)$$

откуда получаем

$$\ln \frac{(B-V_0)V}{V_0(B-V)} = Bkt$$

или

$$\frac{(B-V_0)V}{V_0(B-V)} e^{Bkt} \quad (6)$$

Последнее есть уравнение логистической кривой с двумя асимптотами  $V' = V_0$  и  $V'' = B$  и может быть представлено в виде

$$V = \frac{BV_0 e^{Bkt}}{B - V_0(1 - e^{Bkt})}. \quad (7)$$

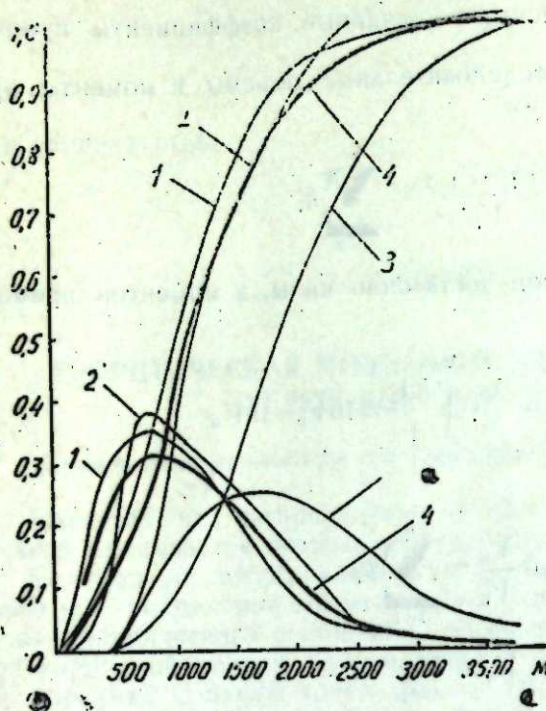
Из (5) и (7) следует, что темп роста залежи будет замедляться по мере приближения ее объема к предельному объему ловушки  $B$ .

Дифференциальные и интегральные кривые распределения газовых (1), нефтегазовых (2), газоконденсантных (3) и общего количества залежей (4) по интервалам глубин.

На закон распределения размеров ловушек можно не накладывать никаких ограничений (принять его в первом приближении нормальным), поскольку соотношение между объемом залежи и временем ее формирования независимо от этого закона остается во всех случаях экспоненциальным.

Если признать справедливой ступенчатую миграцию углеводородов, то очевидно, что после заполнения одной из передовых ловушек ( $V_1 \rightarrow B_1$ ) начинают заполняться последующие ( $V_1 \rightarrow B_1$ ) и характер формирования линейной зоны нефтегазонакопления можно изобразить в виде последовательно сопряженных логистических кривых, расположенных ступенчато одна над другой. Например, такой характер распределения наблюдается вдоль регионального восстания пластов антиклинальных зон Апперонского архипелага.

Рассмотренные модели распределения запасов в недрах получены как функции времени. Однако в геологическом пространственно-временном континууме понятие пространства и времени зачастую являются синонимами. Так, обычно в нормальном залегании более древние породы являются наиболее погруженными, поэтому полученные модели могут рассматриваться и в функции пространства и, в частности, вдоль одной вертикальной или горизонтальной координаты в за-



висимости от направления миграции углеводородов. В связи со скрытым, очевидно, что преобладание количества залежей по глубине логнормальному закону. В справедливости этого тезиса легко убедиться рассматривая рисунок, который построен по данным 542 газо-нефтегазовыми (с газовыми шапками) и 77 газоконденсатными. Характерно, что для газовых залежей средняя глубина составляет 1080 м, для газовых шапок — 1260 м и для газоконденсатных — 1960 м. По-видимому, для газовых скоплений вследствие высокой миграционной способности газа вертикальное направление миграции является более вероятным. Что касается нефтяных залежей, то для них может иметь место преобладание латеральной миграции.

В заключение интересно отметить, что формула подсчета запасов нефти объемным методом представляет собою модель умножения, которая хорошо описывается логнормальным законом.

Теоретическая модель распределения залежей углеводородов по величине запасов может рассматриваться как модель формирования газонефтяных залежей и служить теоретической основой для прогнозирования.

ИПГИМ

Поступило 18. III 1977

Л. А. Буряковский

## ЖЕРАЛТЫ КАРБОНИДРОКЕН ЕҢТИЈАТЛАРЫНЫН ПАЈЛАНМАСЫНЫН НӘЗӘРИ МОДЕЛИ

Кестәрилүү ки, карбонидрокен еңтијатларынын јер алтында емприк пајланмасы логнормал гануна табедир ки, бу да мүтәнасиб еффект әсасында жаралыштыр.

Һәмин бу моделлэр дә жатагы инкишашына вә дағылымасына тә'сир едән садә бир моделә—еффектләрнің артымы моделинән кәтириб чыхары.

Жатагы бөјүмәсийин һөвзәнин өлчүләри илә тәбии оларга һудудламасына баһмајараг, мұстәсна наалларда һәтта інешен жатагларын әмәлә көлмәсінә дә маңа олмур. Сөйләнілән інәзәријә Совет Иттиғагынын 542 газ, нефт-газ вә газ-конденсат жатагларынын тимсалында тәсдиқ олупмушулар.

L. A. Buryakovskiy

## THEORETICAL MODEL FOR DISTRIBUTION OF HYDROCARBON RESERVES IN ROCKS

The author has shown that the empirical distributions of hydrocarbon reserves in rocks satisfy well enough the lognormal law which is formed on the base of a model of proportional effects that leads to a simple model of multiplying effects, influencing of the deposit growth by the trap sizes, that still doesn't hinder the formation of giant deposits as an exception.

The above mentioned theoretical statements are affirmed on an example of the distribution of 542 gas, oil-gas and gascondensate deposits of the Soviet Union.

УДК 553. 982. 04

ГЕОЛОГИЯ

Ч. А. СУЛТАНОВ

**МЕТОД ОЦЕНКИ НАЧАЛЬНЫХ БАЛАНСОВЫХ ЗАПАСОВ НЕФТИ  
ДЛЯ ДЛИТЕЛЬНО РАЗРАБАТЫВАЕМЫХ НЕФТЯНЫХ ЗАЛЕЖЕЙ**  
(на естественном режиме без газовой шапки)

(Представлено академиком АН Азербайджанской ССР Ш. Ф. Мехтиевым)

Известны способы оценки начальных балансовых запасов нефти по геолого-геофизическим, промысловым и лабораторным исследованиям на основе материалов, полученных при бурении многочисленных скважин. Имеются два метода подсчета балансовых запасов нефти:

Оба метода описаны в [1].

Первый метод основан на определении объема вмещающих пород, подсчета объема коллектора, нефтегазоносности, плотности, объемного коэффициента пластовой нефти; второй—на изучении изменения физических параметров нефти, воды и газа, содержащихся в пласте, в зависимости от изменения пластового давления в процессе разработки.

Оба способа требуют проведения комплекса геолого-геофизических и промысловых исследований в скважинах и позволяют оценить балансовые запасы после бурения и испытания значительного количества разведочных скважин или изучения пластового давления, газового фактора, добычи нефти и др. в процессе разработки, что по длительно разрабатываемым залежам не всегда осуществляется.

Предлагаемый метод отличается от уже известных тем, что балансовые запасы оцениваются по конечной нефтеотдаче, определенной с помощью множественной корреляционной зависимости, составленной по известным залежам.

Метод основан на том, что в длительно разрабатываемых на естественном режиме залежах, без газовой шапки при одинаковой системе разработки, переуплотненной сетке скважин и максимальных отборах из них, конечная нефтеотдача зависит только от свойств пород-коллекторов и насыщающих их флюидов. Применение этого метода позволяет дать количественную оценку балансовых запасов залежей, находящихся в длительной эксплуатации, по которым отсутствует необходимая геолого-геофизическая и промысловая информация, необходимая для определения объемных характеристик.

Преимущество предлагаемого метода заключается в том, что для оценки начальных запасов нет необходимости оценивать первоначальный объем залежи, а достаточно определить с помощью многомерной

зависимости конечную нефтеотдачу по физическим свойствам пород-коллекторов и вязкости нефти.

Далее, по одному из известных методов (М. И. Максимова, Б. Ф. Сазонова, кривым накопления) определяются остаточные извлекаемые запасы, а затем с учетом накопленной добычи оцениваются балансовые запасы нефти [2].

$$Q_6 = \frac{(Q_{\text{доб}} + Q_{\text{ост-изв.}})}{\eta_k},$$

где:  $Q_6$ —балансовые запасы нефти;  $Q_{\text{доб}}$ —добытая нефть;  $Q_{\text{ост-изв.}}$ —остаточные извлекаемые запасы нефти;  $\eta_k$ —конечный коэффициент нефтеотдачи.

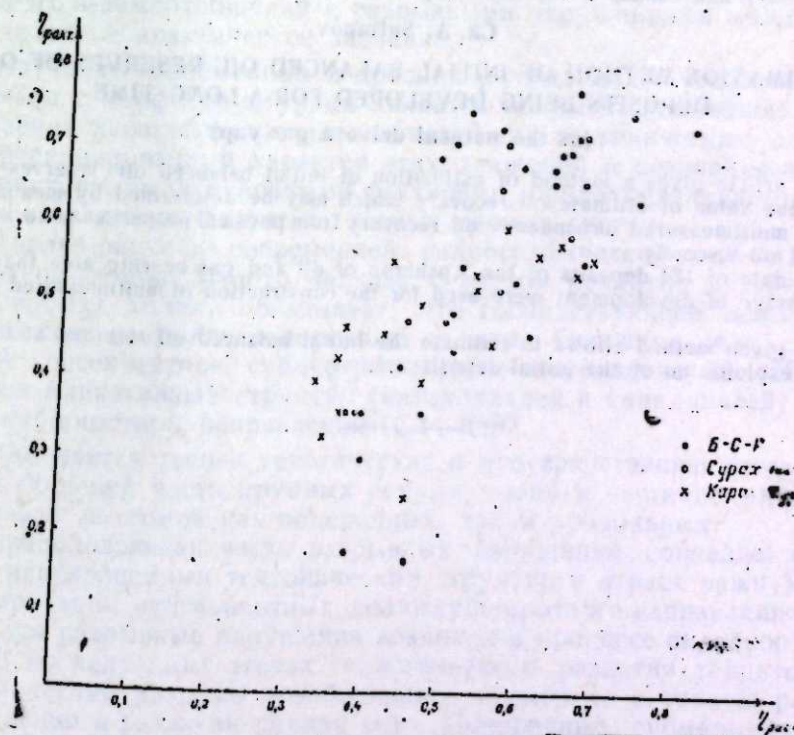
Для построения эталонной множественной зависимости исследованы данные 134 залежей нефти основных месторождений Апшеронского полуострова: Балаханы—Сабунчи—Раманинского, Сураханского, Бибиэйбатского, Калинского, Бинагадинского, Маштаги—Бузовнинского, Чахнаглярского, Сулутепинского, Шабандагского, Карабухурского и др.

Для составления статистической модели были использованы материалы по 80 залежам, а по 54 (Балаханы—Сабунчи—Раманинского, Сураханского и Карабухурского месторождений)—для экзамена.

Полученная модель имеет вид:

$$\eta_k = 0,0051 \Pi - 0,0063 Q_n + 0,0002(\mu - 10,6)^2 + 0,0059(\mu - 10,6) \\ (Q_n - 37,9) + 0,0004(P - 5,8)(\Pi - 37,7) + 0,49,$$

гд;  $\eta_k$ —конечный коэффициент нефтеотдачи;  $\Pi$ —песчанистость, %;  $Q_n$ —величина цементирующего вещества (карбонатность+IV фракция гранулометрического состава), %  $\mu$ —вязкость пластовой нефти,  $\text{спус}$ ;  $P$ —расщепленность.



Зависимость между расчетными и фактическими величинами конечной нефтеотдачи

Коэффициент множественной корреляции составляет 0,82.  
Для экзамена по полученной модели были подсчитаны коэффициенты конечной нефтеотдачи и сопоставлены с величинами, утвержденными ГКЗ. Полученная зависимость представлена на рисунке.

Величины суммарных запасов, утвержденных ГКЗ по залежам, взятым для выборки и по полученной модели близки между собой, ошибка составляет 4,8%.

Одним из достоинств предложенного метода является возможность подсчета начальных балансовых запасов нефти в поздней стадии эксплуатации, без определения первоначального объема залежи.

#### Литература

1. Жданов М. А., Лисунов В. Р., Гришин Ф. А. Методика и практика подсчета запасов нефти и газа. «Недра». М., 1967.
2. Методическое руководство по определению нефтеотдачи пластов. «Недра». М., 1964.

ИПГНГМ

Поступило 24.V.1977

Ч. Э. Султанов

#### УЗИН МҮДДЭТ ИШЛЭНМИШ НЕФТ ЯТАГЛАРЫНДА НЕФТИН ИЛК БАЛАНС ЕҮТИЈАТЫНЫН ГИЈМЭТЛЭНДИРИЛМЭСИ МЕТОДУ

(Газ ятагы олмајан тәбии режимдэ)

Мэгэлэдэ Апшерон нефти-газлы саһәснүүд јерлэшэн, ишлэмэнни сон мэрхэлэснүүд олан 134 ятаг учун нефтвэрмэнин, лај коллекторларынын физики хассэлэрийн эзлүүлжүүлээн чох өвлчүү станлон асылылыгы гурулмушудур. Буунү эсэснүүд сон нефтвэрмэ эмсалы тэ'жин едилмийшидир. Бу да лајын илк нэччиний тэ'жин итмэдээн онун илк баланс еүтијатыны гијмэтлэндирмээ имкан-верир.

Ch. A. Sultano

#### ESTIMATION METHOD OF INITIAL BALANCED OIL RESERVES OF OIL DEPOSITS BEING DEVELOPED FOR A LONG TIME

(at the natural drive a gas cap)

The article gives a method of estimation of initial balanced oil reserves according to the value of ultimate oil recovery which may be determined by means of the standard multimeasured dependence oil recovery from physical properties of rocks-reservoirs and oil viscosity.

The data of 134 deposits of the Apsheron of oil and gas bearing area that are at the late stage of development were used for the construction of multimeasured connection.

The given method allows to estimate the initial balanced oil reserves at the late stage of exploitation of the initial deposit volume.

УДК 551.4:551.24:553

ГЕОГРАФИЯ

Н. Ш. ШИРИНОВ, В. А. КУЛУЗАДЕ

#### О ПРИУРОЧЕННОСТИ РЕЧНЫХ ДОЛИН К ЛИНИЯМ ТЕКТОНИЧЕСКИХ НАРУШЕНИЙ И О ВОЗМОЖНОЙ РУДОГЕНЕТИЧЕСКОЙ РОЛИ НЕКОТОРЫХ ИЗ НИХ (на примере северо-восточного склона Малого Кавказа)

(Представлено академиком АН Азербайджанской ССР А. А. Ализаде)

Закономерности пространственного размещения эндогенных месторождений и рудопроявлений на северо-восточном склоне Малого Кавказа, наряду с другими факторами, обусловлены и разрывными нарушениями. В связи с этим детальное изучение речных долин и выяснение их взаимоотношений с разрывными нарушениями может иметь определенное практическое значение.

Изучение современных и древних речных долин, соотношение их рисунков с морфоструктурами является одним из важнейших методов выявления характера проявления новейших тектонических движений. Дифференцированный характер этих движений и созданные ими морфоструктуры были основными факторами, предопределившими характер и направление развития главных речных систем.

Анализ рисунка современной гидрографической сети на северо-восточном склоне Малого Кавказа, с учетом реликтов древних (доплиоценовых) долин, показывает, что господствующее положение в речной сети занимали поперечные долины. Основные речевые долины имеют консеквентное, субмеридиональное направление (С—СВ), тогда как оси пликативных структур (антеклиналей и синеклиналей) вытянуты в субширотном направлении (СЗ—ЮВ).

Намечается тесная генетическая и пространственная связь направления большей части крупных речных долин и частично их притоков с линиями разломов как поперечных, так и продольных.

Преобладающая часть разрывных нарушений совпадает с основными направлениями тектонических структур и играет важную роль в формировании субсеквентных долин субширотного направления. Вероятно, эти разрывные нарушения возникли в процессе складкообразования. В последующих этапах геологического развития территории эти тектонические разрывы возобновились и сыграли активную роль при зарождении и развитии речной сети. Поперечные, субмеридиональные разрывы более молодые и активные. Они образовались после формирования пликативных морфоструктур, хотя нередко наследуют бо-

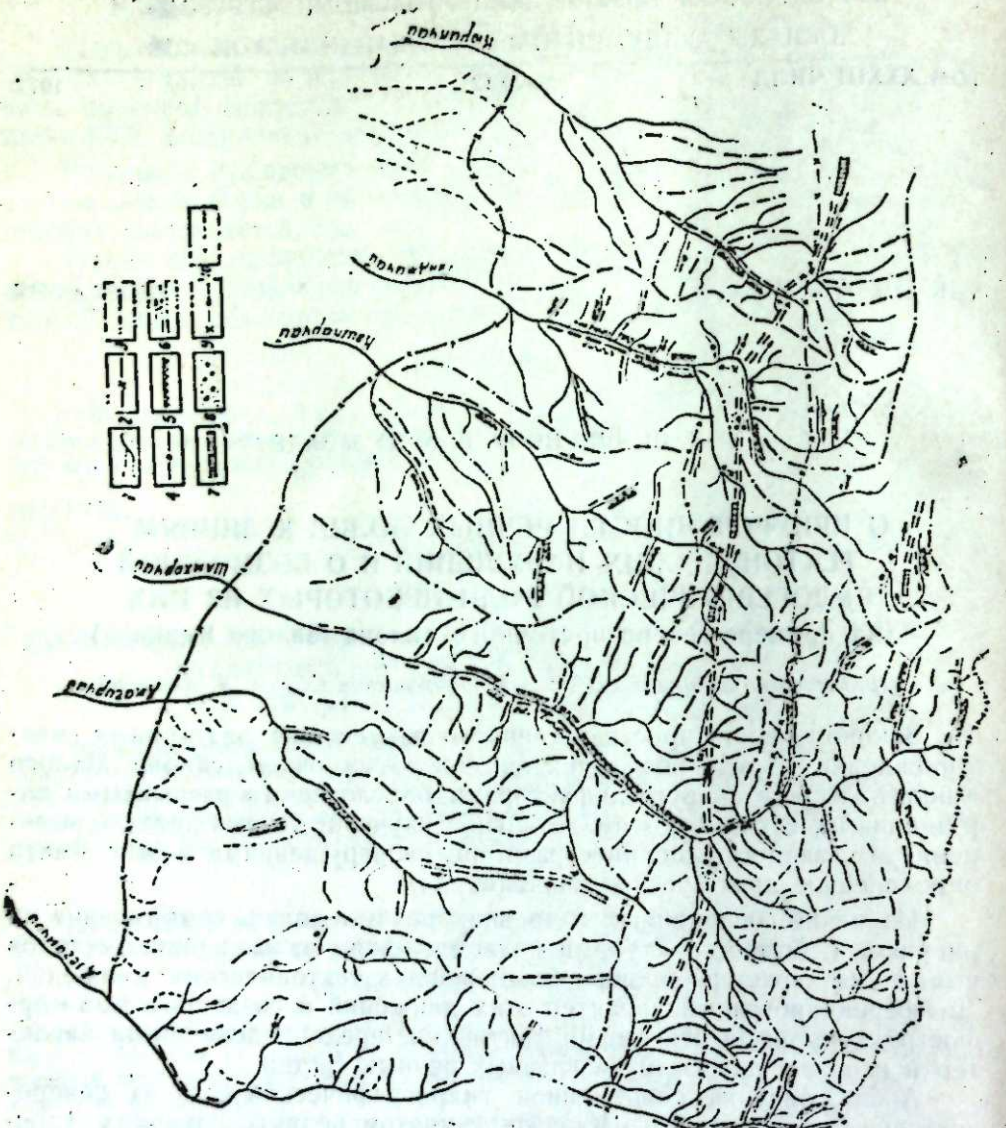


Схема связи речных долин северо-восточной части Малого Кавказа (междуречье Дзегамчай—Коракчай) с разрывной тектоникой: 1 — гидрографическая сеть; 2 — глубинные разломы, разделяющие крупные морфоструктуры, выраженные в рельефе высокими уступами; 3 — разрывы, выраженные в рельефе и совпадающие с крупными долинами; 4 — локальные разрывы, выраженные в рельефе и совпадающие с долинами малых притоков\*; 5 — уступы, обусловленные тектоническими разрывами; 6 — древние речные долины, установленные и предполагаемые, направление их простирания; 7 — фрагменты покинутых древних долин, морфологически выраженные в рельефе; 8 — участки сохранившихся древних аллювиев; 9 — место направления речных перекатов; 10 — подораздельные линии.

\* На схеме показаны только те разрывы и разрывы, которые находят свое выражение в рельефе и строении речных долин.

лее древние разрывы субстрата и оказывают определяющее влияние на развитие гидрографической сети, а также процессы экзогенного рельефообразования.

Многие реки северо-восточного склона Малого Кавказа, такие, как Дзегамчай, Шамхорчай, Гянджачай, Кюракчай и их притоки первого порядка (рр. Карамазди, Сарысу, Беюк-Кошкарчай, Баладжа-Кошкарчай, Кикюрдчай, Достафюрчай и др.) заложены по тектоническим ослабленным и линейно вытянутым зонам нарушений (рисунок). Как известно, тектонические разрывы, нарушая сплошность пластов, разрывают породы и тем самым создают благоприятные условия для заложения вдоль них водно-эрозионных форм.

На исследуемой территории развитие и формирование речных долин, а также отдельных их отрезков наряду с количеством стока находятся в определенной зависимости от структурных и литологических особенностей бассейна.

Р. Дзегамчай (р. Чатындары), верховье которой приурочено к северо-восточным склонам Шахдагского хребта, простирается в субмеридиональном (СВ) направлении, характеризуется почти спрямленным руслом, чрезвычайно крутыми склонами и имеет форму глубокого ущелья. Местами на ее склонах обнажаются разновозрастные породы — на левом меловые, а на правом — эоценовые, приподнятые на различных гипсометрических уровнях. Морфология склонов и прямолинейный характер простириания данного отрезка долины р. Дзегамчай свидетельствуют о заложении ее вдоль зоны разлома и об интенсивном поднятии Шахдагского хребта. В пределах этого участка долины некоторых крупных притоков (р. Карамазди и др.), расположенные вдоль разломов северо-западного простирания, имеют субширотное направление и характеризуются также спрямленным руслом и крутыми склонами.

При выходе из зоны Шахдагского хребта р. Дзегамчай пересекает древнюю долину, совпадающую с простирианием Башкенд-Достафюрской внутригорной котловины, где она вырабатывает себе широкую террасированную долину.

Древняя долина устанавливается здесь по наличию широких продольных долин, ныне являющихся притоками основных рек.

На участке пересечения Шамхорского поднятия долина р. Дзегамчай характеризуется чрезвычайно глубоким врезом и асимметричным строением. В районе с. Яныхлы она образует коленообразный изгиб, обусловленный наличием группы тектонически активных интрузивов, препятствующих врезанию реки и пересечению ее с Предмало-кавказским глубинным разломом.

В долине р. Шамхорчай также отмечается связь направления речных долин с линиями тектонических разломов как поперечных, так и продольных. Примером могут служить долины рр. Баладжа-Кошкарчай, Беюк-Кошкарчай и др.

Долина р. Беюк-Кошкарчай имеет субширотное направление простириания и характеризуется спрямленным руслом и крутыми склонами, заложена между Оджагдагским и Баладжа-Кошкардагским антиклинальными хребтами.

Истоки самой р. Шамхорчай (р. Сарысу), заложенные в зоне поперечных разломов в стыке Мровдагского и Шахдагского хребтов, также имеют глубокую спрямленную ущельеобразную долину с крутыми склонами.

При выходе в зону Башкенд-Достафюрской котловины долина р. Шамхорчай теряет свои характерные черты, присущие ей в высо-

когорном поясе. В пределах этой котловины долина р. Шамхорчай имеет приуглубленную ящикообразную форму, глубина ее до 300 м. Севернее котловины, в пределах Шамхорского поднятия, глубина ее вновь возрастает. На участке с. Дея-Карабулак, где широкой полосой обнажаются интрузивные массивы, река глубоко врезана, и образует ущелье с обрывистыми склонами. Ниже этого участка долина приурочена к тектоническому разлому и характеризуется асимметричным строением склонов.

Одной из характерных особенностей строения долин рр. Дзегамчай и Шамхорчай является то, что ширина их почти всюду соответствует ширине зон тектонического нарушения.

Формирование долин рр. Гянджачай, Кюракчай и их основных притоков в той или иной степени также обусловлено тектоническими разломами.

Почти все рудопроявления изучаемого района связаны с основными магматическими образованиями мезозойского вулканизма (Э. Ш. Шихалибэли, 1966) и приурочены к участкам пересечения тектонических разрывов субширотного и субмеридионального направления, которые благоприятны для их локализации. Во всех указанных речных долинах, приуроченных к поперечным (субмеридиональным) разрывам, наиболее перспективными участками являются места их пересечения с глубинными разломами северо-западного (субширотного) направления, а также боковые притоки, для которых установлена тектоническая (разрывная) их обусловленность.

В долинах рр. Дзегамчай и Шамхорчай перспективными участками могут служить места их пересечения с глубинным разломом общекавказского направления (районы с. с. Яныхлы, Тикдаш, Гарibli, Дея-Карабулак, Гульэнбур и др.). Такие участки намечаются также в долинах р. Гянджачай и Кюракчай.

Таким образом, речные долины, обусловленные тектоническим нарушением, могут служить зонами оруденения, поэтому целесообразно проводить поисковые работы в данных местах.

#### Литература

1. Антонов Б. А. Геоморфология и вопросы новейшей тектоники ю.-в. части Малого Кавказа. Изд-во „Элм“. Баку, 1971.
2. Шихалибэли Э. Ш. Геологическое строение и история развития восточной части Малого Кавказа, т. 2. Изд-во АН Азерб. ССР, 1966.
3. Ширинов Н. Ш., Халилов Г. А. Генетические типы морфоструктур междуречья Таузчай-Храми и некоторые геоморфологические критерии поисков полезных ископаемых (в пределах Азерб. ССР). „Изв. АН Азерб. ССР, серия наук о Земле“. Изд-во „Элм“, № 5, 1975.
4. Филькин В. А. Опыт применения картографического метода для изучения тектонической обусловленности гидрографической сети. „Изв. АН ССР, серия географ.“. № 2. Изд-во АН Азерб. ССР, 1965.

Институт географии

Поступило 31. V 1977

Н. Ш. Ширинов, В. Э. Гулузадэ

ЧАЙ ДЭРЭЛЭРИНИН ТЕКТОНИК ПОЗУЛУШМА ХЭТЛЭРИ ИЛЭ УЙГУНЛУФУ ВЭ ОНЛАРЫН ФИЛИЗ ТЭЗАНҮҮРЛЭРИНИН АХТАРЫШЫНДА РОЛУ

(Кичик Гафгазын шимал-шэрг јамачы тимсалында)

Мэггалэдэ Кичик Гафгазын шимал-шэрг јамачында мөвчүд олан эсас чай дэрэлэринин мэншэйнин тектоник позулма хэтлэринэ уйгунлуундан, мухтэлиф нэв филиз тэзанүүрлэринин онларла кенетик элагэснийн геоморфологи үсулларла ашкар едил-мэси энэмижэтийндэй бэйс едилр.

Эразинийн мусасир чай дэрэлэринин геоморфологи тэйлилийн дэгиг арашдырыл-масы Зэјэмчай, Шамхорчай Кэнчэчай, Күрэкчай вэ онларын бир сырь голларынин тек-

тоник позулушма хэтлэри үзэд иикишаф етдиини сүбүт едир. Эсас чай дэрэлэри субмеридионал, (шинал-шэрг) истигамэти тектоник позулмалара, онларын яан голлары исэ үмумгафгаз истигамэти тектоник позулмалара, даа чичик голлары исэ мухтэлиф истигамэти эсасэн јерли тектоник чатлара уйгун кэлир.

Эразилэ рекионал позулмалар эсас филизээшмэ зоналары несаб олуудуундан, һэмийн зоналар бую иикишаф етмиш чай дэрэлэри дэ филиз тэзанүүрлэринин ахтарыши учун эн элверишил саһэлэр ола билэр. Бурда эн энэмижэтийн саһэлэр чай дэрэлэриин субмеридионал истигамэти дэринлик позулмалары илэ кэсишдиж саһэлэр, һэмчийн онларла кэсишэн шимал-гэрб истигамэти позулмалар боју иикишаф етмиш чай дэрэлэри несаб олуна билэр.

N. Sh. Shirinov, V. A. Guluzade

ON THE RELATION OF RIVER VALLEYS TO TECTONIC DISTURBED LINE AND POSSIBLE OREGENETIC ROLE SOME OF THEM  
(On the pattern of north-eastern slope of the Small Caucasus)

It is revealed that there is an obvious relation in the direction of great part of large and partially secondary river valleys, both the cross-cut and the lengthwise:

УДК - 631.9

СЕЛЕКЦИЯ РАСТЕНИЙ

И. М. АХУНДЗАДЕ, С. Б. ЗЕЙНАЛОВ

ИЗУЧЕНИЕ РОСТА И РАЗВИТИЯ НЕКОТОРЫХ СОРТОВ РОЗ  
В КУБА-ХАЧМАССКОЙ ЗОНЕ

(Представлено академиком АН Азербайджанской ССР И. К. Абдуллаевым)

Изучение особенностей роста и развития растений позволяет выявить отношение к конкретным факторам внешней среды. Зная это, а также биологические свойства сортов, можно управлять ростом, развитием растений с использованием их потенциальных возможностей.

Розы относятся к кустарниковому типу растений и способны образовывать побеги различных типов. Развитие начинается с почек, расположенных на побегах. В фазе стеблевания на главном стебле развиваются побеги первой степени. В зависимости от возраста растений побеги могут быть цветочными или вегетативными. Кущение обуславливается за счет побегов, растущих как из стебля, корня, так и прикорневой шейки. Развитие куста розы, как и всех высших растений, осуществляется по 12 морфологическим этапам.

Л. И. Тюканова [2] подробно исследовала особенности развития побегов розы группы *R. gallica* и различает 2. фазы: эмбриональную—где развитие происходит в самих почках и постэмбриональную, когда формируются и развиваются отдельные элементы побега. Автор [2] приводит также 12 этапов оргоногенеза побегов *R. gallica*.

Результаты наших исследований показывают, что образование вегетативных органов в группах роз чайногибридных, Ремонтант и других совпадает с IV (развитие боковых и стеблевых побегов) — IX (закончение цветения и оплодотворения этапами по Л. И. Тюкановой).

Нами проведены полные фенологические наблюдения над развитием опытных кустов роз с начала образования почек до последнего цветения. Результаты наблюдений показывают (таблица), что большинство из изученных нами сортов роз в определенной степени отличается друг от друга по росту и развитию. Так, разница в начале образования первых почек между сортами составляет 4—5 дней. Рост почек на стебле раньше всего начинается у сортов Глория дей (кустящаяся и некустящаяся форма), Миранди, Офелия. Сорта Нарцисс, Куин Мери, К. А. Виктория, Мевроу Г. А. ван Россем, Ф. К. Друшки отстают с началом роста стеблевых почек на 6 дней.

Сорта роз каждой группы характеризуются определенными размерами, формой и окраской листа. Так, например, листья сорта Олде Франс

имеют ширину 1,5—3,5 см, длину—2,5—4,5 см, сорта Мевроу Г. А. ван Россем соответственно 2,0—4,5 и 2,0—6,5 см, Гадлейроз—2,0—4,0 и 3,0—7,0 см. У некоторых сортов в силу биологических особенностей листья большие. Глория дей—ширина 3,0—6,5 см, длина—4—8 см, О. Ф. Бисмарк—3—7 и 4—8 см. В зависимости от почвенно-климатических особенностей и условий возделывания размеры листьев могут изменяться. Средняя величина листьев всех изученных нами сортов составляла 3,5—7,5 см.

У выращиваемых в настоящее время сортов роз преобладают листья эллипсо-ланцетовидной и эллипсо-округлой форм. Края листьев у подавляющего большинства сортов зубчатые, что является ботаническим признаком. У сортов групп Чайногибридные и Ремонтант листья прочные и расположены горизонтально. У многих сортов роз, например, группы Чайногибридные, листья блестящие. Такие листья обычно незначительно подвергаются грибковым заболеваниям. Листья большинства сортов роз зеленые. У некоторых сортов группы Ремонтант и Чайногибридных—темно-зеленые.

У указанных групп роз в конце вегетационного периода происходит листопад, хотя на кустах многих сортов группы Чайногибридных зеленые листья сохраняются даже при снегопаде. Розы Чайногибридные и Ремонтант отличаются менее устойчивыми листьями, чем сорта других групп.

Изучение интенсивности роста цветоносных продуктивных ветвей роз показало резкое различие между сортами по данному показателю. Особенно ярко оно проявляется между сортами группы Чайногибридных роз и Ремонтант. Следствием интенсивного роста продуктивных ветвей у сортов Чайногибридных роз является несколько коротких перерывов за вегетационный период в массовом цветении.

Сорта исследуемых групп роз отличаются между собой также по длине цветоносных побегов, имеющих важное декоративное значение и прочности их. При этом, как показали наблюдения, длина побегов по годам исследования различна. Так, длина цветоносного побега в 1969 г. у сорта Глория дей (обе формы) составляла в среднем 41—45 см, Миранди—28—33 см, Юбилейной,—30—35 см, Утро Москвы—29—33 см, К. А. Виктории—25—30 см. Гранат—35—40 см, Мад. Ж. Буш—24—28 см, Кримсон Глори—34—40 см, Супер стар—24—29 см, а в 1970—1971 гг. У всех перечисленных сортов была больше. Удлинение цветоносных побегов в эти годы объясняются более благоприятными условиями.

После завершения роста цветочного побега на кончике его формируются первые бутоны. Число может быть от одного до нескольких в зависимости от сортовых особенностей. Один бутон располагается на кончике побега, цветок оказывается большого диаметра, а сам побег бывает более прочным, т. е. показатель декоративности высокий. Это качество присуще таким сортам, как Глория дей (кустящаяся и некустящаяся формы), Гранат, Утро Москвы, Кримсон Глори, Супер стар (Чайногибридные), Ф. К. Друшки, Ульрих Брюнер (Ремонтант). У остальных исследованных нами сортов на одном цветоносе образуется 3—5 цветков, один из некоторых располагается на конце побега, а остальные—около цветоножки первого цветка. Цветок на конце побега из-за лучшей обеспеченности питательными веществами, как правило, бывает крупным и созревает на несколько дней раньше.

Изученные сорта резко различаются особенностями бутонизации. Прежде всего, число бутонов у сортов Чайногибридных роз значитель-

но больше, чем из группы Ремонтант. Период от появления первых листьев до образования бутонов у первых в зависимости от сортовых особенностей составляет 16—26 дней, у вторых — 23—26 дней. Из Чайногибридных роз наименьший период от образования первых листьев до появления бутонов имеют сорта Глориа ден (обе формы), Миранди и Офелия — 16—18 дней.

Среди изученных роз в зависимости от групповых и сортовых особенностей наблюдаются различия и во времени цветения. В частности, сорта роз из группы Чайногибридных цветут на 4—8 дней раньше, чем Ремонтантные. Сортовые особенности еще заметнее проявляются при сравнении этапов органогенеза. Так, появление первых листьев у сортов Миранди и Офелия в 1969 г. отмечено при средней температуре воздуха 9,2°C (21 и 23 апреля), в 1970 г. при средней температуре воздуха 13,8°C 30 (марта), в 1971 г. при 8,9°C (4 апреля). Цветение у тех же сортов в 1969 г. наступило 20 мая при температуре 15,6°C, в 1970 г. 28 апреля при 16,7°C, в 1971 г. 10 и 12 мая при 13,8°C.

Приведенные данные свидетельствуют о том, что срок наступления фаз развития у одних и тех же сортов роз в значительной степени определяется погодными условиями. Зима 1969 г., например, была холодной и продолжительной, что и привело к задержке начала фаз бутонизации (более 21 дня) и цветения (более 14 дней). При благоприятных почвенно-климатических условиях, нормальном росте и развитии изученные сорта роз образуют на кустах листья как первого, так и второго-четвертого порядков, что обеспечивает цветение на 4-м этапе.

В результате максимального использования растением питательных веществ, рост побегов происходит нормально и они достигают 35—40 см длины. Образовавшиеся на них цветки имеют значительно больше лепестков, чем их бывает в середине или в конце вегетационного периода. Многолепестковость характерна для цветков, образовавшихся на стеблях первого порядка на первом этапе цветения. Цветочные побеги на этом этапе значительно отстают в росте и развитии по сравнению с предыдущими: они значительно короче, а образовавшиеся на них цветки — мелкие. В конце вегетации образуются также ветви 3—4 порядков, одноцветочные ветви бывают еще короче, а цветки совсем мелкие.

Исследованные нами сорта роз резко различаются по степени ветвления. Несмотря на одновременность наступления фазы цветения и сходный тип ветвления, подавляющее большинство сортов Чайногибридных роз имеет разную длину побегов и размер образовавшихся на них цветков. В группе Ремонтант определенной закономерности ветвления у сортов не выявлено. У сорта Пол Нерон, например, за весь вегетационный период цветения наблюдалось только один раз. При обрезке новые цветоносные побеги не образуются или бывают недостаточно развитыми и фактически без цветков. У сорта же Ф. К. Друшки этой группы образования цветоносных побегов 1 и 2-го порядков и цветение происходит нормально в 2 этапа. При дальнейшем развитии образуются лишь вегетативные побеги, а число цветочных весьма незначительно. У сортов Ульрих Брюннер образование цветочных побегов и цветение происходит весьма интенсивно и в 4 этапа, как и у сортов Чайногибридных роз.

Исследования показали, что сорта изученных групп не различаются значительно по времени второго цветения, хотя у некоторых Чайно-

#### Результаты фенологических наблюдений над сортами роз

Сорт	Образование почек	Образование листьев	Бутонизация	Прицветник	Полное цветение		Второе цветение
					8. V—22. V	10. IV—23. VI	
<b>Чайногибридные розы</b>							
Глориа ден (кустящ. форма)	19. III—10. IV	IV					
Миранди	19. III—10. IV	IV					
Глориа ден (пукостящ. форма)	19. III—10. IV	IV					
Офелия	19. III—10. IV	IV					
Нарцисс	23. III—15. IV	IV					
Кунн Мери	23. III—16. IV	IV					
Отто фон Бисмарк	19. III—12. IV	IV					
Галлей роз	19. III—13. IV	IV					
К. А. Виктория	19. III—16. IV	IV					
Гранат	23. III—12. IV	IV					
Красная Москва	19. III—12. IV	IV					
Виктория	23. III—13. IV	IV					
Мад. Жюль Буш	19. III—14. IV	IV					
Лауренкап	19. III—14. IV	IV					
Юбилейная	19. III—14. IV	IV					
През. Герберт Гувер	23. III—14. IV	IV					
Мад. Баттерфэй	23. III—14. IV	IV					
Мэврой Г. А. ван Россен	19. III—16. IV	IV					
Олле Франс	23. III—13. IV	IV					
Маршал Нисел	23. III—14. IV	IV					
Бакара	19. III—12. IV	IV					
Кримсон Глори	19. III—14. IV	IV					
Утро Москвы	19. III—13. IV	IV					
Вирго	19. III—14. IV	IV					
Клементина	23. III—14. IV	IV					
Крымская ночь	23. III—13. IV	IV					
Супер стар	23. III—13. IV	IV					
<b>Группа Ремонтант</b>							
Пол Нерон	23. III—12. IV	IV					
Ф. К. Друшки	19. III—16. IV	IV					
Ульрих Брюннер	19. III—14. IV	IV					
2. IV—21. IV	2. IV—25. IV	IV					
30. III—23. IV	30. III—25. IV	IV					
10. V—21. V	10. V—23. V	V					
12. V—28. V	12. V—08. V	V					
15. V—3. VI	15. V—5. VI	V					
17. V—3. VI	17. V—3. VI	V					
13. V—3. VI	13. V—3. VI	V					

гибридных сортов (Глория ден—обе формы, Миранди, Гранат, Юбилейная, Лауренткал, Кримсон Глори, Утро Москвы, К. А. Виктория) оно наступает раньше, чем у группы Ремонтант. Образование цветочных побегов из спящих почек происходит у большинства сортов Чайно-гибридной группы непрерывно.

#### Литература

1. Ахунд-заде И. М., Зейналов С. Б. Биоморфологические особенности сортов роз, распространенных в Куба-Хачмасской зоне. *Изв. АН Азерб. ССР*, № 3, 1975. 2. Тюкарова Л. И. Морфофизические особенности и развитие парковых роз. Автореф. канд. дисс. М., 1966.

Институт генетики и селекции

Поступило 2. XII. 1976

И. М. Ахундзадэ, С. Б. Зейналов

#### ГУБА-ХАЧМАЗ ЗОНАСЫНДА БӘЗИ ГЫЗЫЛКУЛ СОРТЛАРЫНЫН БӨЙҮМӘ ВӘ ИНКИШАФЫНЫН ӨЈРӘНИЛМӘСИ

Мәгәләдә Губа-Хачмаз зонасында Чай-һибрид вә Ремонтант группасы дахил олан сортларынын бөйүмә вә инкишафындан бәйс олуңур. Мүүжән едилмишdir ки, һәмин зонада Чай-һибрид группадан Глория ден (колланин вә колланмајан форма), Миранди, К. А. Виктория, Гранат, М. Ж. Бүше, Юбилеяна, Утро Москвы, Кимсо Глори. Супер стар, Ремонтант группасы дахил олан Улрих Бруннер сортларында бөйүмә вә инкишаф даһа интенсив кетмишdir. Гејд олуңан сортларда векетасија мүддәттindә чичекләнүмә 4 мәрھәләдә кечмишdir.

I. M. Akhundzade, S. B. Zeinalov

#### STUDIES OF THE GROWTH AND DEVELOPMENT OF SOME ROSE SORTS IN THE GUBA-KHACHMAZ ZONE

The article is devoted to the studies of the growth and development of the rose sorts included in tea-hybrid and remontant groups in the Guba-Khachmaz zone. The results of the investigation show that growth and development of the tea-hybrid group—Gloria del, Mirandi, Crimson Glori, Super Star, K. A. Victoria, Granat, M. Zh. Bushe, Yubiletnaya, Utro Moskva, and remontant group—Ulrich Brunner go more intensive. During the vegetative season the flowering of the above mentioned sorts take place 4 times.

АЗЭРБАЙЧАН ССР ЕЛМЛӘР АКАДЕМИЯСЫНЫН МӘРҮЗӘЛӘРИ  
ДОКЛАДЫ АКАДЕМИИ НАУК АЗЕРБАЙДЖАНСКОЙ ССР

ТОМ XXXIII ЧИЛД

№ 12

1977

УДК 947 (479. 24)

ИСТОРИЯ

В. З. ПИРИЕВ

#### О ТЕРМИНЕ „БУКАУЛ“

(Представлено академиком АН Азербайджанской ССР А. А. Ализаде)

Значение термина „букаул“, часто встречающегося в средневековых источниках и используемого в исторической литературе, объясняют по-разному. Его истолковывают и как „придворная должность“<sup>1</sup> вообще, и как „стольник“<sup>2</sup>, „виночерпий“<sup>3</sup>, „интендант“<sup>4</sup> (лицо, ведающее хозяйственными делами при войске или войсковых частях), „кравчий“<sup>5</sup> (лицо, которое пробует пищу до того, как подать ее падишаху), а также как должностное лицо по организации пиршеств и приема гостей<sup>6</sup> и т. д. Выявленные нами в источниках сведения о букауле позволяют глубже разобраться в содержании этого термина и раскрыть его сущность.

Во втором томе сочинения известного азербайджанского историка и видного государственного деятеля XIV в. Мухаммеда ибн Хиндушаха Нахчивани „Дастур ал-катиб фи та'йин ал-маратиб“ разъяснению понятия букаул отведен специальный раздел под названием „О присвоении воинского букаула“<sup>7</sup>. Здесь подробно охарактеризованы права и обязанности букаула, даны сведения о подчинявшихся ему лицах и о тех, кто мог быть удостоен этого назначения.

Автор пишет:

بوکاول شخص را گویند که بعد از اراده تقا و بزرگترین طوایف لشکریان او باشد.

<sup>1</sup> См. В. В. Бартольд Сочинения, т. II, ч. 2. М., 1964, стр. 348.

<sup>2</sup> Там же, стр. 243, 312, 348.

<sup>3</sup> Там же, стр. 312.

<sup>4</sup> Ahmet-Zeki Vahid, Mogollar devrinde Anadolunun iktisadi vaziyeti (turk hukuk ve iktisadiyat tarli mecmasi, с I-den ayribasim, Istanbul, 1930, стр. 40 (далее: Валиди).

<sup>5</sup> См. В. В. Бартольд, Сочинения, П/2, стр. 348.

<sup>6</sup> Об этом см.: Абдуллаев Самаркандин. Место восхода двух счастливых созвездий и слияния двух морей. Перевод с персидско-таджикского на узбекский язык, предисловие и гlosсарий А. Урубаева. Ташкент, 1969, стр 453; С. М. Онуллаин. XV эрдэ Азэрбајҹанда дөвләт гурзушуун бәзи ма-сәләләринең дашр. *Изв. АН Азерб. ССР*. серия истории, философии и права, 1966, № 4, стр. 38.

محمد بن هندوشاه نخجوانی، دستور الكاتب فی تعین المراتب، جلد دوم، متن علمی و انتقادی با مقدمه و فهرستها بسیعی و اهتمام و تصحیح عبدالکریم علی اوغلی علیزاده، مسکو، ۱۹۷۶، ص. ۵۳-۵۷: در تفویض بوکاولی لشکر. (далее: Дастур ал-катиб, II).

(Букаулом называют того, кто после эмиров считается самым главным и великим человеком в войске<sup>8</sup>).

Какие же обязанности возлагались на букаулов?

Из содержания источника видно, что они должны были: намечать точные меры для эффективных действий и устройства войска и его подразделений; приобретать должности и денежные суммы, выделенные им великим диваном (диван-и а'ла); справедливо делить захваченную во время военных походов добычу и распределять территорию между воинскими частями и воинами; осуществлять контроль за поведением воинов, не допускать конфликтов между ними<sup>9</sup>.

Фазлуллах Рашидаддин также пишет о большой роли букаулов в распределении подати—тагар<sup>10</sup>, взимаемой с населения деревень, городов и с кочевников для содержания войска. Это можно понять так, что в их обязанности входил надзор за распределением тагара. Однако как отмечает автор, в период правления Газан хана (1295—1304) букаулы часто нарушили установленный порядок и присваивали часть положенного войску тагара. «Частью по причине дурной исполнительности мутасарифов,—отмечает он,—частью из-за того, что букаулы (курсив наш.—В. П.) принимали взятки и закрывали глаза, частью вследствие того, что битикчи-эюдэчи не делали во-время перевода, и войско оставалось бессильным произвести сбор, а эюдэчи за полцены скупали (тагар) себе . . .».

Государь в течение четырех—пяти лет наблюдал это положение и издал указ, чтобы в каждой области как на зимних, так и на летних стойбищах, во время снятия урожая сыпали (некое количество зерна) в амбар и, препоручив воеводе области, при нарядах выдавали чистоганом из амбаров, а букаулы (курсив наш.—В. П.) никаких взяток не принимали бы и за тагар и фураж (ничего) не требовали<sup>11</sup>.

Как видно из сочинения „Хабиб ас-сийяр“ Хондемира, букаулы ведали и приготовлением различных блюд и кушаний у правителей, султанов, эмиров и т. п. По словам автора, приближенные султана Хусейна „уговаривали султанского букаула (стольника) примешать яд к пище Мир Али-Шира“<sup>12</sup>. Подобные факты позволили некоторым исследователям считать букаулов организаторами свадебных торжеств, стольниками, кравчими, виночерпиями и т. д.

Однако нужно указать, что сведения Мухаммеда ибн Хандушаха Нахчивани о букауле как лице, исполнявшем военную должность, являются наиболее достоверными, они, как видим, находят подтверждение при изучении отдельных фактов, приводимых в сочинениях Рашидаддина. И если внимательно вчитаться в те источники, составители которых придерживаются того же мнения, что и Хандемир, то нетрудно заметить, что и они не отрицают того обстоятельства, что букаулы имели определенное отношение к войску. Например, Шара-

<sup>8</sup> Дастур ал-катиб, II, стр. 53.

<sup>9</sup> Там же: راه او آنک تدبیر مصالح امارت و ترتیب لشکریان و ایصال و ظایف و مراسم که از دیوان بزرگ جهت ایشان تعیین رود قیام نماید و غاییم و فتوحات را که در فتح ممالک و تسخیر ولایات بدست آرند بموجب راستی برایشان قسمت کند و جانب حق مرعی داشته نگذارد که بر یکدیگر زور و زیادتی کنند.

<sup>10</sup> О подати тагар см.: А. А. Али-заде. Социально-экономическая и политическая история Азербайджана XIII—XIV вв. Баку, 1956, стр. 230—232.

<sup>11</sup> Фазлуллах Рашидаддин. Джами ат-таварих, т. III. Составитель научно-критического текста на персидском языке А. А. Али-заде, перевод с перс. языка А. К. Арендса. Баку, 1957, перс. текст, стр. 508—518, рус. пер., стр. 290—291.

<sup>12</sup> О этом см.: В. В. Бартольд, соч., II/2, стр. 243.

фаддин Али Яэди говорит, что Эмир Хусейн во время покорения Бухары направил своего букаула за беглецами, и последний отобрал у них имущество и скот<sup>13</sup>. В другом месте автор пишет, что большую часть забитого скота выделили для воинов и в день свадьбы дали букаулям<sup>14</sup>. На основании приведенных данных можно прийти к выводу, что в XIII—XV вв. букаулы занимали важную роль в организации и операциях войск. Весь состав войск и командующие лица, кроме главного эмира (эмир ал-умера), подчинялись войсковому букаулу<sup>15</sup>. Эмиры улусов, визиры, эмиры туманов, тысячи, сотники, десятники и все воины должны были признавать главенство букаула, уважать его, не противодействовать его мерам и прислушиваться к его советам. В каждом тумане (десять тысяч) действовал букаул-и туман (بوکول تومان)<sup>16</sup>. Тысячи, сотники, десятники и воины каждого тумана подчинялись букаулу этого тумана и исполняли его приказания. Букаул-и туман был зависим только от эмир-и тумана и вышестоящих лиц. Букаулы действовали так же и в мелких частях и подразделениях (напр: букаул-и тысячикник—بوکول هزاره; букаул-и сотник—بوکول صده).

Должность букаула считалась почетной и достойной (شعل خضری) однажды из важнейших военных постов (از مظہمات مهمات)<sup>17</sup>. На эту должность, в особенности на должность войскового букаула, назначались опытные, способные лица. О назначении войскового букаула и букаула туман издавались особые указы падишаха. Мухаммед ибн Хандушах Нахчивани приводит 3 формы написания подобного указа<sup>18</sup>. В указе, в частности, фиксировался факт назначения того или иного лица на должность войскового букаула или букаула отдельных туманов; давалась характеристика его положительных черт, дальнейших обязанностей его и перечислялись подчиненные ему лица; содержались сведения о жалованье букаула и т. д.

Жалованье букаулям выдавалось из бюджета великого дивана (диван-и а'ла). В диван-и а'ла, в отдельной тетради, регистрировалось жалованье войскового букаула, а в тетрадях, относящихся к отдельным туманам, фиксировалось жалованье букаула данного тумана. Государство стремилось создавать все условия для того, чтобы букаулы успешно исполняли свои ответственные обязанности<sup>19</sup>.

Институт истории

Поступило 4.II 1977

<sup>13</sup> شرف الدین علی یزدی، ظفرنامه، نهیه و تنظیم از عصام الدین اورونبایوف، تاشکند ۱۹۷۲، ورق ۱۲۲ ب (далее: Шарафаддин Али Яэди).

<sup>14</sup> Там же, л. 352.

<sup>15</sup> Дастур ал-катиб, II, стр. 54, 55.

<sup>16</sup> Там же, стр. 56, 57.

<sup>17</sup> Там же, стр. 54, 57.

<sup>18</sup> Там же, стр. 54.

<sup>19</sup> Там же, стр. 54, 57.

<sup>20</sup> Дастур ал-катиб, стр. 55, 56, 57. Проф. А. З. Валиди также считает, что букаулы получали жалованье из илханского бюджета (см. стр. 40).

## "БУКАУЛ" ТЕРМИНИ ҺАГГЫНДА

Букаул һаггында тарихи әдәбијатда мұхтәлиф, бә'зен дә һәғигетә уйғын олмајан, мұланиязәләр, мөвчуддур. Мәгаләниң мүәллифи XIV әсрде јашамыш Азәрбајчан, тарихчиси Мәхәммәд ибн Һиндүшаш. Нақынаннин мә'лumatына әсасланараң, јазыр ки, букаул әмирләрдән соңра орду әһлиниң агасы вә эн бөյүк шәхсијәти несаб олунурду.

Букаулун вәзиғесінә ордунай вә онун һиссәләринин дүзкүн вә сәмәрәлі фәзлијәти вә ғошуның тәртиб едилмәсі үчүн тәдбирилер мүәләштірмәк; алн дивандан онлар үчүн айрылмыш пәзінфәләри вә ихрачаты әлдә стмәк; һәрби յүрүшләрдән әлдә олунан гәнимәтләри вә әразиниң дүзкүнлүкә орду һиссәләри вә ғошуның әли арасында белмәк; һаггын тәрәғин көзләмәклә биринин дикеринә күч вә һәрбәзорба қәлмәсина имкан бермәмәк кими чәһәтләр дахил иди.

Букауллар ордуда вә ғошуның бүтүн һиссәләринидә фәалијет көстәридиңләр. Мәгаләдә, букаулларын һүгуглары, фәргәндәричи хусусијәтләри, орду вә түмән букаулунун тәжінолуның үсулу, онларын маашлары вә саірә барәдә мә'лumat берилір.

V. Z. Piriyev

## ON THE TERM "BUKAUL"

The article explains the meaning of the term "bukaul". On the basis of the data by Muhammed ibn Hindushash Nakhchevany (XIV century) the author acknowledges that the greatest and the most principal man in troops after an umer was called bukaul. Bukauls had to set up measures for regular and effective organization and action of troops and its units; acquire posts and moneys allotted to him by the Great djan; divide fairly loots and territories—captured during the wars—among military units and soldiers; render justice, not to admit violence and threat towards each other. Bukauls acted in all military units and subunits.

УДК 894. 362. 8—1—9—141

ӘДӘБИЈАТ ТАРИХИ

Ч. РӘМЗИ ИСМАЈЫЛЗАДӘ

## БИР МУХӘММӘС ҺАГГЫНДА

(Азәрбајчан ССР ЕА академики М. Ч. Җәфәров тәгдим етмишидир)

Азәрбајчан әдәбијаты тарихинде фарс вә әрәб дилиндә јазыб-ярадан, әсасен азәрбајчанлы олан бир чох шаир вә алим ады елм аләмине мә'лумдур. Онларын өз ана дилиндә дејил, фарс вә әрәб дилиндә јазмаларынын да мүәјјән ичтимаи-сијаси сәбәбләри вар иди. Индијә гәдәр бизә мә'лум, азәрбајчанча ше'р јазан бирничи шаир исә XIII—XIV әсрләрдә Хорасан җахының дақы гәдим Әсфәраин шәһіринде јашамыш Иzzәddin Һәсәноғлу несаб едилир [1, сәh. 222—224; 2, сәh. 210—212]. Онун Һәсәноғлу тәхәллүсү илә бир азәрбајчанча, Пури-Һәсән тәхәллүсү илә бир фарсча гәзәли бизә қәлиб чатмышдыр. Шаирин һәмин гәзәлләрinden онун камил гәләмә саиб олмасы билинирсә дә, һәјаты вә галан әсәрләри һаггында әтрафлы мә'лumat олмадығы кими, онун мұасирләри барәдә дә әлимиздә тутарлы бир мәнбә жохдур. Бу баҳымдан сон заманлар елми ахтарышларымыз нәтичесинде әлдә етдијимиз Азәрбајчан дилиндә јазылыш бир мұхәммәс сон дәрәчә мараглыдыр.

Мұхәммәси Һәсәноғлонун мұасири бакылы шаир Нәсири јазмышдыр. Нәсириң һәјаты, мұһити вә башга әсәрләри барәсindә әтрафлы мә'лumat әлдә едә билмәк мүмкүн олмаса да, ше'риндән бә'зи мәсәләләри айданлашдырмаг олар.

Һаггында данышдығымыз мұхәммәс Султан Мәһәммәд Улчајту Худабәндәје (1304—1316 милади) һәср олунмушдур.

Әрғын ханын үчүнчү оғлу\* Султан Мәһәммәд Улчајту Худабәндә Хорасан һөкмдары иди. Гардаши Газан ханын вәфаты илә әлагәдәр 23 јашында Тәбризә қәлиб, онун јерини тутур.

О тарихи әсәрләрдә вә мәнбәләрдә әдаләтли вә маарифпәрвәр бир султан кими хатырланыр. Һәмин мәнбәләрдә абадлыг ишләрине олан диггәти хүсуси олараг гејд едилir [3, 207—209; 4, 119; 6—7; 7, 310—315; 10, 72]. Тарихдән мә'лумдур ки, Худабәндә Бакыја да қәлмишdir. Бурада о, һәм абадлыг ишләри барәдә фәрманлар верир\*\*, һәм дә Бакы вә онун әтрафында јашајан әналини веркиләрии бир чохундан азад едир [3, 207—209].\*\*\*

\* Иккичи оғлу јазаңлар да вар. [б а х: 6—7].

\*\* Бакыда (Ичәри Шәһірдә) олан Гыз Галасыны да биринчи дәфә тә'мир едән одур. [б а х: 9, 81].

\*\*\* Худабәндәнин Бакы вә әтрафында әналидән веркиләрн ләгә едилмәсі фәрманларындан бири дә Бакынын Ичәри Шәһірindә олан Чүмә Мәсчидинин минарәсінин бүнөврәсіндеркі китабәдир. Фәрманда дејилir ки, рәијјәт гончур, саран, нефт вә урға веркиләрндин азад олунур. Бундан белә бунлары бакылымлардан алана лә'нетләр олсун [б а х: 3, 208].

Бакылы шаир Нәсир хөйрханлыгы илә әһалинин рәгбәтини газанан Худабәндәјә ашагыдакы мүхәммәси һәср етмишdir. Ше'рдән аждың көрүнүр ки, Нәсир әраб вә фарс дилләрини билән, бишмиш гәләмә Малик, чохлу ше'рләр мүәллифи олан бир шаир имиш.

Дөврүн һаким тәбәгәсинә хидмәт едән ислам идеолокијасынын тә'сирни дә ше'рдә аждын нәзәрә чарпыр. Ше'рдән бә'зи тарихи һадисләри дә өյрәнишрик. Шаирин "Шәһримиз (иәффатә) адин кәрчө алғај хәлгара"—демәсиндән бәлли олур ки, 700 ил бундан әvvәл Бакы нефт шәһәри кими мәшһүр имиш. Ше'рин:

Сәрфәраз етди бизи Улчајтутәк султанилән.  
Исми-пакидир Худабәндә, өзү һәм бәндәдир,  
Кокеби-игбалы, али, тален фәрхәндәдир.  
Шөвкетиндән һәр гәјә дүшмәнләри шәрмәндәдир;  
Безә бир али һимәм султани-адил гәндәдир?  
Һәр заман мәшгул булсун мүлкә имранилән

—мисраларындан аждын олур ки, мүхәммәс Худабәндәјә јазылмыш, онун хөйрханлыгы, хидмәти тәгдир олуимушдур. Ше'рин сонунда:

Шәһримиз бир асимандыр, шаһнимиз маһи-мүнир  
Шол һүнәр шаһниң ејләр мәдән Бакуји-Нәсир.  
Һәр заман чини-көнүллән тәб'и дүррәфшанилән.

—мисраларындан да бир даһа аждын олур ки, мүхәммәс Худабәндә заманында јашајан бакылы Нәсир тәрәфиндән јазылмышдыр.

Бу ше'рдән көрүнүр ки, һәсәноғлунун дөврүндә Азәрбајчаны мүхтәлиф јөрләриңдә азәрбајчанча јазан мүгтәдири шаирләр олмуш; Азәрбајчан дили 700 ил бундан әvvәл классик дил кими бүллурлашмышды.

Идијә гәләр һеч јөрдә чап олуимадығыны нәзәрә алараг, әлә-бијјат тарихимиздә Азәрбајчан дилиндә јазан бир шаирин дә јазыб-јарат-дығыны көстәрән бир әдәби-тарихи факт кими һәмин мүхәммәси бүтөв шәкилдә охучуларын мүһакимәсии вермәни фајдалы һесаб едирам.

### Әдәбијат

1. Азәрбајчан әдәбијаты тарихи. I чилд, Бакы, 1960. 2. Азәрбајчан тарихи. I чилд, Бакы, 1958. 3. А. А. Али-Заде. Социально-экономическая и политическая история Азербайджана XIII—XIV вв. Баку, 1956. 4. Абду-ар-Рашид ал-Бакуви. Китаб талхис ал-асар ва, аджа-иб ал-малик ал-каххар. Издание текста, перевод, предисловие, примечания и приложения З. М. Буниятова, Москва, 1971. 5. С. Б. Ашурбейли. Очерк истории средневекового Баку (VIII—начало XIX вв.). Баку, 1964. 6. أبوالقاسم عبد الله بن محمد القاشاني، تاريخ أهل جاتيو، به اهتمام مهين همبلی، تهران—1979 م.

7. عباس اقبال آشتباي، تاريخ مفصل ایران (از صد اسلام تا انقران فاجاریه، تهران—اسفند ماہ ۱۳۶۹ شمسی). 8. علی اکبر دھنخدا لفت نامه، شماره مسلسل ۱۱۵، تهران—اسفند ماہ ۱۳۹۵ هجری شمسی. 9. زینل اوغلو جهانگیر، مختصر آذربایجان باریخی، استانبول—1970 م. 10. عباسقلی آقا تاکیخانوف. گلستان ارم، باکو—1970 م.

Жаһын вә Орта Шәрг Халглары Институту

Алымышдыр 6, VIII 1977

### БАКУЈИ НӘСИР

Зар көйлүм, таирүгэ гыл кәл сәна иманилән\*  
Булди ревнәг динү иман тасти-субhaniлән.  
Таәти-сүбhani билә фәрз олду үнсүм чанилән,  
Шүкүр ола шол һәнгә ким, бимүтәнә еңсанилән.  
Сәрфәраз етди бизи Улчајтутәк султанилән.

\* Мүхәммәсий дил вә орфографик хүсусијәтләrinиң олдугу кими сахлајырыг.

Тәрік едиб ширки-чөләни қалди таирүгэ тәрәф  
Дини исламни гәбул ејләди өл хәјрүл-хәләф.  
Јенси ислам булди верди дини-исламға шәрәф  
Олди кинә оғни исламник өдәси һәдәф,  
Јанди иирани-һәсәдә атәши-сузанилән.

Шәғфәти-әдлилә ачкај мүлки-исламға лива,  
Булди гүввәт дөвләту дини-мүсәлман бәрмәла,  
Лұтфииң һәр бир мәканда ејләди бәзлү әтә,  
Бизә дә фејзини шамисы гылган ол кани-сәха,  
Ниммәтиң килтурди изнара сәру саманилән.

Шәһримиз (Нәффатә) адин кәрчи алғај хәлгәра,  
Шимди зәрани булуб булғај ғомусиндән вәра,  
Пәртөву мәнни-чәладән верди Бакуға чела,  
Кетди зүлмәт, булди рөвшән динү дөвләт мүтләра,  
Сајеji-адли-шәһәншайи-фәләк дәрбанилән.

Падшани-кишвәри-рәһимү әдаләт бәргвар,  
Кишвәри-бичарәкана лутфилә гылгај құзар,  
Тиги-пүсрәтни мүхалиф сәддинә чәкди һәсар,  
Ејләди мәғлуб олан ә'даирини фәрги-дар,  
Батили батил, һәнгі һәтті ејләди гүр'анилән.

Сәлтәнәт тәхтинә јеткән әглү тәлдири ејләди,  
Ајеji-адли бәјанә чәкди тәгрир ејләди,  
Тәрни-ме'мари төкүб виранн тә'мир ејләди,  
Ниммәти-шаһанәсии һәр јөрдә тәксир ејләди,  
Хәнәләр агад гылды әмрилән, фәрманилән.

Исми-пакидир. Худабәндә, өзи һәм бәндәдир,  
Көвәби-игбали али, тален фәрхәндәдир,  
Шөвкәтиндән һәр гәјә дүшмәнләри шәрмәндәдир,  
Безә бир алиһимәм султани-адил гәндәдир?  
Һәр заман машгул булсун мүлкә имәнилән

Тиги-аләмкүр илә фәтහини мордад ејләди,  
Гәндә мүшрик булдисә, исламә мингад ејләди,  
Руhi-Әргүн хани җади-хејр илә шад ејләди  
Әлһәг ол шаһи-чанаң шаһларара ад ејләди  
Фәтහи-биарамилән, һәм лутфи-бипајанилән.

Бејдаги-ислами ө'ла гылмага амадәдир,  
Дад едәр ким дад гылса, дадә чун дилдадәдир.  
Бинәсib олмаз о кәс ким, пајиңә уфтададир,  
Афәрий ол шаһә ким; һәнгә һәлакузадәдир,  
Зәрдә һатәм, зурдә һәмтајдур ҳаганилән.

Мөһтәрәм булғај мәсачид һәм зијарәткаһләр,  
Пајмал олғај гәму бүткәнәләр, күмраһләр,  
Ачилиб ҳәлгин յүзинә бағыл галған раһләр,  
Фәхр едәр бу шаһилән әлһәг қәдаләр, шаһләр,  
Нәкмини чари гылур Иранилән, Турилән.

Наминә кишвәрку шалыг јазды әззәлдән дәбир,  
Нифз едә зилли-иңајәтдә хұдавәнді-гәдири,  
Шәһримиз бир асимандыр, шаһнимиз маһи-мүнир,  
Шол һүнәр шаһниң ејләр мәдән Бакуји Нәсир,  
Һәр заман чини-көнүллән тәб'и-дүррәфшанилән.

МУХЭММЭСДЭ ИШЛЭНЭН ВЭ ЧАТИН АНЛАШЫЛАН СӨЗЛЭРИН  
ЛҮГЭТИ

танигэ	—аллаха
булди	—тапды.
рөнэг	—көзэллик, парылы.
сүбнан	—мүгэддэс.
фэрз	—вачиб
шолһэггэ	—бу һэггэ.
бимүнтэх	—нэһајтсиз,
чэли	—ајдын.
ширк	—мүшрикли克, чохаллаһылыг.
хејрүл-хэлэф	—евладын яхшысы.
jenki	—таза.
кинэ	—кин, гээб.
э'дасы	—дүшмэнлэри.
ниран	—од, алов.
иёсэд	—пахыллыг.
атэши-сузан	—ланырычи од.
шэфгэгт	—нэвазиш
ачгај	—ачыб.
ислаигэ	—ислама.
лива	—бајраг.
бэрмэла	—ачыг, ајдын.
бэзл	—бахшыш.
кани-сэха	—сөхавэл мэнбэжи.
килтурди	—кэтирди.
иэфратэ	—нефт.
алгај	—алмыш.
хэлг ара	—халг арасында.
зэр кани	—гызыл мэнбэжи
гэмусиндэн вэра	—hamысындан айры
пэртэви-мөнри-чэлалэлт	—чөлал күнэшинин ишигы.
Бакуға	—Бакыя.
чэла	—парылты, ајдынылыг.
рөвшэн	—ишиг.
дэрбан	—галичы.
бэрг	—парылты.
гылгай күзар	—кузэр седиб, кэлиб.
тиги-нүсрэтини	—галибијэт гылынчыны.
сэдд	—наасар, дивар.
э'да	—дүшмэн
јеткэч	—чатчаг.
тэгрир	—ајдын данышмаг, изаһ етмэк.
тэксир	—чохалтмаг.
кокеб	—улдуз,
һэр гэјэ	—һэр јер.
шэрмэндэ	—пис олмаг, күлүнч һала дүшмэк.
гэндэ	—нарада.
имран	—абадлашдырмаг.
мунгад елэди	—итаэтэ кэтирди, табе етди.
дилладэ	—үрэк верэн.
фөтни-биарам	—арасы кэсилмэжэн галибијэт.
бинэсиб	—гисмэтсиз, пајсыз
гэмү	—hamы
дэбир	—катиб
махи- мунир	—ишиглы ај.
дүррэфшан	—инчисачан
мордад	—V Иран аյы (23. VII—22. VIII)

Дж. Рамзи Исмайл-заде

ОБ ОДНОМ ПЯТИСТИШЬЕ

Подобно тому, как мы до сих пор не располагали какими-либо сведениями о жизни и творчестве Хасан-оглу (XIII—XIV в.) из Асфараина, известного нам первого поэта, писавшего на азербайджанском языке, в литературных и исторических источниках не содержится никаких сообщений и об его современниках.

Во время научных поисков нами было обнаружено пятистишие бакинского поэта Насира, посвященное Султану Мухаммеду Улджайту Худабенду, освободившего бакинцев от ряда налогов и давшего указы о благоустройстве города, Учитывая, что данное пятистишие не было опубликовано, мы сочли полезным довести его до сведения научной общественности.

J. Ramzi Ismail-zade

ABOUT A POEM BY NASIR OF BAKU

At present no information is available about the life and the social environment as well as about the contemporaries of the first Azerbaijan poet Hasan-oglu of Asfaran (XIII—XIV c.), who wrote in his native tongue. One of Hasan-oglu's contemporaries was the Azerbaijan poet Nasir of Baku, who also wrote his poems in the native Azerbaijan language.

In the course of our investigations we happened to come across a poem by Nasir which was dedicated to Sultan Mohammad Uljait Khudaband.

Here for the first time we present Nasir's poem which is now the only available one.

## УКАЗАТЕЛЬ

статьей, опубликованных в журнале  
«Доклады АН Азербайджанской ССР»  
в 1977 году.

### Дифференциальные уравнения

Ахиев С. С. О построении сопряженных уравнений в линейных функционально-дифференцированных системах, № 6, стр. 3.

### Функциональный анализ

Абдуллаева Г. Г., Мусаев Б. И. Регуляризация особого интеграла по разомкнутому контуру, № 12, стр. 8.

Агаев Г. Н., Гамидов В. С. О приближенном решении одного линейного интегрального уравнения в пространстве аналитических функций, № 11, стр. 7.

Реда Амин Эль Баркуки. Существование равновесия в экономиках с баанаховым пространством товаров, № 5, стр. 8.

### Вычислительная техника

Гулиев М. А. Сетки с изменяющейся во времени структурой для моделирования подвижного температурного поля нефтяного пласта, № 8, стр. 18.

### Теория функций

Оруджев Г. А., Ибрагимов Ф. И. О сходимости некоторых несобственных интегралов с применением к задачам интерполяции, № 7, стр. 3.

### Теория полугрупп

Бабаев Э. А.  $\Sigma$  — плотные идеалы полугруп, № 8, стр. 3.

### Кибернетика

Багиров А. М. О скользящих режимах в системах гиперболического типа, № 2, стр. 14.

### Техническая кибернетика

Алиев Т. А. Некоторые методы статистического анализа случайных многомерных процессов в реальном масштабе времени, № 7, стр. 11.

Гулиев М. А. Прямая схема моделирования нестационарного температурного поля при наличии источников, учитываемых дельта-функций Дирака, № 9, стр. 6.

### Математика

Абилов В. А. Приближение непрерывных функций арифметическими средними частных сумм ряда Фурье-Лагерра, № 9, стр. 3.

Алиханова Р. И. Краевые задачи для одного класса квазилинейных параболических уравнений, № 3, стр. 3.

Аллахвердиев Дж. Э., Фарбер М. Ш. Об одной геометрической экстремальной задаче, № 2, стр. 10.

Аллахвердиев Дж. Э., Аллахвердиева Н. К. О задаче оптимального управления для дифференциально-операторного уравнения в гильбертовом пространстве, № 8, стр. 3.

Ахвердиев К. С. Нелинейные эффекты воздействия вязко-пластичной смазки на шин подшипника скольжения, № 12, стр. 13.

Байрамоглы М. О. О существенной самосопряженности операторного управления Штурма—Лиувилля, № 5, стр. 3.

Буяятов М. Р., Нагиев А. М. О приближении непрерывных функций со значениями из топологического полуполя, № 4, стр. 3.

Буяятов М. Р., Байрамов С. А. К-теория на категории булевых алгебр с замыканием, № 12, стр. 3.

Гусейнбекова А. М. Однозначная разрешимость нелинейного разрывного эллиптического псевдодифференциального уравнения с параметром в пространстве, № 1, стр. 3.

Чл.-корр. Максудов Ф. Г., Пашаев Э. Э. Четырехкратное разложение по собственным функциям несамосопряженного дифференциального оператора 4-го порядка на полуоси  $(0, \infty)$ , № 10, стр. 3.

Мамедов К. Ш. Задача агрегации системы нелинейных диофакторовых уравнений, № 2, стр. 3.

Оруджев Г. А. О сходимости одного интерполяционного процесса для мероморфных функций, № 2, стр. 6.

Оруджев Г. А., Ибрагимов Ф. И. Об области сходимости некоторых собственных интегралов, № 6, стр. 8.

Рага Мухаммед Баха Эль-Дин Агами. Близостные и равномерные булевые алгебры, № 11, стр. 11.

Рагимова Э. А. О полноте системы собственных и присоединенных элементов несамосопряженных операторов, рационально зависящих от спектрального параметра, № 8, стр. 12.

Шафиев Р. А. Формулы для вычисления псевдообратного оператора, № 11, стр. 3.

Эйвазов Э. Г. Разложение по решениям задачи теории рассеяния для оператора  $H_\alpha + q(x)$ , № 10, стр. 8.

Якубов С. Я., Шахмурев В. Б. Теоремы вложения и теоремы о следах в анизотропных пространствах вектор-функций, № 11, стр. 16.

### Автоматика

Абдуллаев А. А., Султанов И. М., Мальян В. М. К вопросу построения модели источника ошибок в УКВ радиоканале, № 1, стр. 7.

### Механика

Акад. Аменизаде Ю. А., Ибрагим Эльтахер Мухаммед Мухаммед. Равновесие бесконечной упругой полосы с эксцентрическим эллиптическим отверстием, № 10, стр. 21.

Ахвердиев К. С. Нелинейная задача о неустановившемся движении вязко-пластичной жидкости шином и подшипником, № 11, стр. 19.

Гусейнов Е. Г. Задачи идентификации фильтрации газированной жидкости, № 7, стр. 7.

Акад. АН Азерб. ССР Мирзаджанзаде А. Х., Чилап А. Я. К решению статистически неопределенных задач, № 5, стр. 19.

### Механика жидкостей

Ахвердиев К. С. О движении вязко-пластичной смазки в подшипнике, № 3, стр. 7.

Чл.-корр. АН Азерб. ССР Максудов Ф. Г., Хабеев Н. С., Гаджиев В. Б., Нагиев Ф. Б. Влияние процессов тепло- и массообмена на динамику паро-воздушных пузырьков в воде, № 5, стр. 13.

### Астрономия и небесная механика

Мамедов М. А. О динамике орбит гипотетических комет с обратным движением, № 4, стр. 10.

### Прикладная механика

Агаев Н. Г., Веригин Н. Н. Температурное поле пласта при закачке горючего агента в ряд скважин, № 4, стр. 6.

Саркисов В. Г., Семенова И. И. О динамическом воздействии волн на гидротехническое сооружение, № 10, стр. 26.

Фильковский Л. М. О предельном равновесии тампонажных растворов, № 1, стр. 12.

## Физика полупроводников

Абдуллаев Г. Б., Ибрагимов Н. И., Ибадов А. Х. О возможности направленного изменения проводимости аморфного селена, № 1, стр. 16.

Абдуллаев Г. Б., Тагиев Б. Г., Нифтисев Г. М. Ток термостимулированной деполяризации и поляризации в монокристаллах GaSe: Ge, № 4, стр. 14.

Абуталыбов Г. И., Касумов Т. Г., Гусейнов Д. Т., Нани Р. Х. Экситонное поглощение в монокристаллах AgGaSe<sub>2</sub>, № 12, стр. 21.

Каджар Ч. О., Кулиев В. А., Мамедбейли И. А., Салаев Э. Ю. Влияние постоянного фазового сдвига на работу электрооптического модулятора, № 11, стр. 39.

## Физика полупроводников и диэлектриков

Абдуллаев Г. Б., Шабалов А. Л., Абдуллаев А. Г., Гусейнова М. С. Исследование особенностей роста диэлектрических пленок окиси алюминия в процессе электрохимического анодирования, № 1, стр. 19.

Абдуллаев Г. Б., Абуталыбов Г. И., Салаев Э. Ю., Собехи М. А., Тагиров В. И., Салманов В. М. Резонансное излучение TeSe в области сплошного спектра, № 6, стр. 13.

Абдуллаев Г. Б., Агаев В. Г., Мамедов Н. Д., Нани Р. Х. О кинетике разрядки электрофотографических слоев, изготовленных на основе CdInCas<sub>4</sub>, № 8, стр. 32.

Абдуллаев Г. Б., Аллахвердиев К. Р., Виноградов Е. А., Жини Г. Н., Мельник Н. М., Нани Р. Х., Салаев Э. Ю., Сардарлы Р. М. О возможности фазового перехода в TiCaSe<sub>2</sub>, № 11, стр. 26.

Алиев М. И., Гашимзаде Фирзуза М., Джаббаров Р. М. Влияние анизотропии изоэнергетических поверхностей тяжелых дырок на коэффициент Холла в  $p=InSb$ , № 9, стр. 15.

Алиев М. И., Даубов А. З., Исмаилов И. А. О влиянии сильной непарности на отрицательное магнитосопротивление в Cd<sub>0.1</sub>Hg<sub>0.9</sub>Te, № 10, стр. 12.

## Физика полупроводниковых приборов

Абдуллаев Г. Б., Искендер-заде З. А., Миллер Ю. Г., Рзаев С. Г., Джаярова Э. А., Ахундов М. Р., Алиханова Ш. А. Электрические свойства  $p=n$  структур малой площади в тонких эпитальных планках кремния, № 7, стр. 17.

## Теоретическая физика

Сулайманов А. М. Параметрическое возбуждение электронно-ядерных-спиновых волн в индуцированных ферромагнетиках, № 8, стр. 26.

## Физика твердого тела

Алиев М. Н. Теория ядерного магнитного резонанса в диамагнитных кристаллах с примесями парамагнитных ионов, № 11, стр. 31.

## Физика

Абдинов А. Ш., Казым-заде А. Г., Ахмедов А. А. Полевое гашение остаточной фотопроводимости в монокристаллах InSe, № 8, стр. 36.

Алиев М. И., Гасанов З. И. Об эффективной массе электронов в AgFeTe<sub>2</sub>, № 11, стр. 36.

Чл.-корр. АН Азерб. ССР. Алиев М. Н., Даубов А. З., Исмаилов И. А. О влиянии смешанного механизма рассеяния на отрицательное магнитосопротивление в  $n=InSb$ , № 12, стр. 26.

Вердиев И. А., Раджабов Б. А. Контракция представлений группы Де Ситтера, № 8, стр. 22.

Горин Ю. В., Мусаев Б. Г. Спектры излучения лавинной короны в воздухе, № 2, стр. 17.

Гулиев Н. А., Джаяров И. Г., Мустафаев Х. А. Радиационное рассеяние антинейтрино на электроне в теории Вайнберга-Салама, № 1, стр. 25.

Джаяров И. Г. К вопросу о массе нейтрино, № 5, стр. 16.

Джаяров И. Г., Султанов С. Ф. К вопросу о структуре нейтральных слабых токов, № 10, стр. 15.

Исмаилов Ф. И., Зайтов Ф. А., Гориков А. В., Аскеров Д. Г. Исследование диффузии индия в системе GaSe - GaS, № 6, стр. 16.

Касумов Т. К., Гусейнов Д. Т., Нани Р. Х. Исследование тока, ограниченного пространственным зарядом в монокристаллах, № 2, стр. 20.

Мамедов К. К., Алджанов М. А., Керимов И. Г., Мехтиев М. И.

Теплоемкость и характеристика колебательного спектра некоторых слоистых кристаллов, № 7, стр. 22.

Мехтиев М. А. К теории тамновских поверхностных уровней, № 3, стр. 19.

Мехтиев М. А. Поверхностные тамновские уровни полуметаллических  $p-Hg_{1-x}Gd_xTe$ , № 4, стр. 19.

Мехтизаде Р. Н. Подвижность ионов в смесях элегаза с азотом, № 3, стр. 14.

Сейдов Ю. М., Абдуллаев Н. Г. Параметрическое возбуждение поверхностных магнитоупругих волн в ферромагнетиках, № 9, стр. 10.

Физика полимеров.  
Видади Ю. А., Халилов С. Х., Бархалов Б. Ш., Коcharli К. Ш., Рагимов А. В. Токи монополярной инжекции в органическом полупроводнике поли- $\alpha$ -нафтоле, № 3, стр. 26.

## Биофизика

Джафаров А. И. Хемилюминесценция консервированных суставных концов костей при длительном хранении, № 1, стр. 59.

Касумов Х. М., Кожокару А. Ф., Перелыгин В. В., Мамедов Ш. В. Исследование действия органических соединений селена на дыхательную цепь митохондрий, № 10, стр. 30.

## Геофизика

Исмаил-заде Т. Л., Рутман А. М. К вопросу оценки кучности при статистической обработке палеомагнитных данных, № 6, стр. 40.

## Энергетика

Азимов Б. А., Кремер Д. М. Исследование соотношений коэффициентов максимумов по предельной температуре и тепловому износу изоляции при определении расчетной мощности силовых трансформаторов, № 9, стр. 19.

## Тектоника

Алиханов Э. Н., Буният-заде З. А., Гоберман К. И., Гусейнов Т. П. Поднятие Достлуг — новый объект для поисков нефти и газа на Каспийском море, № 7, стр. 44.

Гусейн-заде О. Д. Роль разрывных нарушений в дифференциации современных тектонических движений, № 2, стр. 26.

Гульдуст М. А. Новые взгляды на тектоническое строение района Куринской дельты и некоторые предпосылки поисков залежей нефти и газа, № 9, стр. 71.

Джиди Г. А., Оруджев А. Ш. О новооткрытом памятнике Гявуркала в Шемахинском районе, № 9, стр. 71.

Мамедов Т. А., Гаджиев Б. А. Строение Казахского прогиба и его северо-восточной части по подошве верхнего мела (Малый Кавказ), № 5, стр. 39.

## Литология

Мехтиев Ш. Ф., Тер-Карапетянц Ж. Н., Алиев А. А. О характере изменения величины открытой пористости пород коллекторов некоторых нефтегазовых залежей Нижнекуринской депрессии, № 9, стр. 50.

Акал. Султанов А. Д., Кравчинский З. Я. Корреляция красноцветных отложений поднятий Челекено-Ливановской зоны — Гограньдаг-Окаремского района и перспективы нефтегазоносности восточного шельфа Южного Каспия, № 2, стр. 33.

Султанов А. Д., Халилбейли Ч. А., Кравчинский З. Я. О промышленных коллекторах нижнекрасноцветных отложений Челекено-Ливанской зоны поднятия, № 4, стр. 50.

## Стратиграфия

Алиев Р. А. Берис-валанжин азербайджанской части южного склона Большого Кавказа и его палеонтологическое обоснование, № 2, стр. 42.

Алиюлла Х., Кашкарлы Р. О. Первые находки иппопланктона в меловых и палеогеновых отложениях Азербайджана, № 2, стр. 45.

Аллахвердиев Г. И., Шихалибейли Н. Э. О возрасте карбонатной толщи юго-восточного окончания Тоургачайского синклиниория и ее палеотектоническом значении (алый Кавказ), № 2, стр. 38.

Гасанов Т. А., Кулиев З. К., Бабаев Ш. А. Установление верхнесантонских отложений в районе с. Каракаха (Гочасский синклиниорий), № 8, стр. 46.

Мусаев А. Н., Бабаев Ш. А. О наличии аптских отложений в ущелье реки Аракс (ЮВ часть Малого Кавказа), № 3, стр. 45.

## Оптимизация и оптимальное управление

Азимов Б. А. Математическая модель задачи оптимальной компенсации реактивной мощности с учетом случайного характера ее потребления и генерации, № 7, стр. 29.

## Гляциология

Чл.-корр. Будагов Б. А. К вопросу о четвертичном оледенении Юго-Восточного Кавказа, № 2, стр. 48.

## Общая и физическая химия

Алекперов Г. А. К вопросу о механизме разложения циклогексана в тлеющем разряде в смеси циклогексан-argon, № 11, стр. 44.

## Химия

Кязимова Т. Г., Бабаев Р. С., Байрамов А. А. Стереохимия диеновой конденсации аллиловых эфиров хлоруксусных кислот с циклическими диенами, № 12, стр. 34.

Мамедов Х. С., Алекперов Р. А., Магеррамов А. И., Амирасланов И. Р., Мусаев Ф. Н., Мовсумов Э. М. Синтез и рентгеноструктурное исследование комплексов металлов Ni (II), Cd (II), Cu (II), Zn (II) бензойной и монотиобензойной кислот, № 4, стр. 31.

Тагиев Д. Б., чл.-корр. АН Азерб. ССР Зульфугаров З. Г. Исследование каталитических свойств природного клиноптиолита в окислительном дегидрировании углеводородов, № 12, стр. 38.

## Органическая химия

Агаев М. Э., Мамедов С. С. Синтез некоторых производных гексенфосфорной кислоты, № 5, стр. 32.

Джафаров В. А., Кязимов Ш. К., Аббасова С. Д. Изучение механизма конденсации галогеналкоксии производных тиозихлоридрина со спиртами, № 11, стр. 49.

Гасанов К. Г., Алиев С. М., Ахмедов В. С., Джафарова Р. А., Исмаилов М. М. Синтез и исследование триметил (*n*-изопропенилфенокси) слюда, № 10, стр. 35.

Караев С. Ф. Спектро-структурные корреляции в ряду кислородсодержащих гомопропаргильных систем, № 4, стр. 43.

Кулиев А. М., Агаев Г. А., Кулиева Н. Н. Синтез эфиров непредельных  $\beta$ -замещенных глицидной кислоты, № 6, стр. 27.

Кулиев А. М., Шахгельдиев М. А., Алиев И. А. Новый способ получения трет-алкиларилсульфидов, № 9, стр. 25.

Кулиев А. М., Гусейнов К. З., Алиев Н. А., Ибадзаде А. К., Ибрагимов Н. Ю. Синтез диалкиловых эфиров меркаптоитарной кислоты и конденсация их с формальдегидом и вторичными аминами, № 11, стр. 53.

Курбанов С. Е., Ахмедов И. М., Гасанов Ф. Г., Раджабов Д. Т. Синтез и некоторые превращения 1-арил-селено-2,3-эпоксипропана, № 6, стр. 23.

Мамедов Э. Г., Ахмедов И. М., Гусейнов М. М., Конденсация бутадиена-1,3 с (-)-ментилакрилатом и (-)-ментилметакрилатом, № 1, стр. 34.

Мамедов Ш. А., Гасанов К. Г., Ахмедов В. С. Спектры протонного магнитного резонанса производных 3-хлор-1 ( $\beta$ -оксиэтокси) пропанола-2, № 9, стр. 29.

Мехтиев Д. С., Сафаров Р. Г., Нариманбеков О. А. Интерпретация реакционной способности толильных радикалов (реакции Фиттинга), № 3, стр. 22.

Мовсумзаде М. М., Кязимов А. С., Сафарова З. А., Сейдов М. А. Эпоксидирование  $\alpha_1\beta$ -ненасыщенных кетоокисей, № 3, стр. 32.

Мовсумзаде М. М., Гурбанов П. А., Ходжаев Г. Х., Сейдов М. А. Взаимодействие  $\beta_1\beta^1$  — дигалогенидикальвовых эфиров со спиртовым раствором едкого калия и фенолятом калия, № 7, стр. 48.

Садыхзаде С. И., Курбанов С. Б., Пашаев З. М., Абдуллаева Л. С. Синтез непредельных моно- и диэпоксикетонов, № 6, стр. 19.

## Физическая химия

Гаджи-Касумов В. С., Ахмедзаде М. Д. О механизме реакции дегидрогенизации изопентана на окиси хрома, № 12, стр. 43.

Чл.-корр. Марданов М. А., Мамедов А. П., Мардухасов В. Р., Найджирова М. А., Салаев Э. Ю. Спектры ЭПР-центров, индуцированных ионизирующим излучением в некоторых хлоридах алкиламмония, № 10, стр. 38.

Наджафова М. А., Шарпатый В. А. О превращениях радикалов в облученном глюкозамине и N-ацетилглюкозамине, № 8, стр. 41.

## Молекулярная спектроскопия

Кондратов О. И., Абилова Т. С., Ахмедов Р. М., Мехтиев С. Н. ИК-спектры и нормальные колебания некоторых аминонитрилов, № 12, стр. 29.

## Геохимия

Гулиев И. С., Фейзуллаев А. А. О некоторых особенностях газовыделений минеральными водами Азербайджана, № 3, стр. 40.

Дадашев А. М., Гулиев И. С., Галант Ю. Б. К геохимической характеристике газов колчедано-полиметаллических месторождений южного склона Большого Кавказа, № 10, стр. 42.

Кашкай М. А., Мартirosyan R. A., Боровская Ю. Б., Бабаев И. А. О боре в алутиках, № 6, стр. 43.  
Фейзуллаев А. А., Гулиев И. С. О масштабах естественных потерь гелия с территории Азербайджана, № 7, стр. 41.

## Биохимия

Ибрагимов Т. Т., Алиев Д. А., Клименко В. Г. Разделение суммарных белковых экстрактов семян некоторых бобовых, выращенных в различных экологических условиях, гельфильтрацией на сефадекс Г-200, № 6, стр. 56.

## Кристаллохимия

Амаков А. З., Кукина Г. А., чл.-корр. АН СССР Порай-Кошиц М. А. Строение комплексов бис-диэтилдитинкарбамата платины, № 4, стр. 23.

Амаков А. З., Кукина Г. А., чл.-корр. АН СССР Порай-Кошиц М. А. Сопоставление кристаллических структур бис-диэтилдитинкарбаматов платины и никеля, № 5, стр. 24.

## Агрономия

Гюльахмедов А. Н., Агаев Н. А. Влияние микроэлементов в сочетании с макроудобрениями на урожай зерна озимой пшеницы, № 4, стр. 56.

Гюльахмедов А. Н., Агаев Н. А., Агаев И. Д., Джафаров Я. Н. Влияние микроэлементов на урожай и качество зерна озимой пшеницы, № 5, стр. 52.

Гюльахмедов А. Н., Агаев Н. А., Агаев И. Д., Джафаров Я. Н. Значение соотношения микроэлементов с основными макроэлементами в питании хлопчатника, № 6, стр. 52.

## Геология

Султанов Ч. А. Метод оценки начальных балансовых запасов нефти для разрабатываемых нефтяных залежей (на естественном режиме без газовой шапки), № 1, стр. 50.

Халилов А. Д., Джафаров Н. Х., Мамедов Х. С. Кристаллическая структура наукаизита —  $\text{Na}_6[\text{Fe}^{2+} \cdot (\text{Si}_1\text{Al}_6\text{Si}_2\text{O}_{25})]$ , № 7, стр. 35.

Шихалибейли Э. Ш., Коробанов В. В., Мустафаев С. С. Новые данные о наличии ааленских отложений в восточной части склона (Лагичские горы) Большого Кавказа, № 11, стр. 66.

## Грязевой вулканализм

Якубов А. А., Григорьянц Б. В., Алиев А. А., Кастрюлин Н. С., Рахманов Р. Р. К извержению грязевого вулкана Агиур Южного Кубистана, № 3, стр. 35.

## Геоморфология

Абасов М. А. О денудационном срезе и количественной оценке неотектонических движений на территории Нахичеванской АССР, № 1, стр. 42.

## Геология нефти и газа

Буряковский Л. А. Теоретическая модель распределения запасов угля в недрах, № 12, стр. 46.

## Геология нефти

Дадашев Р. М., Салуинов А. Г., Мамедов Г. А. АВПД и некоторые сопутствующие процессы, № 6, стр. 32.

## Нефтехимия

Эфендиев А. Д., Алиева С. А., Ибрагимов Я. С., Шахтахтийский Т. Н. Исследование реакции гексахлорбутадиена в газовой фазе, № 4, стр. 34.

## Разработка нефтяных месторождений

Гусейнзаде О. Д. Новый взгляд на разработку нефтяных месторождений сейсмоактивных зон (на примере Ашхеронского п-ва), № 4, стр. 37.

## Разработка газовых и газоконденсатных месторождений

Абасов М. Т., Оруджалиев Ф. Г., Ахмедов А. А., Джографова Н. М. К совершенствованию методов проектирования разработки газоконденсатных месторождений, № 11, стр. 59.

## Гидрогеология и гидрохимия

Тамразян Г. П., Мансуров К. Т. О тенденциях в изменении солености вод Ашхеронского яруса в пределах северо-западного борта Южно-Каспийской впадины, № 5, стр. 35.

## Минералогия

Велизаде С. Ф., Эфендиева Э. Н., Нагиев Н. Ф. О вибропланите из кальцита месторождения, № 11, стр. 62.

Мамедов А. И., Махмудов С. А., Ширмамедов А. К. Актинолит из контактовой зоны гранитондов бассейна р. Тутхун, № 1, стр. 47.

Хеиров М. Б. Сопоставление глинистых минералов красноцветной толщи Западной Туркмении и продуктивной толщи Азербайджана, № 5, стр. 43.

## Гидрогеология

Мамедов Т. А., Кязимов С. М., Абадов Б. А. Региональные ресурсы подземных вод Кировабад-Казахской наклонной равнины, № 4, стр. 47.

## Океанология

Мамедов Г. М. О влиянии силы кориолиса на характер распределения течений Каспийского моря, № 6, стр. 36.

## Медицина

Алиев М. Б. К патоморфологии первого аппарата почки при ее нефроциррозах (артериосклеротическом, атеросклеротическом и др.), № 4, стр. 60.

Ахмедов И. А. Состояние вопроса изучения изменений первого аппарата удаленных аппендиксов, № 6, стр. 60.

Акад. АН Азерб. ССР Ахундов В. Ю. Некоторые итоги и перспективы научных исследований по экологии вирусов в Азербайджане, № 5, стр. 62.

Курбанов М. К., Шиддия М. А. Состояние симпатико-адреналовой системы у здоровых детей различных возрастных групп, № 2, стр. 63.

Кулиев З. Т., Каграманов К. М., Сейдова К. Г., Эфендиева Л. Г. Действие эфирных масел некоторых видов чабреца, произрастающих в Азербайджане, на электроэнцефалограмму, электрорегистриограмму и офтальмотонус, № 7, стр. 71.

Мелик-Асланова М. С., Алиева З. А. Морфологические исследования некоторых органов экспериментальных животных (кроликов), находившихся в условиях повышенной концентрации йода, № 1, стр. 52.

Муталибов Н. А., Качалина И. Я., Гусейнов А. Г. Реографические исследования брюшного отдела аорты, 7, стр. 65.

## Фармацевтика

Шукюров Д. З., Дамиров И. А. Изучение козлятника (галега) восточно-го из флоры Азербайджана, № 7, стр. 76.

## Охрана природы

Алиев Г. А. Влияние отходов промышленности на окружающую среду, № 11, стр. 39.

## Растительные ресурсы

Касумов М. А. Марена жестколистная *Rubia rigidibolla* Pojark.—перспективное красильное растение Азербайджана, № 2, стр. 56.

## Ботаника

Казанфарова В. К. Новые виды из родов *Minuartia* L., *Ellsanthe* (Fenzl) reichb. (*Caryophyllaceae* Juss.) и *Phellpaea* Desf. (*Orobanchaceae* Lindl.) для флоры Нахичеванской АССР, № 10, стр. 46.

Новрузов В. С. О новых для науки типиках с высокогорий Большого Кавказа (в пределах Азербайджана), № 3, стр. 50.

Новрузова З. А. Структурные особенности компонентов древостоя лесов северо-запада Турции, № 5, стр. 48.

## Анатомия растений

Новрузова З. А., Аббасова В. С., Аскеров А. М. Структурная специализация скальных папоротников, № 9, стр. 37.

Акад. Тутаюк В. Х., Мустафаева М. Г. Покровный комплекс и устьичный аппарат у можжевельников Азербайджана, № 10, стр. 48.

## Селекция растений

Ахундзаде И. М., Зейналов С. Б. Изучение роста и развития некоторых сортов роз в Куба-Хачмасской зоне, № 12, стр. 58.

Джафаров Н. А., Алекперова О. Р., Турчанинова Л. В., Тагиева Л. А. Морфолого-анатомические особенности листа межвидовых полиплоидных гибридов шелковицы, № 3, стр. 53.

## Систематика растений

Аскеров А. М. Новые данные о папоротникообразных Кавказа, № 8, стр. 49.

## Физиология растений

Али-заде М. А., Султанов Я. Г. Влияние засухи на развитие и продуктивность некоторых сортов ячменя, выращенных в условиях богары, № 4, стр. 63.

Али-заде М. А., Алиев Р. Т. Изменение отношения лабильной ДНК к стабильной в соматической клетке пшеницы в связи с гетерозисом, № 5, стр. 39.

## Генетика

Али-заде М. А., Шарифзаде С. И. Нуклеиновые кислоты у пшеничино-этиловых гибридов, № 8, стр. 62.

Али-заде М. А., Гаджиева Ш. И. Стимуляция гуминовой кислотой процессов роста и нуклеинового обмена у растений, № 9, стр. 34.

Мустафаев И. Д., Пиралов Г. Р. Гибриды диких пшениц с *Secale sibiricum*, № 8, стр. 58.

## Акарология

Кулиев К. А. *Flexa Kulljiev nov. gen.* Типовой вид *Carabodes Dubius Kulljiev*, 1968. Семейство Carabidae C. L. Koch., 1837, № 4, стр. 64.

Кулиев К. А. Типовой вид *Gendzell Cribraria*, № 8, стр. 55.

## Микробиология

Исмаилов Н. М. Окисление 2-метилнафталина дрожжами рода *Condida*, № 4, стр. 68.

## Почвоведение

Чл.-корр. АН Азерб. ССР Алиев С. А., Гусейнов М. М. Сезонная динамика ферментативной активности в горных черноземах, № 10, стр. 53.

Чл.-корр. АН Азерб. ССР Алиев С. А., Шыхов А. М. Физико-химические свойства гуминовых кислот горно-лесной почвы Ленкоранской зоны, № 5, стр. 55.

Бабаев М. П. Изменение почвенных процессов под влиянием орошения, № 6, стр. 48.

Мамедов Р. Г., Гасанов Ю. Г. Влияние лесных насаждений на агрофизические свойства сероземно-луговых почв Ширванской степи, № 9, стр. 45.

## Зоология

Агамалиев Ф. Г. Экология планктона инфузорий Каспийского моря, № 9, стр. 42.

## Гистология и эмбриология

Наджафов Д. А. Влияние некоторых факторов на внутриутробное развитие скелетных мышц овец, № 7, стр. 53.

## Гельминтология

Файзуллаев Н. А., Литвинов В. П., Литвинов В. Ф. *Trichinella spiralis* в хищных млекопитающих Кызыл-Агачского заповедника, № 2, стр. 61.

## Палеонтология

Асланова С. М. Новый род китообразных *Altropatenocetus Posteocenicus* gen. et sp. nov. из олигоцена Азербайджана, № 7, стр. 60.

Касимова Г. К., Алиева Д. Г. Новые виды группы *Planularia risarinella* юрских отложений Азербайджана, № 9, стр. 55.

## География

Ширинов Н. Ш., Кулузаде В. А. О приуроченности речных долин к линиям тектонических нарушений и о возможной рудогенетической роли некоторых из них (на примере северо-восточного склона Малого Кавказа), № 12, стр. 53.

## История

Буинятов З. М., Искендеров Д. А. Описание инженерного сооружения в Маранде в сочинении Шамс ад-Дина Мухаммеда ад-Димашки, № 8, стр. 65.

Буинятов З. М. Об одном историческом недоразумении, № 2, стр. 67.

Дадашев С. У. К изучению Средневекового караванного пути (Низабад-Алтыагач-Шемаха), № 7, стр. 82.

Кулиев А. А. О редких рукописях «Хакикат ал-Хака «ик» Хаджи Мухаммед-Али Ширвани, № 4, стр. 71.

Пиринев В. З. Генеалогическая таблица Хулагуидов, № 2, стр. 70.

Пиринев В. З. О термине «Букаул», № 12, стр. 63.

## Этнография

Мустафаев А. Н. Этнографические наблюдения об одном из неизученных ремесел в Азербайджане, № 2, стр. 74.

## Археология

Аразова Р. Б., Махмудов Ф. Р., Нариманов И. Г. О поселении Джинните, № 6, стр. 64.

Нариманов И. Г. К истории древнейшего скотоводства Закавказья, №, 10, стр. 56.

Селимханов И. Р., Кесамаилы Г. П. Новейшие археологические находки оловянных предметов в Азербайджане и результаты их спектрального анализа, № 3, стр. 60.

## Архитектура

Мамедов Р. Об одной проблеме мугамного принципа мышления, № 10, стр. 60.

## История литературы

Акперов Т. В. Неизвестные рукописи произведения Хатан Тебризи «Юсиф и Зuleйха», № 5, стр. 68.

Исмаил-заде Дж. Рамзи. Об одном пятистишии, № 12, стр. 67.

## Эстетика

Рзаев И. Н. Роль азербайджанской сказки в формировании эстетического идеала, № 11, стр. 69.

## Востоковедение

Рагимов Абульфаз. Стихи Султана Ахмеда, посвященные Абдулгадиру Мараги, № 5, стр. 73.

## Топонимика

Будагов Б. А., Алиев А. И. Дастаны «Китаби Деде Коркут» как источник изучения топонимики Азербайджана, № 9, стр. 61.

## Текстоведение

Фатиев М. И. О рукописях двух старинных «диванов» Салмана Саведжи, № 1, стр. 66.

## МУНДЭРИЧАТ

### Ријазијјат

М. Р. Бунијадов, С. А. Бајрамов. Гапанма әмалијјатлы Бул чөбрләри категоријасында *K*-нээрийјәси . . . . . 3

### Функционал анализ

Г. Г. Абдуллајева, Б. И. Мусајев. Ачыг контур үзэр хүсүси интегралын регулярлышдырылмасы . . . . . 8

### Ријазијјат

К. С. Нагвердијев. Өзлүлү-пластик мајенин шинә гејри-хәтти тә'сириниң эффектин . . . . . 13

### Жарымкечиричиләр физикасы

И. И. Абуталыбов, Т. Г. Гасымов, Ч. Т. Һүсейнов, Р. Н. Нани.  $\text{AgGaSe}_2$  монокристалында экспонат удулмасы . . . . . 21

### Физика

М. И. Элијев, А. З. Даибов, И. Э. Исмајылов. Сәпилмәнин гарышыг механизминың мәни магнитомагнитомагниттәр тә'сирин . . . . . 26

### Молекулjar спектроскопијасы

О. И. Кондратов, Т. С. Эбилова, Р. М. Эһмәдов, С. И. Мендијев. ИГ-спектрләр вә бир сырь аминонитрилләрин нормал рәгсләри . . . . . 29

### Кимја

Т. Н. Казымова, Р. С. Бабаев, А. Э. Бајрамов. Хлорсиркә туршулары аллил ефиirlаринин тенцилик динкләрлә динен конденсацијасының стерео-кимјасы . . . . . 34

Д. Б. Тағијев, З. Н. Зүлфугаров. Карабонидрокенләрин оксидләшdirичи деңидрокенләшмә реакцијасында тәбин клиноптилитин катализитик хассаләринин өјрәнимләсү . . . . . 38

### Физики кимја

В. С. Һачыгасымов, М. Д. Эһмәдзадә. Хром-оксиди үзәриндә изопентаның деңидрокенләшмә реакцијасының механизми . . . . . 43

### Нефт вә газ қеолокијасы

Л. А. Бурјаковски. Йералты карбонидрокен етијатларының пајлайманының нээри модели . . . . . 46

### Кеолокија

Ч. Э. Султанов. Үзүн мүддәт ишләмеш нефт јатагларында нефтин илк баланс етијатының гијматләндирilmәси методу . . . . . 50

### Чографија

Н. Ш. Ширинов, В. Э. Гулузадә. Чай дәрәләринин тектоник позулушма хәтләри илә ујгуулугу вә онларын филиз тәзәнүрләринин ахтарышында ролу . . . . . 53

### Битки селексијасы

И. М. Ахундзадә, С. Б. Зејналов. Губа-Хачмаз зонасында бә'зи гызылкул сортларының бөјүмә вә инишифының өјрәнимләсү . . . . . 58

### Тарих

В. З. Пиринев. «Букаул» терминиң нағында . . . . . 63

### Әдәбијат тарихи

Ч. Рәмзи Исмајылзадә. Бир мұхәммәс нағында . . . . . 67

Кестәрчи . . . . . 72

## Палеонтология

- Асланов а. С. М. Новый род китообразных *Atropatenocetus Posteocenicus* gen. et sp. nov. из олигоцена Азербайджана, № 7, стр. 60.  
Касимова Г. К., Алиева Д. Г. Новые виды группы *Planularia risarinella* юрских отложений Азербайджана, № 9, стр. 55.

## География

- Шириев Н. Ш., Кулузаде В. А. О приуроченности речных долин к линиям тектонических нарушений и о возможной рудогенетической роли некоторых из них (на примере северо-восточного склона Малого Кавказа), № 12, стр. 53.

## История

- Буниятов З. М., Искендеров Д. А. Описание инженерного сооружения в Маранде в сочинении Шамс ал-Дина Мухаммеда ад-Димашки, № 8, стр. 65.  
Буниятов З. М. Об одном историческом недоразумении, № 2, стр. 67.  
Дадашев С. У. К изучению Средневекового караванного пути (Низабад-Алтыагач-Шемаха), № 7, стр. 82.  
Кулиев А. А. О редких рукописях «Хакикат ал-Хака «ик» Хаджи Мухамед-Али Ширвани, № 4, стр. 71.  
Пирисев В. З. Генеалогическая таблица Хулагуидов, № 2, стр. 70.  
Пирисев В. З. О термине «Букаул», № 12, стр. 63.

## Этнография

- Мустафаев А. Н. Этнографические наблюдения об одном из неизученных ремесел в Азербайджане, № 2, стр. 74.

## Археология

- Аразова Р. Б., Махмудов Ф. Р., Нариманов И. Г. О поселении Джинните, № 6, стр. 64.  
Нариманов И. Г. К истории древнейшего скотоводства Закавказья, №, 10, стр. 56.  
Селимханов И. Р., Кесамайлы Г. П. Новейшие археологические находки оловянных предметов в Азербайджане и результаты их спектрального анализа, № 3, стр. 60.

## Архитектура

- Мамедов Р. Об одной проблеме мугамного принципа мышления, № 10, стр. 60.

## История литературы

- Акперов Т. В. Неизвестные рукописи произведения Хатаи Тебризи «Юсиф и Зuleйха», № 5, стр. 68.  
Исмаил-заде Дж. Рамзи. Об одном пятистишии, № 12, стр. 67.

## Эстетика

- Рзаев И. Н. Роль азербайджанской сказки в формировании эстетического идеала, № 11, стр. 69.

## Востоковедение

- Рагимов Абульфаз. Стихи Султана Ахмеда, посвященные Абдулгадиру Мараги, № 5, стр. 73.

## Топонимика

- Будагов Б. А., Алиев А. И. Дастаны «Китаби Деде Коркут» как источник изучения топонимики Азербайджана, № 9, стр. 61.

## Текстоведение

- Фатиев М. И. О рукописях двух старинных «диванов» Салмана Саведжи, № 1, стр. 66.

## МУНДЭРИЧАТ

### Ријазијјат

- М. Р. Бунийадов, С. А. Бајрамов. Гапанма әмалијјатлы Бул чәбрләри категоријасында *K*-иээријјәси . . . . . 3

### Функционал анализ

- Г. Г. Абдуллајева, Б. И. Мусајев. Ачыг контур үзәр хүсуси интегралын регуллярлаштырылмасы . . . . . 8

### Ријазијјат

- К. С. Һагвердијев. Өзлүлү-пластик мајенин шинә гејри-хәтти тә'сириниң еффектті . . . . . 13

### Ярымкечирничиләр физикасы

- И. И. Абуталыбов, Т. Г. Гасымов, Ч. Т. Һүсейнов, Р. Н. Нани.  $\text{AgGaSe}_2$  монокристалында экзитон удулмасы . . . . . 21

### Физика

- М. И. Элијев, А. З. Даибов, И. Э. Исмаилов. Сәпилмәниң гарышынан механизминың мәнфи магнитомүгавимәтә тә'сирини . . . . . 26

### Молекулар спектроскопијасы

- О. И. Кондратов, Т. С. Эбилов, Р. М. Эһмәдов, С. И. Мендијев. ИГ-спектрләр вә бир сырь аминонитрелләрин нормал ရәгеләри . . . . . 29

### Кимја

- Т. Һ. Қазымова, Р. С. Бабаев, А. Э. Бајрамов. Хлорениркә түршүләри аллил ефирләrinин тенциклик динелләрлә дисен конденсацисының стерео-кимјасы . . . . . 34

- Д. Б. Тагијев, З. І. Зүлфүгаров. Карабонидрокенелләрниң оксидләшdirичи деңидрокенелешмә реакцијасында тәбии клиноптиолитин каталитик хассаларинин өјрәнилмәси . . . . . 38

### Физики кимја

- В. С. Һачыгасымов, М. Д. Эһмәдзадә. Хром-оксиди үзәрнинде изо-пентаның деңидрокенелешмә реакцијасының механизмы . . . . . 43

### Нефт из газ қеолокијасы

- Л. А. Бурјаковски. Йералты карбонидрокен ентијатларының пајланмасының иээрин модели . . . . . 46

### Кеолокија

- Ч. Ә. Султанов. Узун мүддәт ишләмиш нефт ятагларында нефтин илк баланс ентијатының гијматләндирilmаси методу . . . . . 50

### Чографија

- И. Ш. Шириев, В. Э. Гулузада. Чай дәрәләринин тектоник позулушма хәтләри ила ујгуулугу во онларын филиз тәзәнүрләринин ахтарышында ролу . . . . . 53

### Битки селексијасы

- И. М. Ахундзадә, С. Б. Зөяналов. Губа-Хачмаз зонасында бә'зи гызылкүл сортларының бөјүмә ва никшиафының өјрәнилмәси . . . . . 58

### Тарих

- В. З. Пирисев. «Букаул» термини һагъында . . . . . 63

### Эдәбијјат тарихи

- Ч. Рамзи Исмаилзадә. Бир мүхәммәс һагъында . . . . . 67

- Көстәрицин . . . . . 72

## СОДЕРЖАНИЕ

### Математика

- М. Р. Буяятов, С. А. Байрамов. К-теория на категории булевых алгебр с замыканием . . . . . 3

### Функциональный анализ

- Г. Г. Абдуллаева, Б. И. Мусаев. Регуляризация особого интеграла по разомкнутому контуру . . . . . 8

### Математика

- К. С. Ахвердиев. Нелинейные эффекты воздействия вязко-пластичной смазки на шип подшипника скольжения . . . . . 13

### Физика полупроводников

- Г. И. Абуталыбов, Т. Г. Касумов, Д. Т. Гусейнов, Р. Х. Нани. Экситонное поглощение в монокристаллах . . . . . 21

### Физика

- чл.-корр. АН Азерб. ССР М. И. Алиев, А. З. Даибов, И. А. Исмайлова. О влиянии смешанного механизма рассеяния на отрицательное магнитосопротивление в  $n$ -In Sb . . . . . 26

### Молекулярная спектроскопия

- О. И. Кондратов, Т. С. Абилова, Р. М. Ахмедов, С. И. Мехтиев. ИК-спектры и нормальные колебания некоторых аминонитрилов . . . . . 29

### Химия

- Т. Г. Кязимова, Р. С. Бабаев, А. А. Байрамов. Стереохимия диеновой конденсации аллиловых эфиров хлоруксусных кислот с циклическими диенами . . . . . 34

- Д. Б. Тагиев, чл.-корр. АН Азерб. ССР; З. Г. Зульфугаров. Исследование каталитических свойств природного клиноптиолита в окислительном дегидрировании углеводородов . . . . . 38

### Физическая химия

- В. С. Гаджи-Касумов, М. Д. Ахмедзаде. О механизме реакции дегидрогенизации изопентана на окиси хрома . . . . . 43

### Геология нефти и газа

- Л. А. Буряковский. Теоретическая модель распределения запасов дегидрогенизации изопентана на окиси хрома . . . . . 46

### Геология

- Ч. А. Султанов. Метод оценки начальных балансовых запасов нефти длительно разрабатываемых нефтяных залежей . . . . . 50

### География

- Н. Ш. Ширинов, В. А. Кулузаде. О приуроченности речных долин к линиям тектонических нарушений и о возможности рудогенетической роли некоторых из них . . . . . 53

### Селекция растений

- И. М. Ахундадзе, С. Б. Зейналов. Изучение роста и развития некоторых сортов роз в Куба-Хачмасской зоне . . . . . 58

### История

- В. З. Пиринев. О термине «Букаул» . . . . . 63

- Дж. Рамзи, Исмаиладзе. Об одном пятистишье . . . . . 67

Сдано в набор 10/XI 1977 г. Подписано к печати 17/I 1978 г. Формат бумаги 70×108<sup>1/16</sup>. Бум. лист. 2,63. Печ. лист. 7,35. Уч.-изд. лист 6,53. ФГ 05517.  
Заказ 1067. Тираж 945. Цена 40 коп.

Издательство «Элм».

370073, Баку-73, проспект Нариманова, 31, Академгородок, Главное здание.

Типография АН Азерб. ССР, Баку, проспект Нариманова, 31.

## ПРАВИЛА ДЛЯ АВТОРОВ

1. В «Докладах Академии наук Азербайджанской ССР» помещаются краткие сообщения, содержащие законченные, еще не опубликованные результаты научных исследований, имеющих теоретическое или практическое значение.

В «Докладах» не публикуются крупные статьи, механически разделенные на ряд отдельных сообщений, статьи полемического характера без новых фактических данных статьи с описанием промежуточных опытов без определенных выводов и обобщений, работы непринципиальные, описательного или обзорного характера, чисто методические статьи, если предлагаемый метод не является принципиально новым, а также статьи по систематике растений и животных (за исключением описания особо интересных для науки находок).

Статьи, помещаемые в «Докладах», не лишают автора права последующей публикации того же сообщения в развернутом виде в других изданиях.

2. Поступающие в «Доклады» статьи рассматриваются Редакционной коллегией только после представления их академиком по специальности. Каждый академик может представить не более 5-ти статей в год.

Статьи членов-корреспондентов Академии наук Азербайджанской ССР принимаются без представления.

Редакция просит академиков при представлении статьи указывать дату получения ее от автора, а также наименование раздела, в котором статья должна быть помещена.

3. В «Докладах» публикуются не более трех статей одного автора в год.

4. В «Докладах» помещаются статьи, занимающие не более четверти авторского листа—около 6—7 страниц машинописи (10 000 печатных знаков), включая рисунки.

5. Все статьи должны иметь резюме на английском языке; кроме того, статьи, написанные на азербайджанском языке, должны иметь резюме на русском языке и наоборот.

6. В конце статьи должны быть указаны название научного учреждения, в котором выполнена работа, и номер телефона автора.

7. Опубликование результатов работ, проведенных в научных учреждениях должно быть разрешено дирекцией научного учреждения.

8. Статьи (включая и резюме), должны быть напечатаны на машинке через два интервала, на одной стороне листа и представляются в двух экземплярах. Формулы должны быть вписаны четко и ясно, при этом прописные буквы должны быть подчеркнуты (черным карандашом) двумя черточками снизу, а строчные — сверху, букву греческого алфавита надо обводить красным карандашом.

9. Цитируемая в статье литература должна приводиться не в виде подстрочных сносок, а общим списком (вподбор), в алфавитном порядке (по фамилии автора), в конце статьи с обозначением ссылки в тексте порядковой цифрой. Список литературы должен быть оформлен следующим образом:

а) для книг: фамилия и инициалы автора, полное название книги, номер тома, город, издательство и год издания;

б) для статей в сборниках (трудах): фамилия и инициалы автора, название статьи, название сборника (трудов), том, выпуск, место издания, издательство, год, страница;

в) для журнальных статей: фамилия и инициалы автора, название статьи, название журнала, год, том, номер, (выпуск), страница.

Ссылки на неопубликованные работы не допускаются (за исключением отчетов и диссертаций, хранящихся в научных учреждениях).

10. На обороте рисунков должны быть указаны фамилия автора, название статьи и номер рисунка. Отпечатанные на машинке подписи к рисункам представляются на отдельном листе.

11. Авторы статей должны указывать индекс статьи по Унифицированной десятичной классификации (УДК) и прилагать реферат для «Переведенного журнала».

12. Авторы должны избегать повторения одинаковых данных в таблицах, графиках и в тексте статьи.

Ввиду небольшого объема статей выводы помещаются лишь в необходимых случаях.

13. В случае представления двух или более статей одновременно необходимо указать желательный порядок их помещения.

14. Корректура статей авторам как правило не посыпается. В случае посылки корректуры допускается лишь исправление ошибок типографии.

15. Редакция выдает автору бесплатно 15 отдельных оттисков статьи.

**40** гэп.  
коп.

Индекс  
76355

СОВЕТСКАЯ МУЗЫКА

Советская музыка — это не только музыкальные произведения, но и музыкальная культура, созданная советским народом. Она отражает историю нашей страны, ее достижения и проблемы, ее героизм и подвиги. Музыкальная культура Советской России имеет глубокие корни в народной традиции, в русской классической музыке, в западноевропейской культуре. Она развивалась под влиянием различных факторов: политических, социальных, экономических, культурных. Важнейшим фактором было влияние большевистской партии и ее идеологии. Музыкальная культура Советской России была создана народом, но она также имела международное значение. Многие композиторы и исполнители были известны за рубежом. Музыкальная культура Советской России сыграла важную роль в развитии культуры всего мира. Она способствовала укреплению дружбы между народами, развитию международного сотрудничества. Музыкальная культура Советской России — это не только музыкальные произведения, но и духовный наследие народа, которое будет жить и развиваться в будущем.